

70



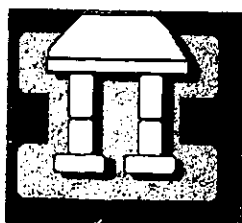
UNIVERSIDAD NACIONAL AUTONOMA
DE MÉXICO

ESCUELA NACIONAL DE ESTUDIOS PROFESIONALES
IZTACALA

ESTUDIO DEL CRECIMIENTO DIAMETRAL DEL TALLO
DE *Guarea grandifolia* EN LA SELVA DE LOS TUXTLAS
VERACRUZ

T E S I S
QUE PARA OBTENER EL TITULO DE
B I O L O G O
P R E S E N T A
R O S A R I O P I L A R I B A R R A

DIRECTOR DE TESIS: Dr. GUILLERMO ANGELES ALVAREZ



TLALNEPANTLA EDO. DE MÉXICO 2000



UNAM – Dirección General de Bibliotecas

Tesis Digitales
Restricciones de uso

DERECHOS RESERVADOS ©
PROHIBIDA SU REPRODUCCIÓN TOTAL O PARCIAL

Todo el material contenido en esta tesis está protegido por la Ley Federal del Derecho de Autor (LFDA) de los Estados Unidos Mexicanos (Méjico).

El uso de imágenes, fragmentos de videos, y demás material que sea objeto de protección de los derechos de autor, será exclusivamente para fines educativos e informativos y deberá citar la fuente donde la obtuvo mencionando el autor o autores. Cualquier uso distinto como el lucro, reproducción, edición o modificación, será perseguido y sancionado por el respectivo titular de los Derechos de Autor.

AGRADECIMIENTOS

Al Dr. Guillermo Angeles Alvarez y al Dr. Martin Ricker, directores de esta tesis, gracias por su asesoría, por compartir su experiencia y conocimiento, así como por la ayuda y consejos proporcionados durante el desarrollo del trabajo.

Al personal de la Estación de Biología Tropical de Los Tuxtlas por el apoyo brindado para la realización de este trabajo.

Al M. en C. Calixto León por su apoyo técnico para el manejo del material del laboratorio y por sus consejos proporcionados para concluir este trabajo.

Al Sr. Miguel Angel Sinaca Colín por su ayuda en el campo durante la realización de este trabajo.

A los sinodales asignados para la revisión de este proyecto: M. en C. Silvia Romero Rangel, M. en C. Leonor Abundiz y M. en C. Silvia Aguilar.

A mis padres, Margarita y Serafín, porque siempre he contado con el apoyo y comprensión para poder salir adelante.

A mi esposo, Manuel Franco López, porque sin su apoyo tal vez no hubiese concluido este trabajo. Te amo.

A mi hija Andrea, por ser uno de los motivos principales en mi vida para seguir adelante.

A mis hermanas, Wendy y Maricela, por su apoyo incondicional.

A la familia de mi esposo, a sus padres y hermanos, especialmente a su hermano Juan Luis Franco López y familia por su apoyo brindado durante este tiempo.

Y a cada una de las personas que de forma directa o indirecta ayudaron a finalizar este trabajo.

CONTENIDO

RESUMEN	1	
I.	INTRODUCCIÓN	2
II.	ANTECEDENTES	4
III.	OBJETIVOS	9
IV.	ÁREA DE ESTUDIO	10
V.	CARACTERÍSTICAS DE LA ESPECIE	14
VI.	MATERIAL Y MÉTODOS	18
VII.	RESULTADOS	28
VIII.	DISCUSIÓN	64
IX.	CONCLUSIONES	67
X.	BIBLIOGRAFÍA	68
XI.	APÉNDICE	76

RESUMEN

Es importante planear el aprovechamiento de las especies arbóreas tropicales, por lo que es importante estimar el crecimiento y la edad de estos árboles. Pero por la falta de anillos de crecimiento distinguibles se han buscado alternativas para poder determinar la edad y el crecimiento.

El presente trabajo analiza las posibilidades de derivar el crecimiento y la edad para el árbol tropical de *Guarea grandifolia* A. DC. midiendo el diámetro del tallo, ya que este árbol se considera localmente importante por su gran potencial maderable. Además, se espera contribuir a un mayor conocimiento de esta especie.

Para este estudio se emplearon dos inventarios de árboles, uno de 10 y otro de 90 individuos dentro de la estación de Biología “Los Tuxtlas”. Se seleccionaron árboles con diferente diámetro del tallo (8 a 80 cm en el inventario de 10 árboles y 25 a 80 cm en el inventario de 90 árboles) con el fin de aplicar el modelo de Ricker (1998) para determinar las edades de los árboles. Para esto se utilizaron diferentes metodologías: medir el crecimiento en diámetro a diferentes alturas y una altura, analizar el diámetro de vasos y calcular la densidad de la madera.

Por los resultados obtenidos se observa que no todos los árboles crecen de la misma manera en el mismo sitio de estudio. El análisis de vasos no fue posible distinguir anillos anuales de crecimiento. Con el método de densidad de la madera se comprueba que no existe una correlación entre medidas de incrementos obtenidos en diámetro del tronco por densidades. En el análisis del diámetro troncal para los 2 inventarios de árboles se calcularon edades que varían según cada caso, encontrando que con un diámetro de 80 cm se tiene entre 185 a 385 años.

Por lo que este estudio espera contribuir con algunas herramientas para poder calcular la curva del crecimiento y edad de los árboles tropicales (que no forman anillos de crecimiento distinguibles), por medio de las medidas de los diámetros obtenidos.

I. INTRODUCCION

Es ampliamente conocido el potencial económico que tienen las selvas tropicales por sus recursos maderables, ya que gran cantidad de especies producen madera de calidad, incluyendo maderas preciosas como cedro (*Cedrela odorata*) y caoba (*Swietenia macrophylla*). Se utilizan para la fabricación de muebles y obtener otros productos de la madera. Además, de algunas especies se pueden extraer drogas con valor farmacéutico, productos utilizados en la agricultura como fertilizantes, y diferentes tipos de fibras (Castelan, 1992; Roth, 1981).

Para planear el aprovechamiento de las especies arbóreas, es importante proyectar su crecimiento, particularmente la relación entre edad y diámetro. Para derivar esta relación se trata de estimar las edades de árboles existentes. Sin embargo, el problema que existe en árboles tropicales de altitudes bajas es la falta de anillos de crecimiento, que sean distinguibles y confiablemente anuales (Coster, 1927 y 1928; Worbes, 1985; Norton et al. 1987; Détienne, 1989). Esto se da por la ausencia de estacionalidad en el clima, porque la temperatura es más o menos uniforme durante todo el año (Jacoby, 1989). Aunque se pueden observar anillos desvanecidos en algunas especies, debido a pequeñas estaciones de sequía, estos anillos no son necesariamente anuales (Fanh, 1982; Dave y Rao, 1982), como se observa en la madera de los árboles templados que interrumpen su crecimiento y pasan un letargo en el tiempo frío (Rao, 1981).

Por esta falta de anillos de crecimiento anuales en árboles tropicales, se han buscado alternativas para determinar la edad y curva de crecimiento con mayor exactitud, sin tener que sembrar y observar año por año el desarrollo del árbol. El presente trabajo analiza las posibilidades de derivar la curva de crecimiento diametral para *Guarea grandifolia* A. DC. en la selva de Los Tuxtlas en Veracruz (México). *Guarea grandifolia* se considera una especie que presenta gran amplitud ecológica en América Latina, ya que se encuentra desde Veracruz, en América Central, hasta Sudamérica. Es importante localmente por ser un árbol con gran potencial maderable, ya que se utiliza para la elaboración de muebles finos por su gran durabilidad y por su buena calidad de madera. Por lo tanto, con se pretende contribuir

II. ANTECEDENTES

Conocer el incremento anual de los árboles es fundamental en estudios ecológicos y forestales, ya que permite estimar su edad y productividad forestal. La edad de los árboles da información importante acerca de la dinámica de poblaciones de los árboles y el desarrollo sustentable en prácticas forestales. Para este propósito, Martínez-Ramos y Alvarez-Buylla (1998) mencionan 2 métodos:

- 1) Los métodos directos que pretenden determinar la edad de árboles existentes, aplicando el análisis de factores anatómicos, morfológicos y estructurales que cambian en el paso del tiempo, observando el desarrollo de los árboles a lo largo de los años a partir de su nacimiento.
- 2) Los métodos indirectos que pueden utilizar mediciones del crecimiento en árboles de diferentes tamaños para conocer la relación que existe entre el crecimiento y el tiempo.

Estimación de la edad en forma directa:

La estimación de la edad en forma directa puede ser por medio de monitorear periódicamente grupos de individuos nacidos al mismo tiempo en especies de corta vida. Por ejemplo, en la selva tropical, existen especies que completan su ciclo de vida en menos de 10 años, como es el caso de la papaya (*Carica papaya*) en la selva de Los Tuxtlas. Estos estudios han dado por resultado la relación de la variabilidad del crecimiento de las especies dependiendo de las condiciones de luz (Martínez-Ramos, 1995).

Otra estimación directa de la edad, es aprovechar los anillos de crecimiento en el tronco. Sin embargo, en los árboles tropicales de baja elevación los anillos no son necesariamente anuales. Los primeros estudios acerca de la edad y crecimiento anual en árboles tropicales tomaron en cuenta la actividad cambial y buscaron la aparición de anillos de crecimiento para ver algún cambio en la estacionalidad. Por ejemplo, Brandis en 1856 (Mariaux 1981) estudia el crecimiento de *Tectona grandis* en la India y mide la amplitud de

los anillos anuales. Chowdhury (1939) evalua la actividad cambial de 9 especies de áboles en la India con muestras del xilema y corteza obtenidas en diferente tiempo durante un año. Paliwal y Prasad (1970) observan los cambios en la actividad cambial en los meses de Febrero a Mayo en *Dalbergia sissoo* colectada cerca de Delhi. Esta misma especie fue estudiada por Venugopal y Krishnamurti (1987), junto con *Tectona grandis*, *Albizia lebbek*, *Terminalia crenulata*, *Calophyllum inophyllum*, *Mangifera indica* y *Morinda tinctoria*. Identificaron la zona del crecimiento por la cantidad de almidón adyacente al parénquima encontrado antes y después de la actividad cambial. El crecimiento cambial y la formación de anillos en *Swietenia macrophylla*, *Cordia alliodora* y *Prioria copaifera* en América Central ha sido estudiado por Tshinkel (1966) y McKenzie (1972). Tomlinson y Craighead (1972) observaron anillos anuales en algunos áboles tropicales de Florida. Worbes (1985) evaluó la actividad cambial en varias especies de las familias Leguminosae-Caesalpiniaceae, Bombacaceae y Euphorbiaceae en selvas inundadas por el río Amazonas (Brasil), encontrando que el período cambial depende de las inundaciones anuales que dan un patrón de crecimiento y en 1989 reporta anillos anuales de crecimiento en áboles tropicales de Venezuela (Worbes, 1989).

Posteriormente, los estudios se enfocaron a medir el crecimiento de los áboles tropicales haciendo una herida y dejando una marca en el cámibum vascular. Mariaux (1967) estudio el ritmo de crecimiento haciendo una herida en el cámibum por medio de una incisión (ventana). Esta herida forma una marca en la madera y cámibum. También midió el incremento en diámetro con ayuda de un dendrómetro. Con su método, observó la zona de crecimiento de *Aucoumea klaineana* (Mariaux 1970), *Terminalia superba* (Mariaux, 1969) y en algunas Meliaceae (*Entandrophragma angolense*, *E. candollei*, *E. utile*, *E. cylindricum*, *Guarea cedrata*, introducida como *Guarea mexicana*) (Mariaux, 1977). Killman y Hong (1995) aplicaron el método de ventana de Mariaux, durante 4 años (1988-1991) en intervalos de 2 meses a 8 áboles, entre ellos *Shorea leprosula*, *Dryobalanops sumatrensis* y *Neobalanocarpus heimii* en Kepong. Sass et al. (1995) marcaron el cámibum de *Dryobalanops sumatrensis* y *Shorea tembaga* durante un período de 4 años en Malasia.

Otra forma de observar la zona de crecimiento es por medio de una marca artificial de radiocarbono en la zona de crecimiento (Nydal y Lövseth, 1983). Como resultado de las explosiones atómicas, la concentración de carbono 14 (C^{14}) en la atmósfera ha sido el doble entre 1950 a 1965. El máximo de radiocarbono medido en árboles de este tiempo se obtuvo en los 60s. La diferencia de la concentración de radiocarbono en la atmósfera en comparación con las muestras ayudó a comprobar que los anillos son graduales en la naturaleza. Nakamura et al. (1987) aplicaron el método de radiocarbono para determinar la edad de árboles del género *Dipterocarpus*. También se aplicó en el estudio de algunos árboles tropicales de zonas inundadas de el amazonas realizado por Worbes y Junk (1989) y por Worbes (1989), considerándose una herramienta que facilita el estudio de la zona de crecimiento en el tronco.

Las cicatrices naturales en la madera son el resultado de heridas producidas, por ejemplo, por el fuego, que pueden ser consideradas para realizar un análisis de crecimiento radial en los árboles tropicales. Investigaciones en la selva de la Gran Sabana, en Venezuela, la cual ha sido afectada por incendios, provocan en los árboles diferentes heridas (Worbes, 1996). Estas cicatrices producen daño físico y, anatómicamente, algunos árboles reaccionan formando una banda de parénquima, tal vez inducida por el daño. El anillo de referencia en la zona de crecimiento se diferencia de los demás anillos por ser pequeño o de poca amplitud (Schweingruber et al. 1990).

Más recientemente se intentó aplicar otros métodos para estudiar la actividad cambial y medir el incremento, como el método del alfiler que se ha utilizado para el estudio de medida de la formación de madera (Wolter, 1968). Este método ha sido aplicado para el estudio de árboles de zonas templadas (Shimaji y Nagatsuka, 1971; Yoshimura, et al. 1981 a y b y Kuroda y Shimaji, 1983, 1984 a y b). Shiokura (1989) reportó un experimento insertando alfileres en los árboles tropicales, con intervalos de tres meses. La cantidad del crecimiento fue clarificado por la posición de la marca del cámibium inicial y la zona de diferenciación donde se insertó el alfiler. Nobuchi et al. (1995) utilizaron el método de Wolter (1968) para marcar el cámibium en las especies de *Hopea odorata* y *Shorea henryana* en un bosque perenne al oeste de Tailandia. La posición de las células del

cámbium inicial en el tiempo de la inserción fue estimado desde la zona donde las células fueron indirectamente afectadas por la inserción, dando como resultado la formación de células aberrantes y canales de resina en *Shorea*. Kuroda y Kiyono (1997) midieron el incremento durante dos años del xilema, modificando el método del alfiler con una incisión con navaja en los troncos de *Chamaecyparis obtusa*. Estos autores indican que este método es mejor que el del alfiler, ya que este último sólo marca un punto en el árbol.

Estimación indirecta de la edad:

La estimación indirecta de la edad se basa en el crecimiento del diámetro del tronco de los árboles. La estimación obtenida de esta forma se relaciona con el tamaño-crecimiento-tiempo. El incremento periódico anual y el tiempo que tarda en crecer a una cierta edad son dos métodos empleados para crear curvas de crecimiento y estimar el tamaño en relación con la edad (Lieberman y Lieberman, 1985). En la selva de Los Tuxtlas se calculó la edad de algunos árboles de *Pseudolmedia oxyphyllaria*, donde el diámetro máximo a la altura del pecho (DAP) encontrado fue de 58 cm. Los resultados calculados de edad fueron los siguientes: 5 cm en 27 años, 10 cm en 45 años, 20 cm en 68 años, 40 cm en 103 años, 58 cm en 197 años. El PT se calcula como el recíproco de la proporción anual del árbol en diferentes tamaños, la edad se obtiene por acumulación secuencial de las diferentes clases de tamaño estimadas en diferentes años. Por ejemplo, para *Pseudolmedia oxyphyllaria* se calculó la edad de acuerdo al diámetro a la altura del pecho (DAP) siendo 5 cm en 19 años, 10 cm en 24 años, 20 cm en 33 años y 40 cm en 44 años. No se obtuvo información para estimar la edad después de 40 cm de DAP. Por lo que, la estimación de la edad con el PT es mucho más corto que el obtenido con el PAI (Martínez-Ramos y Alvarez-Buylla, 1998).

La estimación de la edad basada en forma vertical se restringe a las palmas que tienen un eje vertical y acumulan anillos con cicatrices de hojas producidas por el meristemo apical, que de alguna forma se correlacionan con el tiempo en que tarda en crecer en longitud el tallo. Con este método se han estimado edades de 135 años para la palma *Astrocaryum mexicanum*; de 100 años para la palma de sombra *Chamaedorea*

elegans y de 33 años para la palma *Chamaedorea tepejilote* en Veracruz, México (Martínez-Ramos y Alvarez-Buylla, 1998; Oyama, 1993).

La estimación de la edad basada en la mortalidad de los árboles, puede ser usada para obtener una edad máxima (longevidad) estimada en árboles de cierto tamaño, usando un modelo exponencial. La longevidad de 35 a 200 años ha sido calculada para arbustos y especies de árboles de la Isla de Barro Colorado, Panamá (Condit et al., 1995). Usando un modelo hiperbólico se estima la longevidad de 11 a 623 años en 23 especies de árboles de Los Tuxtlas, Veracruz (Martínez-Ramos y Álvarez-Buylla, 1998).

Otro método indirecto lo propone Ricker (1998). Este método se basa en una regresión no-lineal tomado de un modelo continuo de crecimiento, para derivar la relación edad-diámetro con medidas de incremento anual, obtenidas en un tiempo mínimo de un año y abarcando diferentes rangos de diámetros. El método emplea el modelo de crecimiento de Bertalanffy-Richards-Chapman (BRC), que se describe con más detalle en la sección de los métodos.

De los métodos indirectos, el de Ricker (1998) se considera actualmente el más útil debido a que el modelo que propone se puede realizar durante un año, solo midiendo los diámetros de diferentes árboles. La ventaja del método es que no daña a los árboles y con las medidas de los diámetros se calcula la edad de cada uno de ellos.

En este trabajo se aplicaran los métodos directos, anatómicos y de densidad, así como indirectos (modelo de Ricker, 1998) para evaluar la edad de *Guarea grandifolia*.

III . OBJETIVOS

1. Determinar y analizar el incremento del diámetro anual en 10 árboles de *Guarea grandifolia* en la selva de los Tuxtlas, Veracruz.
2. Observar la variación del diámetro de vasos en *Guarea grandifolia* para buscar la posible presencia de anillos de crecimiento.
3. Determinar diferencias en la densidad de la madera entre los 10 árboles de *Guarea grandifolia* y correlacionar su densidad con el incremento diametral.
4. Aplicar el modelo de crecimiento propuesto por Ricker (1998) para estimar la edad de los 10 árboles de *Guarea grandifolia* y derivar la curva del crecimiento.
5. Aplicar el mismo modelo de crecimiento para 90 árboles adicionales de *Guarea grandifolia*, para comparar la curva de crecimiento resultante de 10 árboles medidos a diferentes alturas, con la curva de crecimiento resultante de 90 árboles medidos a una sola altura.

IV. AREA DE ESTUDIO

El presente estudio se realizó dentro de la reserva de la Estación de Biología “Los Tuxtlas” de la Universidad Nacional Autónoma de México que se encuentra en el kilómetro 29.5 de la carretera Catemaco-Montepío, entre los 95°04' y 95°09' de longitud oeste y los 18°34' y 18°36' de latitud norte. La reserva está localizada en la vertiente este del volcán San Martín Tuxtla y ocupa un terreno inclinado cuya altitud varía entre los 150 m en lado este, hasta aproximadamente 650 m en su lado oeste.

El ecosistema predominante en las zonas de baja elevación es la selva alta perennifolia, según Miranda y Hernández X. (1963). En la selva alta perennifolia la altura máxima de dosel alcanza unos 30 m, mientras que los estratos de la vegetación pueden o no ser marcados dependiendo del sitio y del estado de regeneración o sucesional. Sin embargo, el estrato más definido es el inferior hasta aproximadamente 12 m en el cual predomina la forma de vida de las palmas, particularmente *Astrocaryum mexicanum* y *Chamaedorea tepejilote*. También en la región se encuentran otros tipos de vegetación como manglar, selva baja perennifolia, selva mediana, selva subcaducifolia, encinar, sabana, pinar bosque caducifolio y vegetación costera (Ibarra-Manríquez, 1985). Dentro de la gran variedad de especies arbóreas encontramos a *Nectandra ambigens* (Blake) C.K. Allen, *Brosimum alicastrum* Sw., *Terminalia amazonia* (Gmel.) Exell., *Cymbopetalum penduliflorum* (Dunall) Ball, *Dendropanax arboreus* (L.); Decne y Planch, *Hampea nutricia* Fryxell, *Guarea glabra* Vahl, *Guarea chichon* C. DC. (Solis, 1992).

El área de la reserva está cubierta principalmente por selva alta perennifolia, aunque existen algunas variantes de la misma, como la selva mediana en el cerro “El Vigía”. En gran parte, los alrededores de la reserva están convertidos en potreros o acahuales, excepto hacia el flanco oeste, el cual está cubierto por selva que se extiende hacia el volcán San Martín (figura 1) (Ibarra-Manríquez, 1985; Castelan, 1992).

Los potreros de la región de Los Tuxtlas son de dos tipos, de pastos nativos llamados “gramas” (*Paspalum conjugatum*, *Axonopus compressus*, *Setaria geniculata*,

Panicum spp., *Digitaria* spp., entre las principales especies), y de pastos cultivados, principalmente "estrella africana" (*Cynodon plectostachyus*) en el macizo de San Martín, y "zacate Guinea" (*Panicum maximum*) en el macizo de Santa Martha. En los alrededores de la Estación de Biología "Los Tuxtlas", los predios tienen entre uno y 40 años de haber sido deforestados, aunque el promedio está por arriba de los 20 años. Los potreros tienen una vida media relativamente larga, y no es difícil encontrar potreros que se han mantenido por más de 15 años como tales (Dirzo y García, 1992).

La región de Los Tuxtlas presenta un relieve principalmente volcánico, constituido por el macizo de San Andrés o de Los Tuxtlas, que contrasta con las tierras bajas pantanosas de la cuenca de sedimentación de Veracruz que la circunda. En áreas cercanas a Los Tuxtlas afloran rocas de edad eocénica y cretácica, que en la zona de Los Tuxtlas no se encuentran en superficie. Los afloramientos sedimentarios son escasos debido a la gran extensión de depósitos volcánicos más jóvenes y a la vegetación abundante. En el área de Los Tuxtlas se localizan cerca de 300 conos volcánicos de composición basáltica (Nelson y González, 1992).

La Sierra de Los Tuxtlas se compone de una sucesión de montañas de orientación diagonal NW-SE. Las montañas son una densa aglomeración de cráteres pequeños; los más conspicuos de estos son el volcán de San Martín (con una altura de 1780 m.s.n.m.), el de Santa Martha (1660 m.s.n.m.) y San Martín Pajapan (1245 m.s.n.m.). El macizo montañoso se encuentra partido en dos porciones, una al noroeste, constituida por el volcán San Martín, y otra hacia el sureste, llamada Sierra de Santa Martha, separadas por una depresión en la que se asienta el lago de Catemaco, uno de los de mayor extensión en el país. La sierra es una importante barrera climática (Dirzo et al., 1997).

Existen terrenos kársticos y suelos someros de aproximadamente 5 cm de espesor. Presentan colores oscuros a rojizos, con buen contenido de arcilla; el pH es ligeramente ácido. El tipo de rocas presentes en la zona es principalmente de origen volcánico, dada la cercanía del volcán de San Martín. El suelo dominante que se presenta en un 80% de la zona se denomina feozem húmico regosol, feozem lúvico, y se caracteriza por poseer una

pendiente pronunciada con suelos que presentan 5 cm de horizonte orgánico y que debido a la pendiente y a la edad geológica no han desarrollado todos sus horizontes (Ibarra-Manríquez, 1985).

De acuerdo con el sistema climático de Koeppen modificada por García (1981), en la región de Los Tuxtlas están presentes el grupo de climas cálido A y el subgrupo semicálido A(C). El primero se caracteriza porque la temperatura media anual es mayor de 22°C y la media del mes más frío superior a 18°C, en tanto que en el semicálido la media anual es mayor a 18°C. En la región se localiza también el subtipo semicálido (A)C(fm), restringido a las partes altas de la sierra. Se distingue en cuanto a la humedad porque llueve durante todo el año y acumulan 40 mm de precipitación en el mes más seco. La región de Los Tuxtlas se ve afectada por la presencia de dos tipos de perturbaciones atmosféricas, los ciclones y los “nortes”. Los ciclones tropicales son responsables de aportes considerables de humedad en forma no violenta. En la zona de Los Tuxtlas su influencia se manifiesta en el aumento de la precipitación en el mes de septiembre y en menor proporción en octubre. Los llamados “nortes” son invasiones de masas de aire frío que provienen del norte de los Estados Unidos de América y del sur de Canadá, y que al cruzar las aguas del Golfo de México modifican su temperatura y recogen humedad. En la región de Los Tuxtlas su influencia es especialmente notoria, ya que algunos subtipos climáticos de la zona están caracterizados por el porcentaje de lluvia invernal cuya cantidad depende de los “nortes” (García, 1981).

La red fluvial de la zona de Los Tuxtlas es fundamentalmente radial debido al macizo de San Andrés. Las corrientes en la parte norte del área fluyen directamente hacia el Golfo de México, mientras que al sur el río San Andrés se une con otros ríos, entre ellos el Santiago, desembocando en el Hueyapan, San Juan y finalmente en el Papaloapan. El río San Andrés nace en el lago de Catemaco, que constituye un nivel base local para algunos arroyos. En el área de Los Tuxtlas existen varios lagos de cráter, como las lagunas Encantada, Tecolapan y Amatlán; incluso la formación del lago Catemaco está intimamente ligada al campo volcánico que lo circunda. Otras lagunas como las de Sontecomapan y Ostión tienen comunicación con el mar (Dirzo et al., 1997).

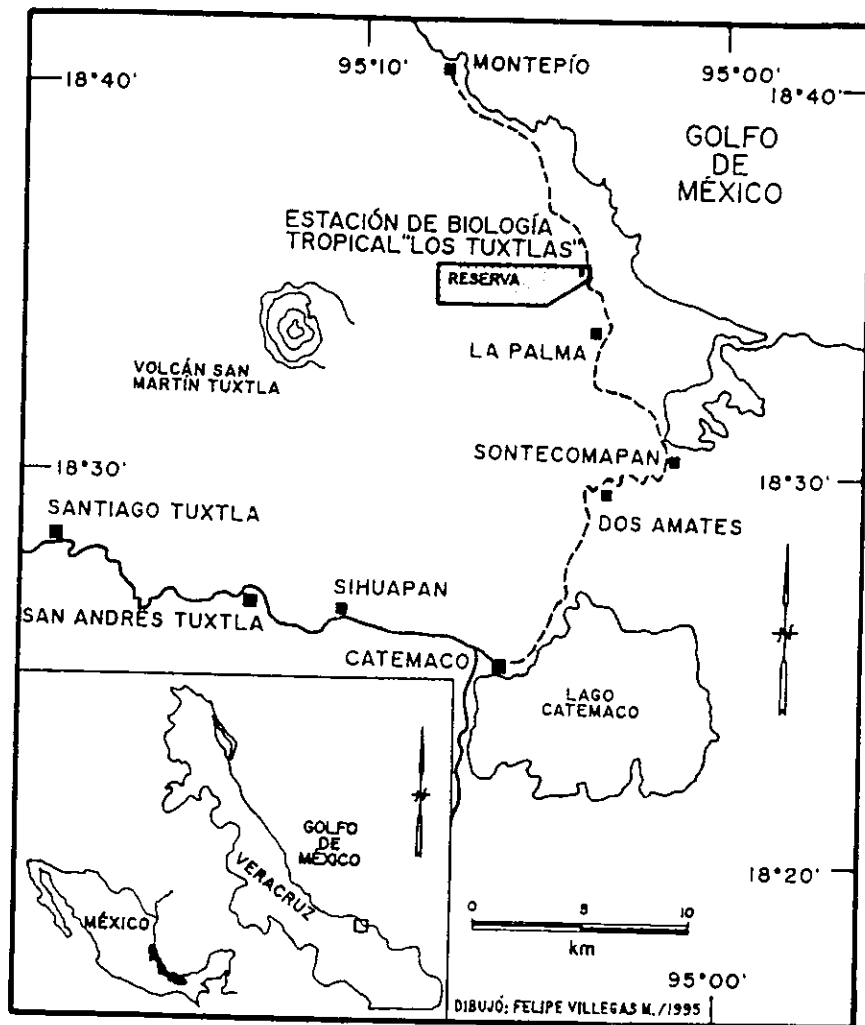


FIGURA 1. Localización de la reserva de la Estación de Biología "Los Tuxtlas". El mapa muestra solo la parte norte de la región geográfica de Los Tuxtlas (Mapa dibujado por Felipe Villegas M., Instituto de Biología UNAM, 1995).

V. CARACTERÍSTICAS DE LA ESPECIE *GUAREA GRANDIFOLIA* A. DC.

Guarea grandifolia A. DC. (sinónimo *Guarea chichon* C. DC.) es un árbol de la familia Meliaceae, de 20 a 35 m de alto y con un diámetro hasta más de 100 cm. El fuste es cilíndrico, recto y ligeramente más anguloso hacia la base. Los contrafuertes son insinuados, redondos, de 20 a 50 cm de alto y numerando 4 a 7 por tronco. La copa es abierta y redondeada. La corteza externa es escamosa o lisa de textura granular, su color es pardo a pardo amarillenta o pardo grisáceo-rojizo. El grosor de la corteza es de 10 mm aproximadamente (Ibarra-Manríquez, 1985; Solís, 1992). El xilema secundario presenta porosidad difusa, sin zonas de crecimiento definidas aunque a veces hay una tendencia a estar separadas por una franja oscura. Los poros son ovalados, principalmente solitarios y a veces en agregados de 2 y escaso de 3 ó más. Los elementos de vaso son medianos, con platinas de perforaciones simples. El parénquima axial es paratraqueal aliforme confluyente. En la cara tangencial, el parénquima axial se observa formando cuerpos fusiformes anchos. En la cara radial, sus células tienen forma rectangular con las aristas redondeadas. Los radios son pequeños homocelulares, uniseriados y escasos biseriados (figura 2) (Ortega et al., 1991; Solís, 1992).

Guarea grandifolia se distribuye en el sur de México, Centroamérica y norte de Sudámerica, desde Colombia y Venezuela hasta Perú y norte de Brasil (figura 3). En México se encuentra principalmente en la zona del Istmo de Tehuantepec donde convergen los estados de Veracruz, Oaxaca, Chiapas y Tabasco. También se ha registrado en el estado de Puebla en su porción norte. Se desarrolla generalmente sobre suelos derivados de rocas calcáreas y con drenaje rápido. Comúnmente forma parte de las selvas altas perennifolias y medianas subperennifolias y subcaducifolias. Florece de Marzo a Julio (excepcionalmente Septiembre) y fructifica de Enero a Marzo (excepcionalmente Junio) (Pennington, 1981). Según Ibarra-Manríquez y Sinaca-Colín (1989), existen árboles que florecen y fructifican en Los Tuxtlas todo el año.

El nombre común conocido en Los Tuxtlas es "sabino". Otros nombres en México son "canesté", "chichón de montaña", "cascarillo" (Tabasco); "aycoy", "azote", "azoté",

"chaschom de montaña" (Chiapas); "hoja blanca" (Puebla y Veracruz); "bejuco blanco", "manzanillo rosadillo" (Oaxaca); "calaguaste", "chichón", "chochón blanco" (Tabasco y Chiapas); "palo blanco" (Tabasco, Chiapas y Veracruz); "cedrillo" (Veracruz y Chiapas); "sabino", "palo de bejuco", "palo de bejuco real", "javín" (Veracruz). "No-choc-chec" (Belize); "carapa" (Cayenne); "mancharro" (Colombia); "piton", "apae" (Ecuador); "cedrillo", "colapaya", "trompillo" (Guatemala); "carbón" (Honduras); "pronto alivio" (Nicaragua); "cedro macho" (Panamá); "kumsimsakis" (Perú, Amazonas); "requia de itura" (Perú, Huanaco); "latapi", "latapi de hoja menuda" (Perú, Loreto) (Pennington, 1981; Ibarra-Manríquez, 1985).

El principal producto de esta especie es su madera con la que se pueden elaborar muebles finos. En zonas rurales es muy apreciada para la construcción de las casas debido a su gran durabilidad. Se recomienda para cajas de empaque, aserrío, artículos torneados, decoración de interiores, construcción de barcos, ensambles, carpintería en general, chapa decorativa y triplay. También se ha sugerido como substituto del "cedro" (*Cedrela odorata* L.) y la "caoba" (*Swietenia macrophylla* King) en la mayoría de sus usos (Ibarra-Manríquez, 1985). En aspectos técnicos la madera es muy parecida a la *Cedrela odorata*, solamente que le falta el olor agradable de esta última especie.

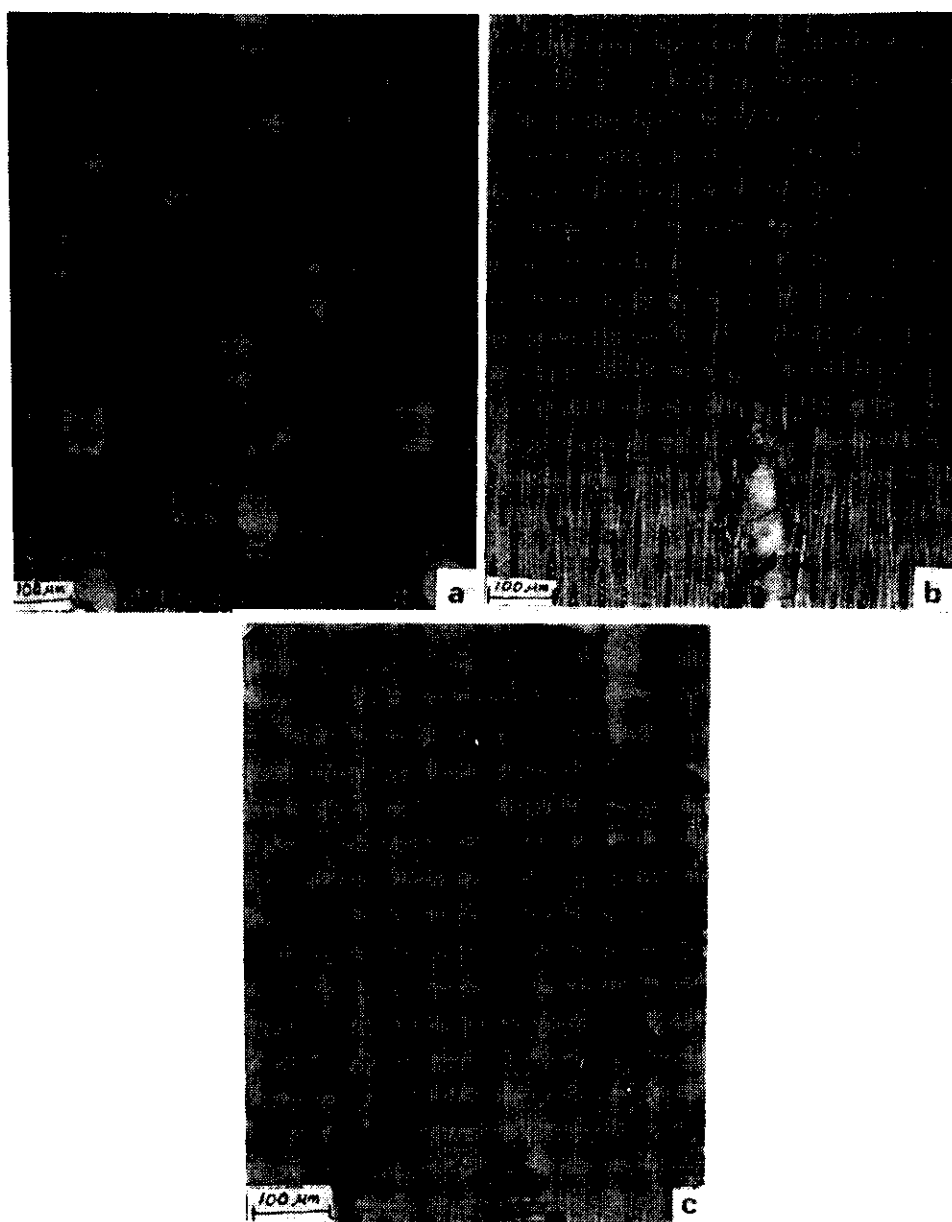


FIGURA 2. Características microscópicas de *Guarea grandifolia*. a) Sección transversal. Parénquima paratraqueal, aliforme y en bandas confluentes; b) Sección tangencial. Platina simple, vasos medianos, radios uniseriados y biseriados y c) Sección radial. Radios heterocelulares. Barra = 100 um.

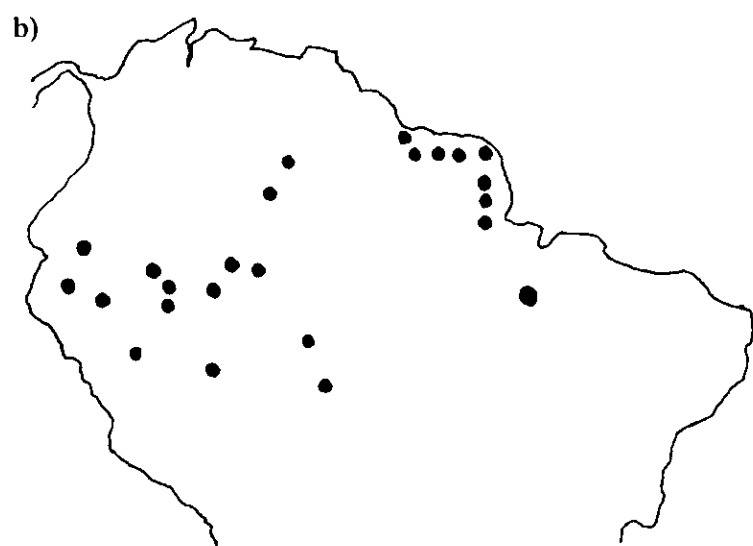


FIGURA 3. Localización de *Guarea grandifolia*. a) en América Central y b) al sur de América (tomado de Pennington, 1981).

VI. MATERIAL Y MÉTODOS

Se emplearon dos inventarios de árboles de *Guarea grandifolia*, uno de 10 y otro de 90 individuos. Los árboles crecieron en forma natural en la Estación de Biología “Los Tuxtlas”. En los dos inventarios, se seleccionaron árboles con diferente diámetro del tallo (8 a 80 cm en el inventario de 10 árboles y 25 a 80 cm en el inventario de 90 árboles) con el fin de aplicar el modelo de Ricker (1998) para determinar las edades de los árboles.

MEDICIÓN DEL CRECIMIENTO DEL DIÁMETRO:

Se midió el perímetro de los 10 árboles con cinta métrica a diferentes alturas del tronco, tres veces a cada altura, para obtener un promedio por altura en los meses de diciembre de 1995, diciembre de 1996 y octubre de 1998 (figura 4a). El perímetro de los 90 árboles se midió a una sola altura durante junio de 1997 y diciembre de 1998 (figura 4b). Para los dos casos se marcó el lugar de la primera medición con pintura para medir posteriormente en el mismo lugar. El diámetro se calculó a partir del perímetro con la siguiente fórmula:

$$\text{Diámetro} = \text{Perímetro} / \pi$$

En el caso de los 10 árboles se calculó el incremento en dos años consecutivos. En el primer año (1996) el lapso entre las mediciones fueron 367 días, casi exactamente un año, y el segundo año (1997) de medición abarcó 677 días, así que se interpoló linealmente el incremento a 365 días.

$$\text{Incremento 96} = \text{Diámetro 96} - \text{Diámetro 95}$$

Para el segundo año (1997) se calculó:

$$\text{Incremento 97} = (\text{Diámetro 98} - \text{Diámetro 96}) (365 \text{ días} / 677 \text{ días})$$

También para los 90 árboles medidos a una sola altura se obtuvo el perímetro y posteriormente el diámetro. El lapso de tiempo para el estudio fue de junio 1997 a diciembre de 1998 (550 días), por lo que el cálculo del incremento se interpoló también a 365 días:

$$\text{Incremento 1998} = (\text{Diámetro 98} - \text{Diámetro 97}) (365 \text{ días} / 550 \text{ días})$$

Análisis de varianza con datos de crecimiento diametral del tronco:

El análisis de varianza o "ANOVA" utilizado para el incremento anual del diámetro en la muestra de 10 árboles fue de 3 vías (Sokal y Rohlf, 1995), con el fin de comprobar si existían diferencias significativas en los incrementos (1) entre árboles, (2) altura arriba y abajo y (3) entre los años 1 (1996) y 2 (1997).

ANÁLISIS DE VASOS:

Para buscar la posible existencia de anillos anuales de crecimiento en cada árbol, se obtuvieron muestras de cada uno de los 10 árboles durante un año (enero a diciembre de 1996), con un taladro de Pressler de un diámetro interno de 10 mm. Este se introdujo perpendicularmente al tronco (figura 5), se obtuvieron dos muestras por mes para cada uno de los 10 árboles con una longitud de 1.5 a 2 cm y se fijaron en FAA (500 ml de alcohol de 96°, 50 ml de ácido acético, 100 ml de formol y 350 ml de agua destilada).

Las muestras en FAA se sometieron a un vacío durante 24 horas. Posteriormente, se lavaron con agua corriente otras 24 horas y se secaron en una estufa a 60°C durante 6 horas. La muestra ya seca, se orientó en forma transversal a las fibras (figura 6). Se pintó con una solución de poliéster diluida al 80% con xilol y se dejó secar al aire. Se seccionó en un microtomo de deslizamiento para obtener cortes histológicos de 30 a 40 micras de grosor. Se les eliminó el poliéster sumergiéndolos en xilol durante 2 a 3 horas, después se procedió a la rehidratación de los mismos en alcoholes graduales (100%, 96%, 70% y 50%) y se dejaron en safranina durante 24 horas. Se lavaron en agua para quitar el exceso de

safranina y fueron deshidratados en alcoholes graduales (50%, 70%, 96% y 100%). Finalmente, se aclararon en xilol y se montaron en resina sintética.

Utilizando un microscopio óptico con ocular graduado, los vasos se midieron en forma tangencial comenzando a partir del cámadium hasta el final de la preparación en 10 radios seguidos (Figura 7). Las mediciones se obtuvieron en micras (um). Posteriormente se hizo la conversión de micras a milímetros al dividirlas entre 1000 (1 mm = 1000 um).

Análisis de varianza con los datos del diámetro de vasos:

Se realizó el análisis de varianza o "ANOVA" anidada para conocer si existían diferencias significativas en el diámetro de los vasos entre árboles y dentro de los árboles (Sokal y Rohlf, 1995).

DENSIDAD DE LA MADERA:

Para poder analizar la relación entre el incremento anual del árbol y la densidad de la madera por el método de gravedad específica. se utilizaron las mismas muestras de madera de la sección de "Análisis de vasos", obtenidos con un taladro de Pressler durante el año de 1996, tanto del lado norte como sur del tronco. La muestra se dejó secar en una estufa a 105°C durante 24 horas. Posteriormente se determinó la masa (m) en gramos (g) y el volumen (V) en mililitros por desplazamiento del agua después de la inmersión de la madera en un vaso de precipitados. La fórmula para obtener la densidad fue la siguiente:

$$\text{Densidad} = \text{Masa} / \text{Volumen}$$

Análisis de varianza con datos de densidad de la madera:

Se realizó un análisis de varianza "ANOVA" factorial de dos vías para observar si existían diferencias significativas de la densidad obtenida entre los árboles y entre el lado norte y lado sur (Sokal y Rohlf, 1995).

ESTIMACIÓN DE LA EDAD DE LOS ÁRBOLES:

Este modelo ha sido utilizado frecuentemente como modelo de crecimiento para árboles (Bredenkamp y Greoire, 1988; Zeide, 1993). El primero que utilizó el método fue el zoólogo Von Bertalanffy (1957). Richards (1959) lo adaptó para plantas y Chapman (1961) para hacer estudios de poblaciones en peces. Fue utilizado por primera vez por Pienaar y Turnbull (1973) en forestería.

En este trabajo se aplica el modelo "Bertalanffy-Richards-Chapman" o "BCR" adaptado por Ricker (1998) para calcular la edad de los árboles.

La función básica del modelo BRC relaciona el diámetro (**D**) u otra variable (volumen, altura) con la edad:

$$D = (D_M) (1 - e^{(-a)(Edad)})^b \quad (1)$$

La ecuación depende de los 3 coeficientes de regresión D_M , a y b . El parámetro D_M se considera el diámetro máximo en la edad infinita que alcanzó, a se puede interpretar como parámetro de la velocidad del crecimiento y b como parámetro de la forma que toma la curva de crecimiento. Consecuentemente, D_M y b pueden ser interpretados como parámetros específico de la especie y a como parámetro específico del sitio. Por lo tanto, se pueden determinar los parámetros D_M y b en un sitio, y diferentes a se pueden determinar para sitios diferentes.

$$\ln[RG] = \ln(a)(b) / [1 / (1 - (D / D_M)^{1/b}) - 1] \quad (2)$$

La ecuación 2 relaciona las variables RG (crecimiento relativo) y D (diámetro), sin depender de la edad. El crecimiento relativo es calculado con el incremento anual del diámetro dividido entre el diámetro medido inicialmente en el árbol.

Los parámetros D_M , a y b se pueden determinar en la ecuación 2 por medio de una regresión no lineal, y la edad de un árbol puede entonces ser calculada en base de su diámetro:

$$\text{Edad} = \ln [1 - (D / D_M)^{1/b}] / -a \quad (3)$$

Regresión no lineal

Los parámetros D_M , a y b de la ecuación 2 fueron determinados a partir de una regresión no lineal, minimizando la suma de cuadrados. Existen diferentes algoritmos de la regresión no lineal. El método de Simplex descrito por O'Neill (1986), es empleado en el paquete estadístico Systat 6.0. El éxito de este algoritmo para encontrar la solución puede depender de los valores iniciales para los parámetros. Además, dependiendo de los datos establecidos quizás ocurra un incremento en el parámetro D_M y una disminución de a a lo largo del tiempo. Para este trabajo el Dr. Martin Ricker programó un algoritmo iterativo en *Turbo Pascal* con la siguiente estructura para llevar a cabo una regresión no lineal con la ecuación 2.

Las curvas de intervalo de confianza se forman de acuerdo a la interdependencia de los parámetros D_M , a y b . Por lo que pueden resultar curvas asimétricas.

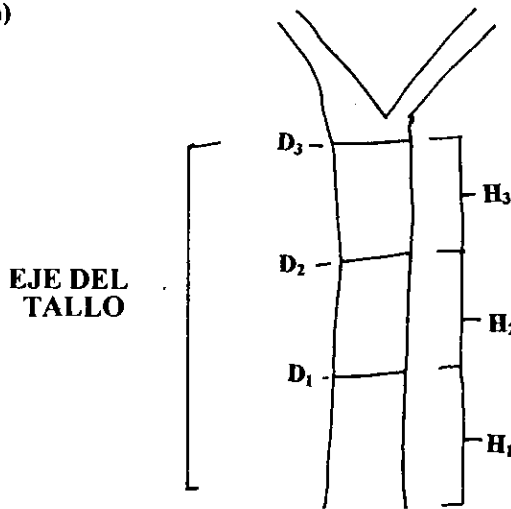
Método de Bootstrap:

Este método se utilizó para determinar las curvas de confianza, ya que la distribución y la interdependencia de los parámetros D_M , a y b son desconocidos. El Bootstrapping resuelve en forma empírica el problema de cómo interactúan los parámetros,

por ejemplo, D_M se desvía de un valor conocido que pudiera afectar a y b . Este método no conoce las poblaciones paramétricas, porque la idea consiste en que uno toma una muestra poblacional como una muestra pseudoparamétrica y al azar, para multiplicar una muestra poblacional de la población original. Como consecuencia, algunos datos de la muestra de la población original son perdidos en nueva muestra de población, los cuales aparecen repetidamente.

En este trabajo, para cada muestra poblacional, los parámetros D_M , a y b fueron derivados por una regresión lineal. El valor inicial es el valor medio obtenido de una población original. Consecuentemente, las diferentes combinaciones obtenidas de D_M , a y b ayudan a calcular la edad con todos los diámetros obtenidos con la ecuación 3. Los valores obtenidos en el intervalo de confianza del 95% se ordenaron del más bajo al más alto, por lo que la forma de las curvas de confianza depende del número de muestras utilizadas para el bootstrap (Manly, 1997).

a)



b)

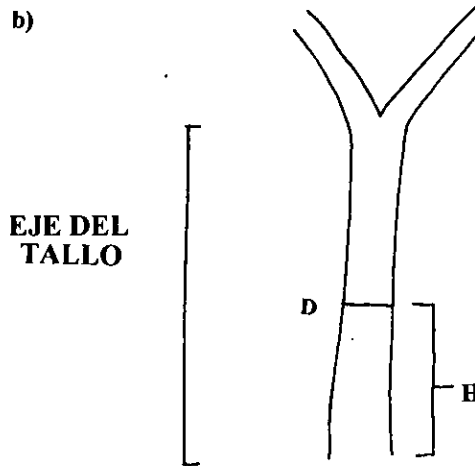


FIGURA 4. Forma en que se obtuvieron las mediciones realizadas con cinta métrica, (a) para el cálculo del diámetro (D_1 , D_2 , D_3 , etc.) medido a diferentes alturas (H_1 , H_2 , H_3 , etc.) en el inventario de los 10 árboles y (b) el diámetro (D) medido a una sola altura en el inventario de los 90 árboles.

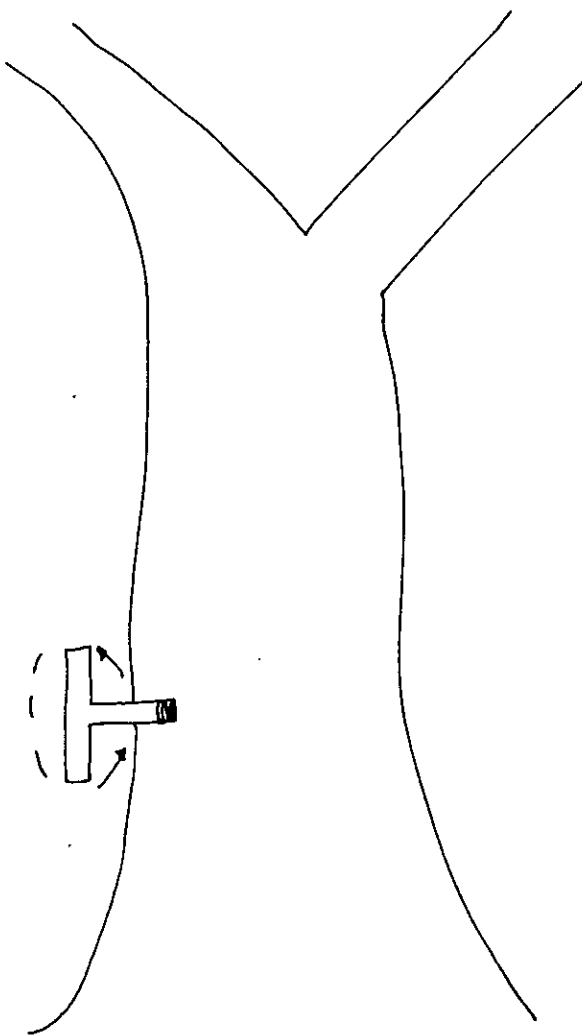


FIGURA 5. Forma en que se obtuvo la muestra con el taladro de Pressler para cada mes del año de 1996. La muestra se obtuvo con un diámetro de 10 mm y una longitud de aproximadamente 1.5 a 2 cm.

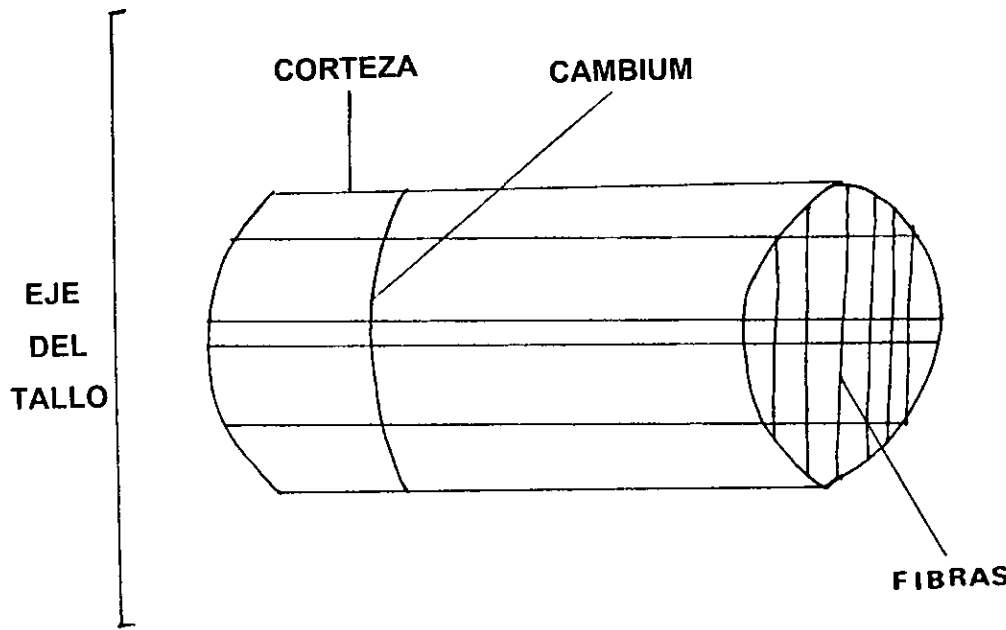


FIGURA 6. Posición para obtener la muestra con el taladro de Pressler y la forma en que se seccionó en el microtomo, orientándola en forma transversal a las fibras.

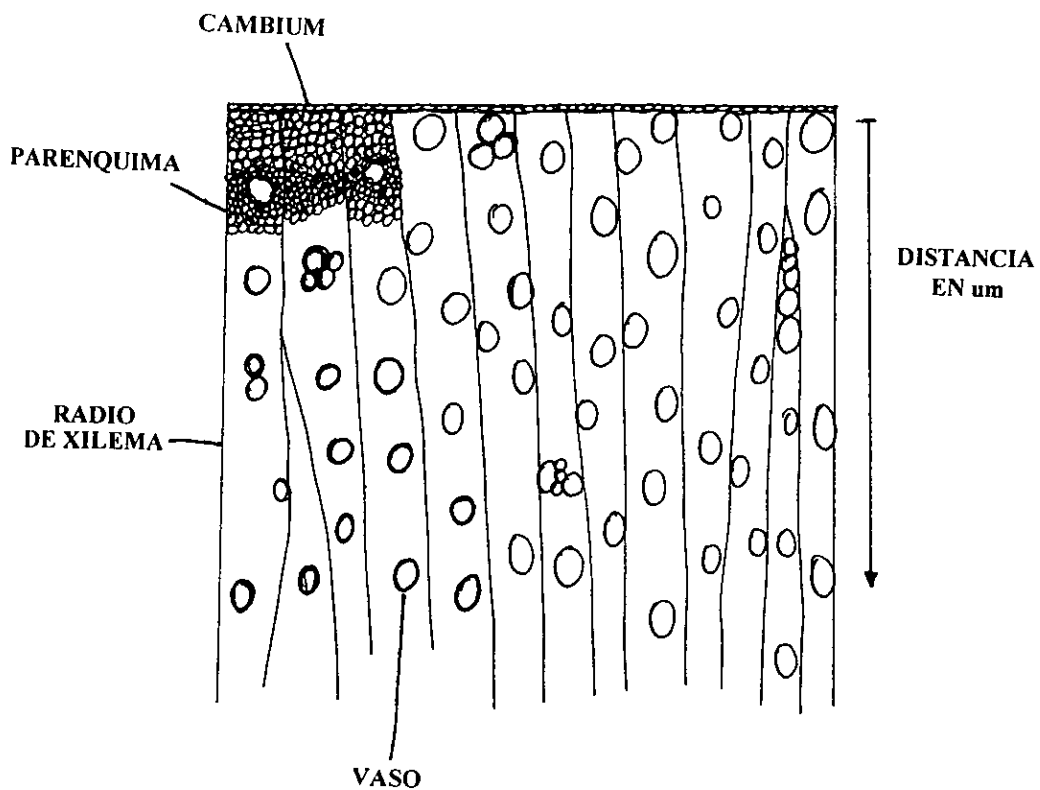


FIGURA 7. Esquematización de la forma en que se midió el diámetro de los vasos, a partir del cámbium en 10 radios.

VII. RESULTADOS

CRECIMIENTO DEL DIÁMETRO:

La tabla 1 muestra los promedios obtenidos anualmente por árbol. La columna 2, 3 y 5 es el promedio de los diámetros obtenidos durante los años 1995, 1996 y 1998; la columna 4 y 6 muestran el promedio del incremento anual calculado para los 10 árboles durante el año 1995-1996 y 1996-1998; y la última columna indica el promedio del ajuste a 365 días realizado para el incremento encontrado durante 1996-1998. En esta tabla se observa la variación del promedio del incremento obtenido en el diámetro en los 10 árboles de *Guarea grandifolia* medidos a diferentes alturas en los dos años de estudio, mostrando que para el año 1995-1996 el árbol que presentó mayor incremento fue el árbol # 7 con un incremento diametral de 0.92 cm/ año (tercera columna), para un año en 1996-1998 (última columna) fue para el árbol # 5 con un valor de 2.95 cm/ años. El resultado de menor incremento promedio en diámetro es muy variable también, ya que para 1995-1996 se registró un valor mínimo de 0.23 cm/ año para el árbol # 5, y para el ajuste calculado para 1996-1998 se encontró un valor mínimo de 0.03 para el árbol # 8.

TABLA 1 Promedio del diámetro e incremento anual de *Guarea grandifolia* medido a diferentes alturas del tronco durante diciembre de 1995, diciembre de 1996 y octubre de 1998, así como el calculo del incremento ajustado para 1997.

NO. ARBOL	DIAMETRO 1995 (cm)	DIAMETRO 1996 (cm)	INCREMENTO 1995-1996 (367 días) (cm/ año)	DIAMETRO 1998 (cm)	INCREMENTO 1996-1998 (677 días) (cm/ año)	INCREMENTO 1996-1997 (Ajustado a 365días) (cm/ año)
1	25.88	26.18	0.30	26.28	0.17	0.09
2	63.69	63.91	0.36	64.46	0.69	0.37
3	09.06	09.43	0.38	09.76	0.53	0.28
4	58.94	58.99	0.34	60.87	1.87	1.01
5	64.94	65.11	0.23	67.47	2.95	1.59
6	25.09	25.66	0.57	26.06	0.40	0.22
7	19.65	20.57	0.92	21.74	1.17	0.63
8	19.20	19.49	0.25	19.47	0.09	0.03
9	58.53	58.67	0.33	60.28	1.61	0.87
10	10.82	11.09	0.27	11.30	0.27	0.15

La tabla 2 muestra los datos de entrada para Systat 6.0. Estos datos se tomaron del apéndice A y B. En la primera columna se observa el número total de medidas de los diámetros obtenidas a diferentes alturas en los 10 árboles, los incrementos calculados por árbol se muestran en la columna 2, la columna 3 marca el número de árbol que corresponde al incremento medido a diferentes alturas. Los incrementos medidos por árbol se dividieron en dos partes, altura arriba (código 1) y altura abajo (código 2) como se observa en la columna 4 y se marca en el apéndice B y en la última columna se observa el año a que corresponde el incremento, el año de 1995-1996 se marca con el código 1 y el ajuste calculado para el año de 1996-1997 con el código 2.

TABLA 2. Datos de entrada para la ANOVA de los 10 árboles X 2 alturas X 2 años.

MEDIDAS	INCREMENTO	NO. ARBOL	ALTURA	AÑO
1	0.64	1	1	1
2	0.27	1	1	1
3	0.25	1	1	1
4	0.35	1	1	1
5	0.08	1	2	1
6	0.27	1	2	1
7	0.29	1	2	1
8	0.25	1	2	1
9	0.05	1	1	2
10	0.14	1	1	2
11	0.09	1	1	2
12	0.15	1	2	2
13	0.11	1	2	2
14	0.09	1	2	2
15	0.01	1	2	2
16	0.28	2	1	1
17	0.27	2	1	1
18	0.18	2	2	1
19	0.73	2	2	1
20	0.12	2	1	2
21	0.11	2	1	2
22	0.07	2	2	2
23	1.19	2	2	2
24	0.37	3	1	1
25	0.56	3	1	1
26	0.34	3	1	1
27	0.22	3	2	1
28	0.40	3	2	1
29	0.23	3	1	2
30	0.25	3	1	2
31	0.42	3	2	2
32	0.24	3	2	2
33	0.41	4	1	1
34	0.05	4	1	1
35	0.55	4	2	1
36	0.21	4	1	2
37	0.29	4	1	2
38	0.16	4	1	2
39	0.06	4	2	2
40	0.17	5	1	1

41	0.04	5	1	1
42	0.37	5	1	1
43	0.35	5	2	1
44	1.01	5	1	2
45	0.21	5	1	2
46	0.14	5	2	2
47	0.54	6	1	1
48	0.49	6	1	1
49	0.63	6	1	1
50	0.58	6	2	1
51	0.49	6	2	1
52	0.54	6	2	1
53	0.74	6	2	1
54	0.17	6	1	2
55	0.20	6	1	2
56	0.29	6	1	2
57	0.19	6	2	2
58	0.27	6	2	2
59	0.26	6	2	2
60	0.13	6	2	2
61	1.20	7	1	1
62	1.04	7	1	1
63	0.94	7	2	1
64	0.49	7	2	1
65	0.62	7	1	2
66	0.52	7	1	2
67	0.68	7	2	2
68	0.71	7	2	2
69	0.34	8	1	1
70	0.37	8	1	1
71	0.20	8	2	1
72	0.28	8	2	1
73	0.05	8	2	1
74	0.00	8	1	2
75	0.03	8	1	2
76	0.07	8	2	2
77	0.28	9	1	1
78	0.39	9	1	1
79	0.17	9	2	1
80	0.47	9	2	1
81	0.03	9	1	2
82	0.22	9	1	2
83	0.17	9	1	2
84	0.14	9	2	2
85	0.34	9	2	2
86	0.16	10	1	1
87	0.11	10	1	1
88	0.50	10	1	1
89	0.30	10	2	1
90	0.37	10	2	1
91	0.19	10	2	1
92	0.14	10	1	2
93	0.07	10	1	2
94	0.27	10	2	2
95	0.25	10	2	2
96	0.01	10	2	2

Los resultados obtenidos en el "Análisis de varianza" o "ANOVA" de 3 vías se muestran en la tabla 3. Las interacciones utilizadas para este análisis se obtuvieron de la tabla 2 de acuerdo al número de árboles, a los años de estudio y la altura marcada como se muestra en la primer columna de la tabla 3. Este análisis muestra que es notable y altamente

significativos estadísticamente los efectos de árboles y años con una probabilidad de 0.00000 y 0.00029 respectivamente como se marca en la columna 6 de la tabla 3, mientras las alturas y todas las demás interacciones no son significativas.

TABLA 3. Resultado proporcionado por Systat 6.0 para el "Análisis de varianza" o "ANOVA" de 10 árboles X 2 alturas X 2 años realizada para los incrementos de los diámetros del tronco medidos 10 árboles de *Guarea grandifolia*.

FUENTE DE VARIACIÓN	SUMA DE CUADRADOS	G.L.	CUADRADOS MEDIOS	RESULTADO DE F	PROBABILIDAD
Entre árboles	2.353	9	0.231	7.778	0.00000
Entre alturas	0.001	1	0.001	0.044	0.83411
Entre años	0.501	1	0.501	1.491	0.00029
Interacción árbol-altura	0.365	9	0.040	1.205	0.31034
Interacción árbol-año	0.535	9	0.039	1.168	0.33290
Interacción altura-año	0.011	1	0.011	0.326	0.57002
Interacción árbol-altura-año	0.458	9	0.051	1.514	0.16568
Error	1.882	56	0.033		

Los resultados de la tabla 4 muestran los promedios de todos los individuos calculados por Systat 6.0. En la categoría de los árboles (columna 1) se muestra notable el promedio obtenido para el árbol # 7 con un valor de 0.775, siendo este el mayor; para la categoría entre alturas se muestra con valores muy similares ya que para la altura 1 se obtuvo un promedio de 0.322, mientras que para al altura 2 se obtuvo un promedio de 0.331; y para la última categoría calculada en dos años se observan diferencias, para el año 1 se obtuvo un promedio de 0.405 y para el año 2 un promedio de 0.247. Esto demuestra que existen diferencias entre árboles y años, mientras que en las dos alturas son muy similares.

TABLA 4. Promedio y errores estándar de los incrementos en el análisis de varianza de *Guarea grandifolia* de 10 árboles X 2 alturas X 2 años.

NO. ARBOL	PROMEDIO DEL INCREMENTO	ERROR ESTANDAR	TAMAÑO DE LA MUESTRA
1	0.196	0.048	15
2	0.369	0.065	8
3	0.326	0.062	9
4	0.265	0.077	7
5	0.323	0.077	7
6	0.393	0.049	14
7	0.775	0.065	8
8	0.154	0.070	8
9	0.259	0.062	9
10	0.206	0.056	11
Altura 1	0.322	0.026	50
Altura 2	0.331	0.030	46
Año 1	0.405	0.028	50
Año 2	0.247	0.029	46

En la figura 8 se muestra el incremento promedio del diámetro troncal \pm error estándar calculados en la tabla 4, observándose que el árbol # 7 fue el de mayor incremento, esto ajustado a 2 años seguidos de crecimiento (1995-1996 y 1996-1997). La figura 9 muestra el promedio del diámetro troncal \pm error estándar obtenidos en las 2 alturas (altura arriba código 1 y altura abajo código 2), observándose que la diferencia entre estas no es muy variable. Y en la figura 10 se observa que la diferencia entre los años (año 1996 código 1 y el ajuste realizado para el año 1997 con el código 2) calculados por Systat 6.0, existe mayor diferencia que entre las alturas (figura 9).

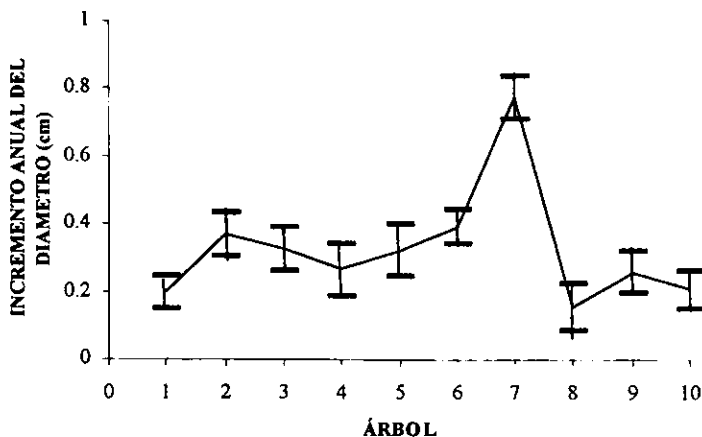


FIGURA 8. Incrementos promedios \pm errores estándares de los incrementos obtenidos en el "Análisis de varianza" o "ANOVA" para el diámetro calculado por árbol.

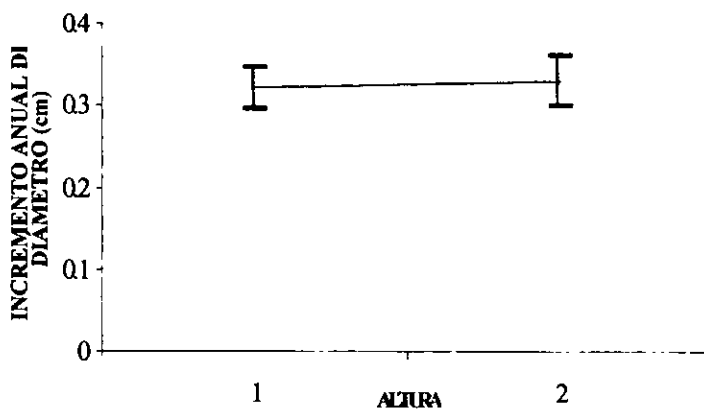


FIGURA 9. Incrementos promedios \pm errores estándares de los incrementos obtenidos en el "Análisis de varianza" o "ANOVA" para el diámetro calculado por árbol medidos a diferentes alturas (altura arriba = 1 y altura abajo = 2).

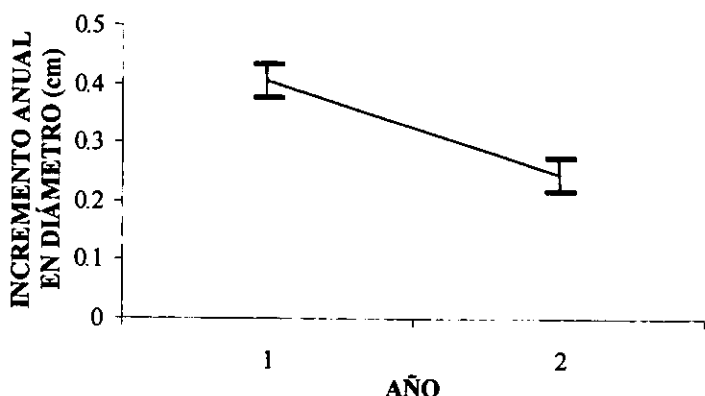


FIGURA 10. Incrementos promedios \pm errores estándares de los incrementos obtenidos en el "Análisis de varianza" o "ANOVA" para el diámetro calculado por árbol medidos en diferentes años (Año 1996 = 1 y Año 1997 = 2).

ANÁLISIS DE VASOS:

Las medidas del diámetro de vasos se obtuvieron de 5 árboles escogiendo de 10 árboles las preparaciones mejor preservadas en los vasos (no destruidos). Se hicieron dos tipos de análisis:

- 1) Se graficó el diámetro de vasos con respecto de la distancia al cámbium y se indicó el incremento anual medidos con cinta métrica como se muestra en las tablas 5, 6, 7, 8 y 9. Los datos originales que se muestran en el apéndice C se ordenaron por árbol, la primer columna muestra el número de radio en el cual se midió el diámetro del vaso; la segunda columna es el diámetro de vaso medido en micrómetros (um); la tercer columna es la distancia con respecto al cámbium con el vaso medido en forma de decreciente (de menor a mayor distancia) esto en micrómetros (um) y en milímetros (mm) como se observa en la cuarta columna.

- 2) Se utilizó un Análisis de varianza" o "ANOVA" anidado para observar si la variación del diámetro de vasos dentro de los árboles es más grande que la variación entre árboles vecinos. Esto apoyaría la idea de buscar patrones de crecimiento comunes entre árboles.

TABLA 5. Medidas del diámetro de vaso con respecto a la distancia al cámadium para el árbol #1.

NO. RADIO	DIÁMETRO DEL VASO (um)	DISTANCIA AL CÁMIDIUM (um)	(mm)
10	142.02	209.95	0.20995
7	188.95	370.50	0.37050
1	160.50	494.00	0.49400
4	185.25	543.40	0.54340
9	148.20	555.75	0.55575
9	123.50	741.00	0.74100
7	123.50	765.20	0.76520
2	185.25	827.45	0.82745
			0.98
			0.980001
6	148.20	1099.15	1.09915
10	197.60	1333.80	1.33380
3	111.15	1407.90	1.40790
8	172.90	1494.35	1.49435
10	111.15	1605.50	1.60550
2	160.55	1914.25	1.91425
5	191.42	2136.55	2.13655
3	222.30	2420.60	2.42060
5	160.55	2593.50	2.59350
8	185.25	2605.85	2.60585
10	148.20	2902.25	2.90225
2	185.25	2939.30	2.93930
5	185.25	3211.00	3.21100
2	185.25	3458.00	3.45800
3	185.25	3816.15	3.81615
9	160.55	3865.55	3.86555
6	86.45	4124.90	4.12490
4	123.50	4149.60	4.14960
8	129.67	4520.10	4.52010
2	139.55	4569.50	4.56950
5	135.85	4977.05	4.97705
9	148.20	5100.55	5.10055
5	135.85	5384.60	5.38460
2	111.15	5396.95	5.39695
9	142.02	5829.20	5.82920
2	172.90	5977.40	5.97740
4	160.55	6002.10	6.00210
3	185.25	6508.45	6.50845
6	185.25	6990.10	6.99010
2	135.85	7113.60	7.11360
9	185.25	7224.75	7.22475

4	209.95	7545.85	7.54585
2	135.85	7694.05	7.69405
6	172.90	7854.60	7.85460
9	148.20	8076.90	8.07690
2	191.42	8286.85	8.28685
3	222.30	8620.30	8.62030
7	160.55	8916.20	8.91620
9	228.47	9064.90	9.06490
3	123.50	9064.90	9.06490
2	123.50	9274.85	9.27485
6	185.25	9583.60	9.58360
3	135.85	9731.80	9.73180
8	148.20	9892.35	9.89235
3	247.00	10324.60	10.32460
3	148.20	10571.60	10.57160
2	142.02	10756.85	10.75685
9	180.31	11374.35	11.37435
2	172.90	11534.90	11.53490
3	185.25	11645.05	11.64505
2	172.90	11905.40	11.90540
6	148.20	12016.55	12.01655
8	148.20	12794.60	12.79460

TABLA 6. Medidas del diámetro de vaso con respecto a la distancia al cámbium para el árbol # 2.

NO. RADIO	DIÁMETRO DEL VASO (um)	DISTANCIA AL CÁMBIUM (um)	(mm)
1	74.10	37.05	0.03705
8	111.15	197.60	0.19760
3	160.55	271.70	0.27170
9	160.55	370.50	0.37050
6	123.50	469.30	0.46930
5	123.50	555.75	0.55575
1	160.55	592.80	0.59280
7	172.90	716.30	0.71630
10	135.85	839.80	0.83980
4	209.95	1123.85	1.12385
1	160.55	1136.20	1.13620
3	123.50	1457.30	1.45730
1	135.85	1519.05	1.51905
10	148.20	1593.15	1.59315
8	129.67	1642.55	1.64255
5	172.90	1667.25	1.66725
6	142.02	1753.70	1.75370
			1.845
			1.8450001
3	148.20	1901.90	1.90190
8	135.85	2161.25	2.16125
7	172.90	2297.10	2.29710

2	123.50	2346.50	2.34650
9	197.60	2519.40	2.51940
10	142.02	2531.75	2.53175
1	216.12	2667.60	2.66760
2	160.55	2741.70	2.74170
7	185.25	2902.25	2.90225
9	160.55	2988.70	2.98870
6	148.20	3186.30	3.18630
3	148.20	3248.05	3.24805
7	135.85	3519.75	3.51975
5	135.85	3532.10	3.53210
8	160.55	3569.15	3.56915
2	172.90	3618.55	3.61855
10	160.55	4001.40	4.00140
2	154.37	4297.80	4.29780
7	209.95	4569.50	4.56950
3	135.85	4631.25	4.63125
1	123.50	4878.25	4.87825
10	160.55	4915.30	4.91530
5	148.20	4952.35	4.95235
8	209.95	5187.00	5.18700
3	180.31	5434.00	5.43400
9	129.67	5458.70	5.45870
5	111.15	5755.10	5.75510
10	166.72	5779.80	5.77980
1	172.90	5915.65	5.91565
9	123.50	6125.60	6.12560
2	123.50	6137.95	6.13795
7	81.51	6372.60	6.37260
4	135.85	6631.95	6.63195
10	148.20	6681.35	6.68135
8	135.85	6718.40	6.71840
3	123.50	6977.75	6.97775
1	155.61	7298.85	7.29885
10	148.20	7990.45	7.99045
7	123.50	8163.35	8.16335
8	111.15	8200.40	8.20040
5	160.55	8225.10	8.22510
8	111.15	8941.40	8.94140
3	142.02	9163.70	9.16370
10	166.72	9262.50	9.26250
9	135.85	9546.55	9.54655
2	135.85	9719.45	9.71945
5	148.20	9954.10	9.95410
9	172.90	10225.80	10.22580
2	117.32	10299.90	10.29990
3	86.45	10571.60	10.57160
1	135.85	10583.95	10.58395
2	135.85	10929.75	10.92975
1	135.85	11077.95	11.07795
8	123.50	11213.80	11.21380
9	117.32	12041.25	12.04125
9	123.50	12597.00	12.59700
3	160.55	12646.40	12.64640

9	197.60	13325.65	13.32565
5	123.50	13609.70	13.60970
4	135.85	13745.55	13.74555
9	172.90	14560.65	14.56065
8	172.90	15079.35	15.07935
8	209.95	15845.05	15.84505

TABLA 7. Medidas del diámetro de vaso con respecto a la distancia al cámbium para el árbol #3

NO. RADIO	DIÁMETRO DEL VASO (um)	DISTANCIA AL CÁMBIUM (um)	(mm)
9	135.85	185.25	0.18525
7	86.45	271.70	0.27170
1	123.50	308.75	0.30875
10	148.20	358.15	0.35815
10	111.15	506.35	0.50635
4	104.97	617.50	0.61750
6	148.20	753.35	0.75335
5	98.80	1062.10	1.06210
2	117.32	1272.05	1.27205
7	148.20	1383.20	1.38320
		1.63	
		1.630001	
3	135.85	1716.65	1.71665
8	123.50	1729.00	1.72900
8	123.50	1815.45	1.81545
1	92.62	2124.20	2.12420
8	148.20	2346.50	2.34650
10	148.20	2494.70	2.49470
1	160.55	2494.70	2.49470
4	160.55	2581.15	2.58115
1	111.15	2902.25	2.90225
6	98.80	2976.35	2.97635
9	61.75	3495.05	3.49505
2	111.15	3643.25	3.64325
7	135.85	3742.05	3.74205
5	135.85	3779.10	3.77910
1	111.15	3877.90	3.87790
3	135.85	3964.30	3.96430
3	92.62	4001.35	4.00135
2	148.20	4038.45	4.03845
4	135.85	4063.15	4.06315
9	111.15	4075.50	4.07550
4	92.62	4100.20	4.10020
9	104.97	4199.00	4.19900
1	148.20	4273.10	4.27310
7	98.80	4532.45	4.53245
7	111.15	4742.40	4.74240
7	98.80	4841.20	4.84120
4	160.55	4964.70	4.96470
2	123.50	5224.05	5.22405

9	65.45	5434.00	5.43400
8	160.55	5434.00	5.43400
6	148.20	6175.00	6.17500
8	111.15	6360.25	6.36025
1	123.50	6372.60	6.37260
4	123.50	6483.75	6.48375
6	123.50	6706.05	6.70605
5	123.50	6780.15	6.78015
2	148.20	7360.60	7.36060
9	123.50	7879.30	7.87930
4	123.50	8138.65	8.13865
1	148.20	8151.00	8.15100
6	77.80	8830.25	8.83025
8	111.15	8830.25	8.83025
9	148.20	8867.30	8.86730
7	111.15	8879.69	8.87969
2	148.20	9472.45	9.47245
8	135.85	9818.25	9.81825
1	115.26	10225.80	10.22580
6	129.67	10250.50	10.25050
2	86.45	10929.75	10.92975
1	129.67	11781.90	11.78190
6	123.50	12140.05	12.14005

TABLA 8. Medidas del diámetro de vaso con respecto a la distancia al cámbium para el árbol #7.

NO. RADIO	DIÁMETRO DEL VASO (um)	DISTANCIA AL CÁMBIUM (um)	(mm)
8	135.85	123.50	0.12350
4	160.55	308.75	0.30875
8	49.40	308.75	0.30875
1	197.60	494.00	0.49400
9	142.02	555.75	0.55575
1	145.11	876.85	0.87685
10	148.20	1284.40	1.28440
7	222.30	1309.10	1.30910
1	86.45	2235.35	2.23535
3	142.02	2309.45	2.30945
8	123.50	2507.05	2.50705
6	148.20	2877.55	2.87755
1	135.85	2988.70	2.98870
8	154.37	3173.95	3.17395
2	148.20	3285.10	3.28510
6	160.55	3519.75	3.51975
1	154.37	3853.20	3.85320
			3.8750001
5	148.20	4063.15	4.06315
4	111.15	4544.80	4.54480
1	123.50	4557.15	4.55715
7	148.20	4804.15	4.80415
3	148.20	5409.30	5.40930

4	98.80	5409.30	5.40930
10	148.20	5619.25	5.61925
2	148.20	6397.30	6.39730
3	98.80	6409.65	6.40965
10	135.85	6459.05	6.45905
6	111.15	6631.95	6.63195
10	172.90	7101.25	7.10125
6	98.80	7163.00	7.16300
3	91.39	7397.65	7.39765
2	123.50	7521.15	7.52115
10	148.20	7780.50	7.78050
3	135.85	7792.85	7.79285
5	160.55	8015.15	8.01515
3	160.55	8435.05	8.43505
9	166.72	8459.75	8.45975
9	172.90	9101.95	9.10195
2	148.20	9423.05	9.42305
9	148.20	9781.20	9.78120
3	111.15	10559.25	10.55925

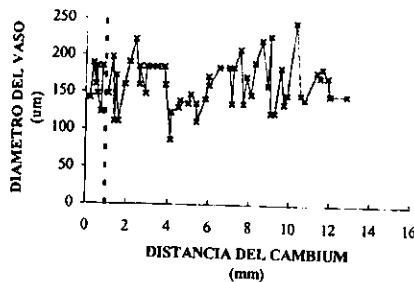
TABLA 9. Medidas del diámetro de vaso con respecto a la distancia al cámbium para el árbol #8.

NO. RADIO	DIÁMETRO DEL VASO (um)	DISTANCIA AL CÁMBIUM (um)	(mm)
3	111.15	247.00	0.24700
1	98.80	271.70	0.27170
5	86.45	345.80	0.34580
9	185.25	543.40	0.54340
3	197.60	555.75	0.55575
9	135.85	654.55	0.65455
		0.77	0.770001
6	148.20	790.40	0.79040
5	135.85	1358.50	1.35850
3	197.60	1444.95	1.44495
1	160.55	1827.80	1.82780
7	104.97	2185.95	2.18595
2	172.90	2198.30	2.19830
3	135.85	2494.70	2.49470
5	148.20	2630.55	2.63055
1	160.55	2667.60	2.66760
8	185.25	3285.10	3.28510
6	135.85	3914.95	3.91495
3	185.25	4371.90	4.37190
8	135.85	4421.30	4.42130
4	172.90	4631.25	4.63125
9	172.90	4791.80	4.79180
2	148.20	5174.65	5.17465

10	154.37	5359.90	5.35990
8	172.90	5434.00	5.43400
2	123.50	5446.35	5.44635
9	154.37	5594.55	5.59455
10	160.55	6347.90	6.34790
2	172.90	6533.15	6.53315
9	160.55	6582.55	6.58255
6	160.55	6743.10	6.74310
7	172.90	6841.90	6.84190
10	209.95	6965.40	6.96540
3	172.90	7175.35	7.17535
5	185.25	7200.05	7.20005
9	209.95	7200.05	7.20005
10	148.20	7471.75	7.47175
9	148.20	7706.40	7.70640
2	172.90	7718.75	7.71875
10	179.07	8299.20	8.29920
3	172.90	8360.95	8.36095
9	179.07	8533.85	8.53385
4	172.90	8645.00	8.64500
6	172.90	8953.75	8.95375
8	123.50	9077.25	9.07725
7	123.50	9126.65	9.12665
4	172.90	9324.25	9.32425
3	160.55	9497.15	9.49715
6	160.55	9497.15	9.49715
3	172.90	10176.40	10.17640
5	172.90	10460.45	10.46045
8	160.55	10497.50	10.49750
7	160.55	10596.30	10.59630
3	111.15	10868.00	10.86800
3	135.85	11115.00	11.11500

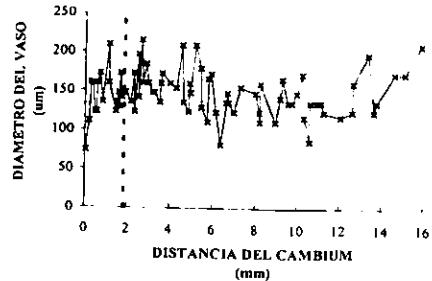
Al medir el diámetro de vasos de estos 5 áboles, se observa en la figura 11 y tablas 5 a 9 que no se pueden distinguir anillos anuales de crecimiento por que el diámetro de los vasos no es muy variable y parece constante en los áboles medidas.

ARBOL #1



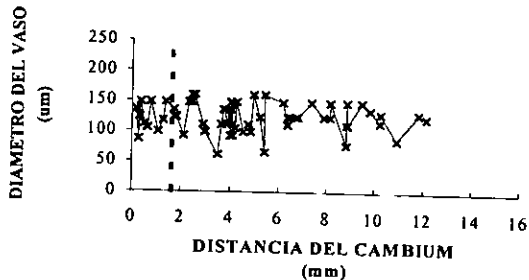
Incremento 0.19 cm
Formación de 8 vasos / año

ARBOL #2



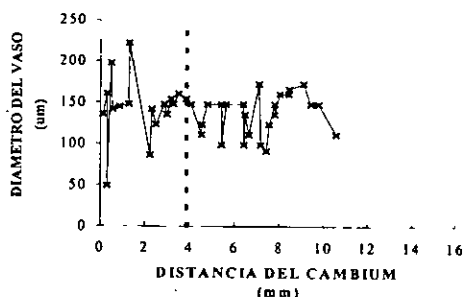
Incremento 0.36 cm
Formación de 17 vasos / año

ARBOL #3



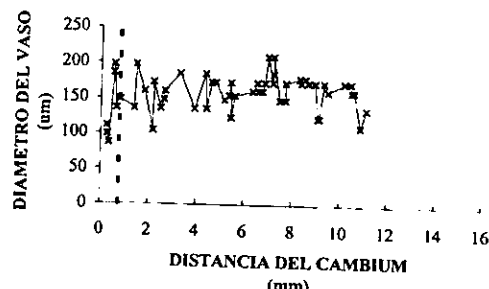
Incremento 0.32 cm
Formación de 10 vasos / año

ARBOL #7



Incremento 0.77 cm
Formación de 17 vasos / año

ARBOL #8



Incremento 0.15 cm
Formación de 6 vasos / año

FIGURA 11. Variación en los diámetros de vasos medidos a partir del cámbium en 5 árboles de *Guarea grandifolia*. La línea punteada marca el incremento de la tabla 4. El número de vasos formado por año es hipotético, correspondiendo a estos incrementos.

El resultado del "Análisis de varianza" o "ANOVA" anidado (tabla 10), distingue que existe diferencia significativa en el diámetro de los vasos entre los árboles, ya que se obtuvo un resultado de F de 17.97 siendo mayor que la probabilidad de 0.001. El componente de varianza entre árboles (tabla 11) fue del 22%, mientras el componente de varianza dentro de los árboles fue de un 78%.

TABLA 10. Análisis de varianza anidado para el diámetro de vasos de los 5 árboles de *Guarea grandifolia*.

NIVEL	SUMA DE CUADRADOS	GRADOS DE LIBERTAD	CUADRADOS MEDIOS	RESULTADO F
Entre árboles	58233.93	4	14558.48	17.97
Dentro de árboles	236502.05	292	809.93	

TABLA 11. Componentes de variación para el "Análisis de varianza" o "ANOVA" anidado del diámetro de vasos.

NIVEL	COMPONENTES DE VARIACION	PORCENTAJE (%)
Entre árboles	232.10	22
Dentro de árboles	809.94	78

El resultado obtenido al aplicar las medidas estadísticas (tabla 12) para obtener un intervalo de confianza del 95% se muestra en la figura 12. Se ve claramente que los promedios de los árboles #1, 2 y 3 son significativamente diferentes. Los intervalos de confianza de los árboles #7 y 8 sobrelapan con los intervalos de los primeros tres. Es notable que el árbol #7 presenta mayor incremento con las medidas del diámetro troncal (figura 8), observándose que no tiene diámetros de vasos excepcionales y más bien produce muchos vasos por año (17 en la figura 11).

TABLA 12. Estadística aplicada para los 5 árboles medidos en el diámetro de vasos

ÁRBOL # 1	ESTADISTICA	ERROR ESTANDAR	LIMITES DE CONFIANZA (95%)	
MEDIA	161.9	4.09	153.7	170.1
MEDIANA	160.5	5.12	150.3	170.8
VARIANZA	1018.7			
DESV. EST	31.9			
COEF. VAR.	19.7	1.85	16.0	23.4

G1	0.24	0.306	-0.36	0.84
G2	0.02	0.038	-1.16	1.20
DMAX	0.125			
ÁRBOL # 2	ESTADISTICA	ERROR ESTANDAR	LIMITES DE CONFIANZA (95%)	
MEDIA	145.6	3.20	139.2	152.02
MEDIANA	142.0	4.03	133.9	150.0
VARIANZA	827.8			
DESV. EST	28.7			
COEF. VAR.	19.7	1.62	16.35	22.98
G1	0.10	0.269	-0.42	0.63
G2	0.39	0.532	-0.6	1.43
DMAX	0.108			
ÁRBOL #3	ESTADISTICA	ERROR ESTÁNDAR	LIMITES DE CONFIANZA (95%)	
MEDIA	122.6	3.02	116.6	128.7
MEDIANA	123.5	3.78	1150.9	131.0
VARIANZA	556.6			
DESV. EST	23.5			
COEF. VAR.	19.2	1.80	15.6	22.8
G1	-0.42	0.306	-1.0	0.17
G2	-0.20	0.604	-1.38	0.97
DMAX	0.123			
ÁRBOL # 7	ESTADISTICA	ERROR ESTÁNDAR	LIMITES DE CONFIANZA (95%)	
MEDIA	139.3	4.7	129.6	149.0
MEDIANA	148.2	6.01	136.0	160.3
VARIANZA	943.5			
DESV. EST	30.7			
COEF.VAR.	22.0	2.55	16.8	27.1
G1	-0.31	0.369	-0.0	0.40
G2	1.71	0.724	0.29	3.13
DMAX	0.162			
ÁRBOL # 8	ESTADISTICA	ERROR ESTÁNDAR	LIMITES DE CONFIANZA (95%)	
MEDIA	157.9	3.6	150.5	165.2
MEDIANA	160.5	4.59	151.3	169.7
VARIANZA	724.7			
DESV. EST	26.9			
COEF. VAR.	17.0	1.68	13.6	20.4
G1	-0.56	0.324	-1.2	0.07
G2	0.21	0.639	-1.03	1.47
DMAX	0.155			

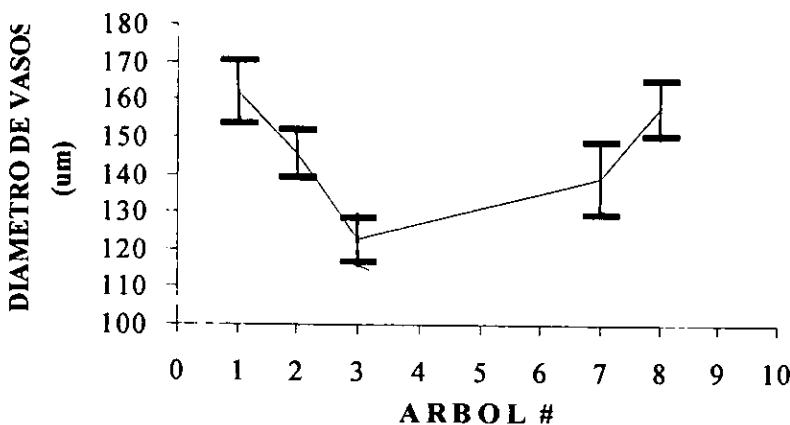


FIGURA 12. Límites de confianza de 95% de la media de los diámetros de vaso de los 5 árboles obtenidos en los estadísticos realizados.

DENSIDAD DE LA MADERA:

El análisis de la densidad por el método de gravedad específica se llevó a cabo para ver si es posible inferir el incremento anual por medio de la densidad de la madera. La Tabla 13 muestra los datos de entrada para Systat 6.0, tomados de los datos originales del apéndice D. La primer columna muestra el número total de las densidades, el cálculo de la densidad se muestra en la columna 2 y el número de árbol a la que corresponde la densidad se muestra en la columna 3. La última columna muestra el lado donde se obtuvo la muestra, el lado norte se marca con el código 1 y con el código 2 el lado sur.

TABLA 13. Datos de entrada para El "Análisis de varianza" o "ANOVA" de los 10 árboles X 2 lados (norte y sur)

NO. MEDIDAS	DENSIDAD (gr / cm ³)	NO. ÁRBOL	LADO NORTE-SUR
1	0.66	1	1
2	0.72	1	1
3	0.88	1	1
4	0.72	1	1
5	0.88	1	1

6	0.60	1	1
7	0.66	1	2
8	0.69	1	2
9	0.59	1	2
10	0.90	1	2
11	0.94	1	2
12	0.70	2	1
13	0.60	2	1
14	0.39	2	1
15	0.65	2	1
16	0.56	2	2
17	0.37	2	2
18	0.31	3	1
19	0.47	3	2
20	0.58	3	2
21	0.65	4	1
22	0.70	4	1
23	0.42	4	2
24	0.52	4	2
25	0.80	4	2
26	0.60	4	2
27	0.21	4	2
28	0.26	4	2
29	0.45	5	1
30	0.47	5	1
31	0.38	5	1
32	0.48	5	1
33	0.48	5	1
34	0.72	5	2
35	0.50	5	2
36	0.55	5	2
37	0.47	5	2
38	0.75	6	1
39	0.60	6	1
40	0.57	6	2
41	0.85	6	2
42	0.43	6	2
43	0.69	6	2
44	0.62	6	2
45	0.57	6	2
46	0.60	7	1
47	0.57	7	1
48	0.77	7	1
49	0.09	7	2
50	0.93	7	2
51	0.54	8	1
52	0.50	8	1
53	0.88	8	1
54	0.57	8	2
55	0.88	8	2
56	0.82	8	2
57	0.63	8	2
58	0.56	8	2
59	0.76	9	1

60	0.90	9	1
61	0.68	9	1
62	0.65	9	1
63	0.60	9	2
64	0.16	9	2
65	0.65	9	2
66	0.62	9	2
67	0.54	10	1
68	0.65	10	1
69	0.61	10	1
70	0.83	10	2
71	0.69	10	2

Con los resultados obtenidos se realizó un "Análisis de varianza" o "ANOVA" de dos vías. Una vía se refiere a los 10 árboles y la otra a los dos lados donde se obtuvo la muestra (norte y sur). La tabla 14 muestra las diferentes interacciones para realizar este análisis, encontrándose que existen diferencias significativas de la densidad entre los árboles (0.049), pero no entre los lados norte y sur (0.639). Además no hubo interacción entre las dos fuentes de variación (0.302).

TABLA 14. "Análisis de varianza" o "ANOVA" de 10 árboles X 2 lados (norte/sur) calculado por Systat 6.0.

FUENTE DE VARIACION	SUMA DE CUADRADOS	GRADOS DE LIBERTAD	CUADRADOS MEDIOS	RESULTADO F	PROBABILIDAD
ENTRE ARBOLES	0.516	9	0.057	2.079	0.049
ENTRE LADO NORTE-SUR	0.006	1	0.006	0.223	0.639
ENTRE ARBOL NORTE-SUR	0.303	9	0.034	1.223	0.302
ERROR	1.407	51	0.027		

Los promedios de la densidad obtenida por árbol y por lado norte-sur de la tabla 15 muestran diferencias entre los árboles, encontrándose un mayor promedio de densidad para el árbol #1 con un valor de 0.75 (figura 13), mientras que para la categoría entre los lados norte sur está diferencia se muestra mínima con valor de 0.60 y 0.59 respectivamente. En esta misma tabla se observa el número de repeticiones que se realizó, estas se obtuvieron por árbol de acuerdo al número de muestras obtenidas durante el año y por lugar.

TABLA 15. Promedio de la densidad obtenida por árbol y por lugar donde se obtuvo la muestra (norte-sur)

NO. ARBOL	PROMEDIO	ERROR ESTANDAR	TAMAÑO DE LA MUESTRA
1	0.75	0.050	11
2	0.52	0.072	6
3	0.41	0.102	3
4	0.57	0.068	8
5	0.50	0.056	9
6	0.64	0.068	8
7	0.57	0.076	5
8	0.66	0.061	8
9	0.62	0.059	8
10	0.68	0.076	5
NS 1	0.61	0.033	33
NS 2	0.59	0.030	38

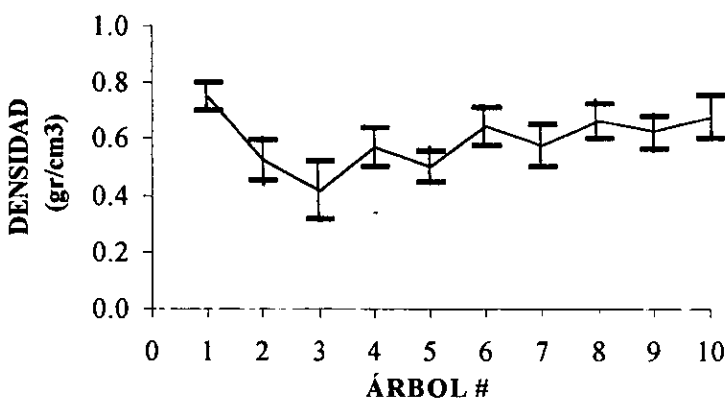


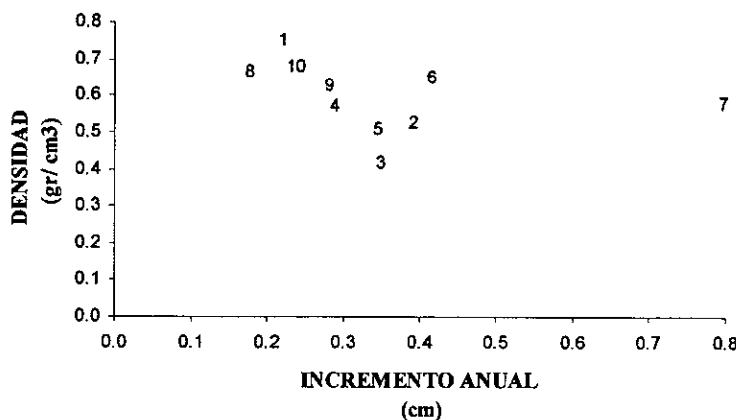
FIGURA 13. Densidad promedio \pm error estandar obtenidos en el "Análisis de varianza "o" ANOVA" calculada por árbol.

También se calculó una correlación (coeficiente de Pearson) entre los promedios del incremento del diámetro troncal observados en la tabla 4 y los de la densidad que se muestran en la tabla 15, que se encuentran agrupados en la tabla 16. Esta correlación demuestra que fue altamente significativa para 8 árboles. Se nota que el árbol #7 es un "outlier" y también #6 es excepcional, los demás árboles siguen aproximadamente una relación lineal (figura 14).

TABLA 16. Promedio del incremento anual del diámetro obtenido en el análisis de varianza del incremento diámetral y el promedio de las medidas de densidad que se obtuvieron para cada árbol.

NO. ARBOL	INCREMENTO (cm)	DENSIDAD (g/cm ³)
1	0.196	0.750
2	0.369	0.525
3	0.326	0.418
4	0.265	0.572
5	0.323	0.506
6	0.393	0.648
7	0.775	0.578
8	0.154	0.666
9	0.259	0.628
10	0.206	0.680

FIGURA 14. Promedio del incremento anual en diámetro del tronco relacionado con la densidad obtenida por árbol.



Los datos del promedio de la densidad obtenida por árbol en la tabla 16 muestran en la figura 15 la distribución de la gravedad específica de la madera encontrada por árbol con la humedad del lugar.

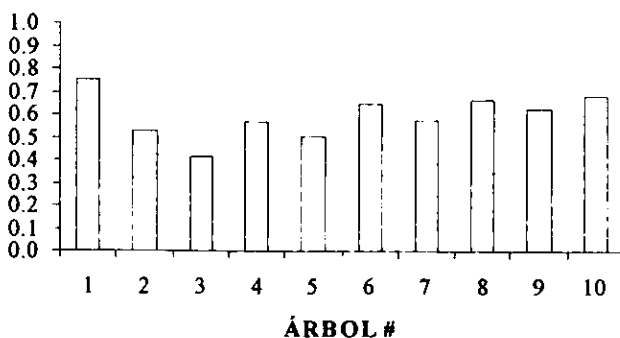


FIGURA 15. Distribución de la gravedad específica en 10 árboles de *Guarea grandifolia*.

EDAD ESTIMADA CON EL MODELO “BRC”:

Para estimar la edad de los 10 árboles medidos a diferente altura, se calcularon los parámetros de velocidad de crecimiento (a), forma de la curva (b) y diámetro máximo (D_M) para el modelo “BRC” con los datos mostrados en el apéndice E. La tabla 17 muestra el cálculo de estos parámetros al igual que los límites de confianza inferior y superior. Con estos parámetros se calculó la edad de los 10 árboles medidos en diámetro troncal a diferente altura durante dos años consecutivos (figura 16). También se utilizaron los parámetros b y D_M del promedio (tabla 17) para calcular la diferencia en la velocidad de crecimiento (a) en dos años diferentes, 1996 y 1997 (figura 17).

Las curvas del crecimiento relativo obtenidas de los datos de las medidas obtenidas en diámetro a diferente altura (figura 16) y los diámetros tomados en cuenta en dos años diferentes (figura 17), se muestran muy parecidas, ya que la forma de la curva no cambia. Sin embargo, al comparar la edad de los árboles se observa que varía. La edad estimada tomando en cuenta todos los diámetros medidos en el tronco del árbol a diferente altura (figura 16) da como resultado que para un árbol de 80 cm de diámetro se estimó una edad de 293 años (261-345 años como intervalo de confianza) que correspondería a un incremento anual promedio de 0.3 cm (80/293). Mientras que la edad estimada tomando en cuenta los diámetros medidos a diferente altura en 2 años diferentes (Año 1= 1996 y Año 2

= 1997) (figura 17), muestra que para un árbol de 80 cm de diámetro tendría 244 años en el primer año con un incremento anual de 0.3 cm (80 / 244) y 401 años con un incremento de 0.2 cm (80 / 401) en el segundo año con un diámetro de 80 cm. Estos intervalos de confianza se obtuvieron con la siguiente fórmula para el año 1 (1996) y el año 2 (1997):

$$\text{LNRG} = \text{LOG} (ab / (1 / (1 - (D / D_M)1/b) - 1))$$

Donde el parámetro *b* (forma de la curva) y *D_M* (Diámetro máximo) corresponderían a los valores obtenidos en la tabla 17. Mientras que el parámetro *a* (velocidad de crecimiento) y *DIA* (diámetro) se obtuvieron de los datos calculados para el año 1 (1996) y año 2 (1997) y se sustituyeron respectivamente:

$$\text{LNRG} = \text{LOG} (a * 1.03347 / (1 / (1 - (DIA / 532.51) (1 / 1.03347)) - 1))$$

Los datos utilizados para calcular *a* y *DIA* que se muestran en las tablas 18 y 19 se obtuvieron de los datos originales del apéndice V. Estos datos se ordenaron para Systat 6.0. La primer columna muestra el total de las medidas realizadas del diámetro a diferentes alturas, la segunda columna el número de árbol que corresponde la altura, la tercera columna el diámetro calculado por altura, la cuarta columna es el ajuste del incremento obtenido en un año (365 días) y la última columna el logaritmo del crecimiento relativo.

TABLA 17. Calculo de los parámetros para el modelo BRC con regresión lineal en 90 mediciones realizadas a diferentes alturas en dos años de estudio en 10 árboles de *Guarea grandifolia*.

Promedio D_M (cm)	532.5
Media a (1 / año)	0.0005906
Media b	1.0334666
R² original	0.4952585
Límite Inferior D_M (cm)	511.6
Límite inferior a (1 / año)	0.0005585
Límite inferior b	0.9311196
R² original	0.9995879
Límite superior D_M (cm)	634.3
Límite superior a (1 / año)	0.0003926
Límite superior b	1.0048906
R² original	0.9981297

TABLA 18. Datos de entrada para Systat 6.0 del año 1 (1996) en 10 árboles medidos en diámetro a diferente altura.

MEDIDAS	NO. ÁRBOL	DIÁMETRO (1996)	INCREMENTO AJUSTADO (365 DIAS)	LN CRECIMIENTO RELATIVO
1	3	8.20	0.40	-3.0910
2	3	8.60	0.30	-3.2301
3	1	8.70	0.20	-4.0061
4	3	8.80	0.60	-2.7547
5	1	9.50	0.10	-4.4909
6	3	9.70	0.20	-3.7755
7	1	11.30	1.13	-3.1196
8	1	11.16	0.30	-3.6608
9	3	11.19	0.40	-3.3826
10	1	12.10	0.40	-3.4808
11	1	13.40	0.20	-4.2540
12	7	17.40	1.20	-2.6769
13	8	18.50	0.40	-3.9097
14	8	18.80	0.30	-4.0130
15	8	19.00	0.20	-4.5450
16	7	19.30	1.00	-2.9194
17	8	19.60	0.30	-4.2638
18	7	20.20	0.90	-3.0620
19	8	21.30	0.10	-5.9969
20	6	21.50	0.50	-3.6830
21	6	23.10	0.50	-3.8571
22	6	23.20	0.60	-3.6127

23	1	23.60	0.60	-3.6118
24	1	24.00	0.30	-4.5450
25	1	24.10	0.30	-4.5104
26	1	24.50	0.40	-4.2494
27	6	24.60	0.60	-3.7398
28	1	25.30	0.10	-5.6971
29	7	25.40	0.50	-3.9521
30	6	25.70	0.50	-3.9637
31	1	26.90	0.30	-4.6206
32	6	28.20	0.50	-3.9539
33	1	28.70	0.30	-4.6078
34	1	32.30	0.30	-4.8422
35	6	33.30	0.70	-3.8041
36	9	50.00	0.30	-5.2004
37	4	52.10	0.40	-4.8351
38	9	53.30	0.40	-4.9115
39	4	54.00	0.10	-6.9256
40	9	57.50	0.20	-5.8245
41	4	58.00	0.60	-4.6543
42	5	58.80	0.40	-5.0648
43	5	60.30	0.20	-5.8732
44	2	60.40	0.30	-5.3884
45	2	60.90	0.30	-5.4362
46	2	63.30	0.20	-5.8601
47	2	73.20	0.70	-4.6056
48	9	79.50	0.50	-5.1377
49	5	82.30	0.40	-5.4592

TABLA 19. Datos de entrada para Systat 6.0 del año 2 (1998) en 10 áboles medidos en diámetro a diferentes alturas.

MEDIDAS	NO. ÁRBOL	DIAMETRO (1998)	INCREMENTO AJUSTADO (365 DÍAS)	LN CRECIMIENTO RELATIVO
1	3	8.60	0.20	-3.6025
2	1	9.00	0.10	-4.1826
3	3	9.00	0.20	-3.6042
4	1	9.60	0.10	-4.9397
5	3	10.50	0.40	-3.2240
6	1	12.10	0.30	-3.8029
7	3	12.30	0.20	-3.9371
8	1	12.50	0.30	-3.9077
9	7	18.60	0.60	-3.4036
10	8	19.70	0.10	-5.5817
11	7	20.20	0.50	-3.6602
12	7	21.40	0.70	-3.4579
13	6	21.80	0.20	-4.8795
14	6	23.50	0.20	-4.7641
15	6	23.70	0.30	-4.3993
16	1	24.20	0.10	-6.1538

17	1	24.20	0.10	-5.1734
18	1	24.70	0.10	-5.5980
19	6	24.90	0.20	-4.8532
20	1	25.60	0.20	-5.1097
21	6	26.20	0.30	-4.5792
22	7	26.70	0.70	-3.6287
23	1	27.10	0.10	-5.5203
24	6	28.70	0.30	-4.6920
25	1	28.90	0.10	-5.8188
26	6	33.60	0.10	-5.5422
27	9	50.40	0.20	-5.4463
28	4	52.50	0.20	-5.5130
29	9	53.60	0.20	-5.7786
30	4	54.50	0.30	-5.2506
31	4	55.80	0.20	-5.8535
32	9	57.70	0.10	-6.0006
33	4	58.10	0.10	-6.8275
34	5	59.20	0.20	-5.6608
35	2	61.10	0.10	-6.2806
36	5	61.90	1.00	-4.1184
37	2	62.00	0.10	-6.2463
38	9	62.40	0.30	-5.2022
39	2	63.40	0.10	-6.8282
40	5	64.50	0.10	-6.1110
41	2	75.50	1.20	-4.1496

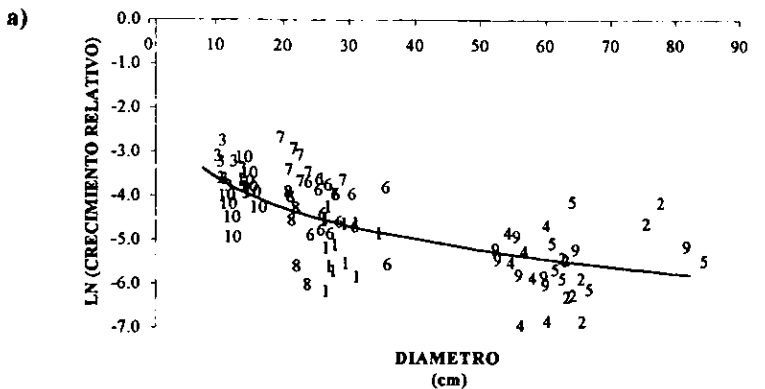


FIGURA 16. a) Logaritmo del crecimiento relativo en dependencia del diámetro troncal y b) la edad derivada de esta relación con su intervalo de confianza (95%). Para el inventario de 10 árboles de *Guarea grandifolia*, medidas a diferente altura durante dos años consecutivos.

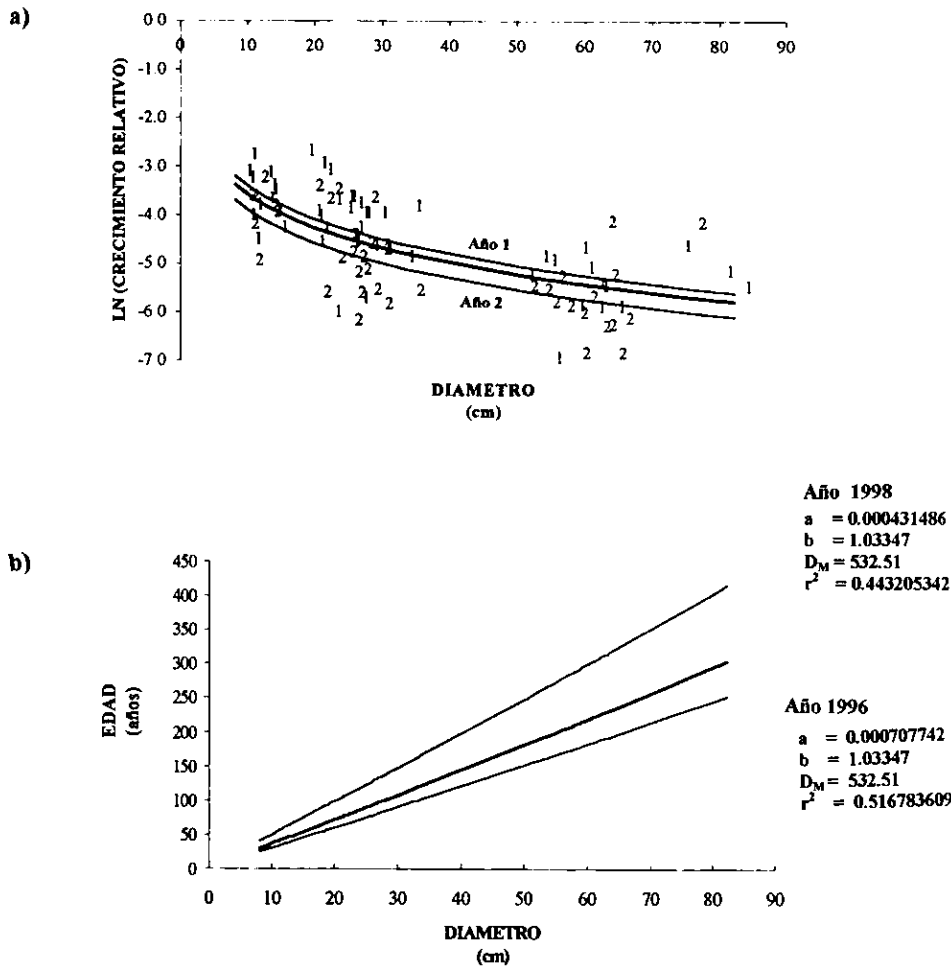


FIGURA 17. a) Logaritmo del crecimiento relativo en dependencia del diámetro troncal medidos a diferente altura durante dos años (Año 1= 1996 y Año 2= 1998) con b y D_M fijadas y b) la edad derivada de esta relación incluyendo todos los datos de los dos años con su respectivo intervalo de confianza (95%), para el inventario de 10 áboles.

Además de los 10 árboles estudiados en detalle anteriormente, se midieron 90 individuos más a una sola altura. También se obtuvieron los parámetros a , b y D_M utilizados en el modelo medidos en el tiempo de estudio (1 año) (tabla 20) y así calcular la edad calculada de los 90 árboles (figura 18). Posteriormente se utilizaron los promedios obtenidos de los parámetros b y D_M obtenidos de las mediciones realizadas en el diámetro medido a diferentes alturas en los 10 árboles (tabla 17) para calcular la diferencia en la velocidad del crecimiento (a) en el mismo año (figura 19).

Las curvas del crecimiento relativo que se obtuvieron en las figuras 20 y 21, muestran que existe poca diferencia en la forma de la curva, aún realizando el ajuste de a . Sin embargo la edad estimada para los 90 árboles medidos en diámetro troncal a una sola altura (figura 18) demuestra que para un diámetro de 80 cm se obtuvo una edad de 230 años (185-385 años como intervalo de confianza) que corresponde a un incremento anual de 0.3 cm (80 / 230). Mientras que la edad calculada encontrada con los parámetros a , b y D_M ajustado al diámetro de los 90 árboles medidos a una sola altura y el ajuste que proviene de los 10 árboles medidos a diferentes alturas analizados anteriormente muestran grandes diferencias (figura 19). La edad calculada para este caso, en comparación con la encontrada anteriormente (figura 18), se encuentra por debajo del valor obtenido, ya que para un árbol de 80 cm de diámetro se obtuvo una edad de 170 años con un incremento anual de 0.5 cm (80 / 170).

Los intervalos de confianza se obtuvieron con la fórmula utilizada anteriormente para el análisis de los 10 árboles:

$$\text{LNRG} = \text{LOG} (a * 1.03347 / (1 / (1 - (\text{DIA} / 532.51) (1 / 1.03347)) - 1))$$

Donde los parámetros a y DIA se calcularon de los datos de los 90 árboles que se muestran en la tabla 21. Los parámetros de b (1.03347) y D_m (532.51) se obtuvieron de los datos de los 10 árboles medidos a diferentes alturas que se muestran en la tabla 17 y que también se utilizaron anteriormente.

Como se menciono anteriormente, los datos para calcular a , b y D_m de los 90 árboles se muestran en la tabla 21 y fueron tomados de los cálculos realizados en el apéndice F. La primer columna muestra el número de medidas realizadas en un año, la segunda indica el diámetro calculado en 1997, la tercera columna es el incremento ajustado a un año (365 días) y la última columna muestra el logaritmo del crecimiento relativo.

TABLA 20. Calculo de los parámetros estimados para el modelo BRC utilizados para estimar la edad de 90 individuos.

Promedio D_M (cm)	1945.9
Promedio a (1 /año)	0.00012799
Promedio b	2.32756971
R² original	0.12178732
Límite inferior D_M (cm)	1510.4
Límite inferior a (1 /año)	0.00109443
Límite inferior b	1.72803204
R²	0.99988964
Límite superior D_M (cm)	2575.5
Límite superior a (1 /año)	0.00182151
Límite superior b	5.04863487
R²	0.99980323

TABLA 21. Datos de entrada para Systat 6.0 de las medidas del diámetro realizadas en 90 árboles de *Guarea grandifolia* en un año.

MEDIDAS	DIAMETRO (1997-1998)	INCREMENTO AJUSTADO (365 DÍAS)	LN CRECIMIENTO RELATIVO
1	7.50	0.30	-3.1706
2	7.50	0.30	-3.3083
3	8.40	0.10	-4.3894
4	9.50	0.30	-3.5579
5	10.30	0.50	-3.1064
6	11.50	0.20	-3.9972
7	11.80	0.50	-3.1563
8	12.10	0.10	-4.4133
9	14.50	0.40	-3.5832
10	15.10	0.40	-3.6061
11	15.40	0.90	-2.8896
12	17.50	0.50	-3.5119
13	17.50	0.10	-4.7777
14	18.10	0.70	-3.2936
15	19.10	0.20	-4.6170
16	19.90	0.20	-4.4589
17	20.50	0.50	-3.6248
18	20.50	0.10	-5.2753
19	20.70	0.40	-3.9534
20	21.00	1.10	-2.9939
21	21.20	0.30	-4.4340
22	21.60	0.70	-3.4392

23	22.10	1.50	-2.7235
24	22.30	1.10	-2.9999
25	22.90	0.20	-4.6921
26	22.90	0.30	-4.3073
27	24.80	0.50	-3.8221
28	25.60	0.30	-4.5414
29	26.10	0.50	-3.8667
30	26.10	0.10	-5.5153
31	27.10	0.30	-4.5939
32	27.40	0.60	-3.7694
33	27.40	0.40	-4.2316
34	28.60	1.20	-3.1979
35	29.10	0.10	-5.4408
36	29.40	0.50	-4.0300
37	29.40	0.30	-4.6062
38	29.80	0.20	-4.9515
39	30.20	1.00	-3.3989
40	32.10	0.70	-3.8068
41	32.30	1.00	-3.4861
42	32.30	0.50	-4.2453
43	33.10	0.30	-4.6598
44	33.90	0.90	-3.6762
45	33.90	0.30	-4.9049
46	34.10	0.30	-4.6828
47	34.40	0.50	-4.3073
48	34.40	0.60	-3.9698
49	34.90	0.70	-3.8568
50	36.90	0.20	-5.0792
51	37.60	0.30	-4.8479
52	40.10	0.30	-4.8445
53	40.40	0.20	-5.2651
54	41.20	0.90	-3.8313
55	42.00	0.30	-4.8964
56	42.70	0.40	-4.6696
57	43.10	0.20	-5.3226
58	44.90	1.20	-3.6415
59	45.40	0.20	-5.4765
60	45.80	0.20	-5.4689
61	45.80	0.10	-5.7401
62	46.20	1.00	-3.8218
63	46.20	0.50	-4.4367
64	47.90	0.80	-4.0944
65	48.50	0.90	-3.9858
66	48.70	0.90	-3.9873
67	51.60	0.40	-4.8081
68	52.50	0.80	-4.1333
69	53.00	0.60	-4.5390
70	53.60	0.50	-4.6243
71	53.80	1.20	-3.8442
72	55.70	0.30	-5.1748
73	58.10	1.80	-3.4678
74	58.90	1.10	-3.9872
75	59.40	0.60	-4.6488

76	59.50	0.30	-5.2411
77	62.40	0.80	-4.3073
78	62.50	1.70	-3.6024
79	63.00	0.30	-5.3673
80	66.00	0.60	-4.7246
81	67.20	0.90	-4.2669
82	69.20	1.60	-3.7417
83	69.40	1.40	-3.9033
84	69.70	1.20	-4.0800
85	73.80	2.60	-3.3347
86	74.30	0.80	-4.5373
87	78.80	0.60	-4.8264
88	81.20	0.60	-4.8289

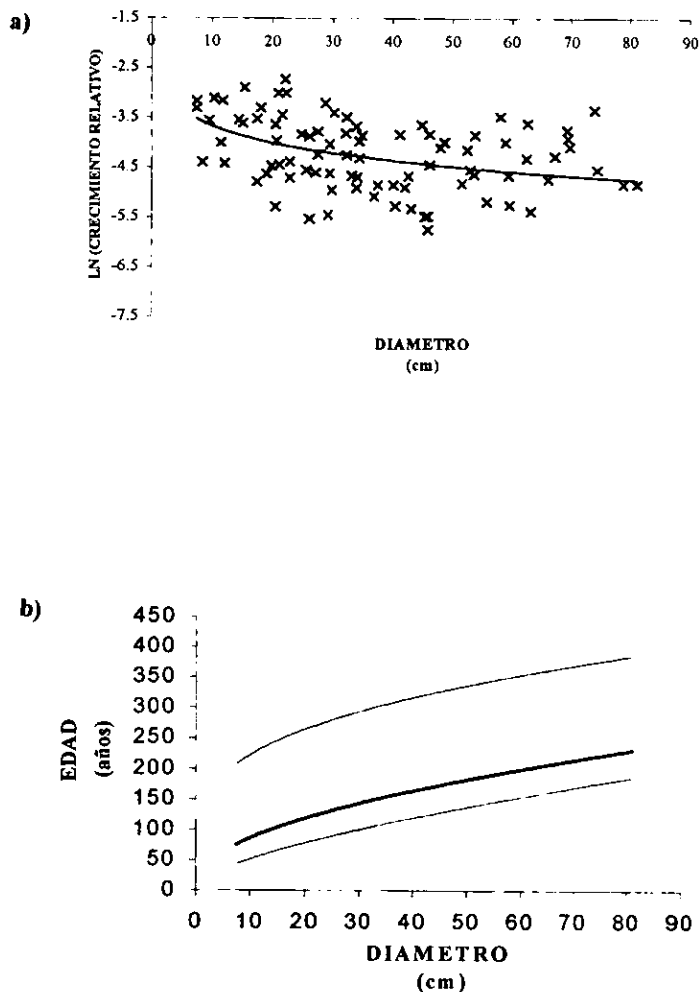


FIGURA 18. a) Logaritmo del crecimiento relativo en dependencia al diámetro troncal medido a una sola altura para el inventario de 90 árboles de *Guarea grandifolia* y b) la edad derivada de esta relación con el intervalo de confianza durante un año de estudio.

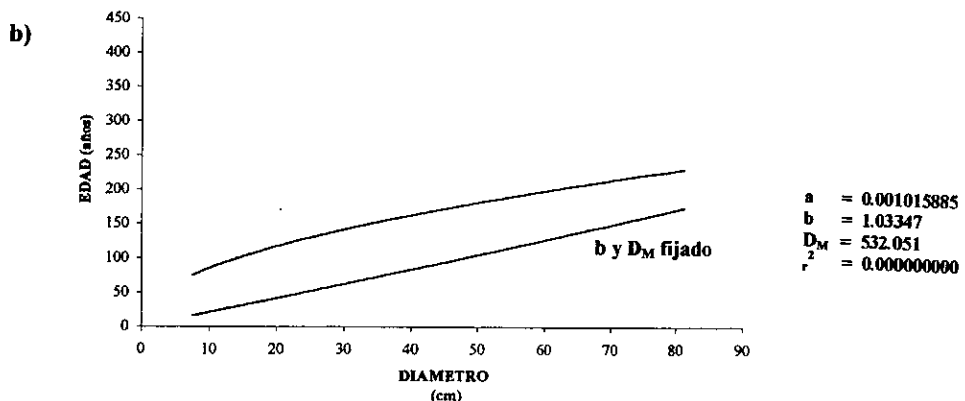
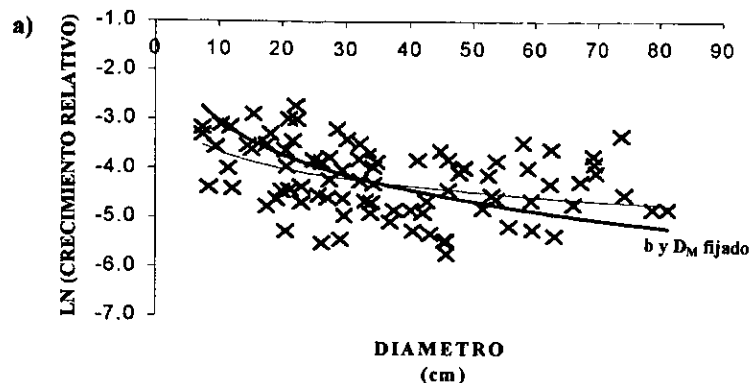


FIGURA 19. a) Logaritmo del crecimiento relativo en dependencia del diámetro troncal y b) la edad derivada de esta relación para 90 árboles de *Guarea grandifolia* medidos durante un año de estudio a una sola altura. Los parámetros b y D_M al ajustar solamente a proviene de los 10 árboles analizados anteriormente (figura 16).

VIII. DISCUSIÓN

El análisis del incremento del diámetro medido a diferentes alturas en los 10 árboles de *Guarea grandifolia* demostró que no todos los árboles crecen con la misma rapidez, aun cuando se encuentren localizados dentro de un área de aproximadamente 1.5 hectáreas. Esto se debe a la existencia de factores que afectan la tasa de crecimiento de los árboles individuales, tales como el espacio para crecer, la disponibilidad de luz y agua, la temperatura, además de la edad y las diferencias genéticas, entre otros (Williams-Linera, 1996). Esto se corrobora en las diferencias en el promedio del incremento anual durante los dos años de estudio (tabla 1). Con el "Análisis de varianza" o "ANOVA" realizado para el promedio del incremento anual en diámetro de los 10 árboles medidos abajo y arriba en el tronco (tabla 3), se concluye que existen diferencias significativas en los incrementos obtenidos entre los árboles y entre los años, pero no entre diferentes alturas (tabla 4).

El análisis del diámetro de vasos de la madera para buscar la presencia de anillos de crecimiento en 5 árboles de *Guarea grandifolia* comprueba que estos árboles tropicales no presentan anillos de crecimiento distinguibles, aún cuando se les busca microscópicamente (figura 11). Con el "análisis de varianza" o "ANOVA" anidado se confirma que la varianza del diámetro de vasos medidos entre árboles fue altamente significativa en comparación con lo que se obtuvo analizando los datos dentro de los árboles (tabla 10), por lo que existe mayor variación en este último análisis (tabla 11). Esta variación entre los árboles quizás se deba a que varía el crecimiento en la zona del cámium, que se ve influenciada por la distribución de las lluvias y los eventos fenológicos como la caída de las hojas, floración y fructificación (Hazlett, 1987).

Al determinar las diferencias de la densidad de la madera entre los 10 árboles de *Guarea grandifolia* se encuentra que si existe variación entre los árboles dentro del sitio de estudio (tabla 15, figura 13). Con el "Análisis de varianza" o "ANOVA" realizado confirma lo anterior concluyendo que existen diferencias significativas en la densidad entre árboles, pero no entre los lados norte y sur, de un mismo individuo (tabla 14). Con el coeficiente de

correlación de Pearson se encuentra que la relación del promedio del incremento del diámetro y la densidad son significativas para 8 árboles, quedándose fuera del patrón 2 árboles (#6 y #7) (tabla 16, figura 14), por lo que se concluye que esta relación no es tan confiable para sustituir mediciones de incrementos por mediciones de densidades. Barajas-Morales (1987), menciona que las diferencias de la madera entre árboles se deben a la diferente porosidad que presenta la madera. Esto se correlaciona con la humedad del lugar más que con el incremento en diámetro, y además menciona que a mayor gravedad específica decrece la humedad. Aunque al observar las preparaciones en el microscopio la porosidad de la madera no se muestra tan variable porque el diámetro de vasos realizado anteriormente se presenta en forma homogénea. Los resultados obtenidos en el "análisis de varianza" o "ANOVA" (tabla 14) demuestran que la densidad es significativa entre los árboles. Por lo que en este caso, la mayoría de los árboles se encuentran en lugares húmedos (figura 15).

La edad estimada para los 10 árboles tomando en cuenta el promedio del incremento anual en diámetro obtenido a diferentes alturas en comparación con la edad estimada para el año 1 y 2 muestran edades con una intervalo muy grande de diferencias (figura 16 y 17). Esta variación es muy grande, por lo que es recomendable medir los árboles a diferentes alturas en años continuos, que dejar de medir los árboles por algún tiempo. La edad estimada para los 90 árboles con los diámetros medidos a una sola altura durante un año varía con la edad calculada con los parámetros b y D_M , ya que la edad calculada con estos parámetros disminuye (figura 18 y 19). Al comparar los parámetros entre los dos grupos de árboles (10 y 90), se demuestra que es mejor medir con exactitud el incremento del diámetro de un grupo de 10 árboles midiéndolos a diferentes alturas para derivar los parámetros b y D_M para la especie (forma de crecimiento). Luego se puede determinar exclusivamente a (velocidad de crecimiento) para otro grupo de árboles de la misma especie.

En general el promedio del incremento anual calculado para el grupo de 10 y 90 árboles se considera bastante variable. Ya que para el grupo de 10 árboles en los dos años de estudio se encontró un intervalo de 0.03 a 1.59 cm/año, mientras que para el grupo de 90

árboles el intervalo encontrado fue de 0.2 a 2.6 cm/año Estos resultados no concuerdan con los resultados obtenidos en la selva tropical húmeda de Barro Colorado (Panamá) donde se ha calculado que el crecimiento presenta un intervalo de < 0.01 a 1.5 cm/año (Lang y Knight, 1983). En un manglar de Malasia, el crecimiento en diámetro de las especies principales varía entre 0.22 y 0.51 cm/año (Putz y Chan, 1986) y en bosques lluviosos el diámetro varía entre 0.25 a 0.31 cm/año (Rai y Proctor, 1986). Los resultados no concuerdan probablemente por la diferencia del lugar, ya que el sitio de estudio es la selva alta perennifolia de los Tuxtlas en Veracruz.

IX. CONCLUSIONES

- El análisis del incremento medido a diferentes alturas en el inventario de 10 árboles, demostró diferencias en cuanto al crecimiento.
- En el análisis del diámetro de vasos no fue posible distinguir anillos anuales de crecimiento debido a que el tamaño de los vasos se presenta en las preparaciones en forma homogénea, por lo que es imposible inferir los incrementos del pasado y habría que medir los incrementos anuales a lo largo del estudio (un año o más).
- Al tratar de inferir el incremento anual por la densidad de la madera por el método de gravedad específica, sólo en 8 árboles existió una correlación altamente significativa y 2 no siguen el patrón general, así que la relación no es generalmente 100% confiable, considerándose confiable solo en un 80% para sustituir mediciones de incrementos por densidades.
- El modelaje de crecimiento Bertalanffy-Richards-Chapman (BRC) sirvió para estimar las edades de los árboles en la selva de Los Tuxtlas en base de su incremento anual se calculó que el árbol más grande de *Guarea grandifolia*, con un diámetro de 80 cm tiene entre 185 a 385 años.
- El análisis de crecimiento demostró que es válido medir un grupo pequeño de 10 árboles a diferentes alturas para derivar los parámetros b y D_M y después derivar solamente a para un grupo de árboles más grande y determinar así la forma de la curva de crecimiento.
- Este trabajo se considera 100% representativo para la especie de *Guarea grandifolia* A. DC. Ya que aspectos anatómicos y matemáticos para calcular edad. Por lo que se sugiere realizar un estudio de esta especie en diferentes localidades y comparar la variación que pueda existir en los resultados.

X. BIBLIOGRAFIA

- Barajas-Morales, J. 1987. Wood specific gravity in species from two tropical forests in Mexico. IAWA Bulletin n.s. 8(2):143-148.
- Bredenkamp, B.V. y Gregoire G.T. 1988. A forestry application of Schnute's generalized growth function. In: Ricker, M. 1999. Tree age estimation with the Bertalanffy-Richards-Chapman (BRC) model. In review by Forest Science.
- Castelan, S. L. 1992. Anatomia de la madera y corteza de *Salacia megistophylla* de la región de Los Tuxtlas, Veracruz. Tesis. Escuela Nacional de Estudios Profesionales-Iztacala.
- Condit, R., Hubbell, S. P. y Foster, R.B. 1995. Mortality rates of 205 neotropical tree and shrub species and the impact of a severe drought. Ecol. Monogr. (65):419-439.
- Coster, C. (1927). Zur Anatomie und Physiologie der Zuwachszenen und Jahresringbildung in der Tropen. Ann. Jard. Bot. Buitenz. 37:49-161.
- Coster, C. (1928). Zur Anatomie und Physiologie der Zuwachszenen und Jahresringbildung in der Tropen II. Ann. Jard. Bot. Buitenzorg, 38:1-114.
- Chapman, D. G. 1961. Statistical problems in dynamics of exploited fisheries populations. In: Ricker, M. 1999. Tree age estimation with the Bertalanffy-Richards-Chapman (BRC) model. In review by Forest Science.
- Chowdhury, K.A. 1939. The formation of growth rings in Indian trees. In: Killman W.y Hong, L.T. 1995. The periodicity of growth in tropical trees with special reference to Dipterocarpaceae- A Review. IAWA Journal, 16(4):329-335.

Dave, Y. S. y Rao, S. K. 1982. Cambial activity in *Manifera indica*. L. Acta Bot. Acad. Sci. Hung. 28:73-79.

Dirzo, R. y García, M. A. 1992. Rates of deforestation in Los Tuxtlas, a Neotropical area in Southeast México. Conservation Biol. 6:84-90.

Dirzo, R., González, E. y Vogt, C. R. 1997. Historia Natural de Los Tuxtlas. Instituto de Biología e Instituto de Ecología. UNAM. México.

Fahn, A. 1982. Plant Anatomy. 3ra. ed. Pergamon Press Oxford.

García, E. 1981. Modificaciones al sistema de Koeppen para adaptarlo a las condiciones de la República Mexicana. 3ra. ed. UNAM.

Hazlett, D. L. 1987. Seasonal cambial activity for *Pentaclethra*, *Goelthalsia* y *Carapa* trees in a Costa Rican Lowland forest. Biotropica 19:357-630.

Ibarra-Manríquez, G. 1985. Estudios preliminares sobre la flora leñosa de la estación de biología Tropical "Los Tuxtlas", Veracruz. Tesis. Fac. de Ciencias. UNAM.

Ibarra-Manríquez y Sinaca-Colín, S. 1989. Listados florísticos de México VII. Estación de Biología Tropical Los Tuxtlas. Instituto de Biología. UNAM. México. 51 pp.

Jacoby, C. G. 1989. Overview of tree-ring analysis in tropical regions. IAWA Bulletin n.s. 10:99-108.

Killman, W y Hong, L. Th. 1995. The periodicity of growth in tropical trees with special reference to Dipterocarpaceae-A Review. IAWA Journal 16(4):329-335.

Kuroda, K. y Shimaji, K. 1983. Traumatic resin canal formation as a marker of xylem growth. For. Sci. 29:653-659.

Kuroda, K. y Shimaji, K. 1984 a. The pinning method for marking growth in hard-wood species. *Forest. Sci.* 30:548-554.

Kuroda, K. y Shimaji, K. 1984 b. Wound effects on xylem cell differentiation in a conifer. *IAWA Bull* n.s. 5:295-305.

Kuroda, K. y Kiyono, Y. 1997. Seasonal rhythms of xylem growth measured by the wounding method and a with a band-dendrometer: an instance of *Chamaecyparis obtusa*. *IAWA Journal* 18(3):291-299.

Lang, G. E. y Knight, H.D. 1983. Tree growth, mortality recruitment and canopy gap formation during a 10-year period in a tropical moist forest. *Ecology* 64(5):1075-1080.

Lieberman, D. y Lieberman, M. 1985. Simulation of growth curves from periodic increment data. *Ecology* (66):632-635.

Manly, B.F.J. 1997. Randomization, bootstrap and Monte Carlo methods in biology. Chapman & Hall, London. U.K. 399 p.

Mariaux, A. 1967-1968. Les cernes dans les bois tropicaux africains, nature et périodicité Bois et forêts des tropiques. In: Worbes, M. 1995. How to measure growth dynamics in tropical trees a review. *IAWA Journal* 16:337-351.

Mariaux, A. 1969. La périodicité des cernes dans le bois de limba. Bois et Forêts des Tropiques. In: Killman W.y Hong, L.T. 1995. The periodicity of growth in tropical trees with special reference to Dipterocarpaceae- A Review. *IAWA Journal*, 16(4):329-335.

- Mariaux, A. 1970. La périodicité de formation des cernes dans le bois de l'oKomé. Bois et Forêts de Tropiques. In: Killman W.y Hong, L.T. 1995. The periodicity of growth in tropical trees with special reference to Dipterocarpaceae- A Review. IAWA Journal, 16(4):329-335.
- Mariaux, A. 1977. Nature et périodicité des cernes dans les bois rouge de Méliacées africaines.In: Killman W.y Hong, L.T. 1995. The periodicity of growth in tropical trees with special reference to Dipterocarpaceae- A Review. IAWA Journal, 16(4):329-335.
- Mariaux, A. 1981. Past efforts in measuring age and annual growth in tropical trees. In: Killman W.y Hong, L.T. 1995. The periodicity of growth in tropical trees with special reference to Dipterocarpaceae- A Review. IAWA Journal, 16(4):329-335.
- Martínez-Ramos, M. y Alvarez-Buylla, E. 1995. Ecología de poblaciones de plantas en una selva húmeda de México. Bol. Soc. Bot. Méx. 56:121-153.
- Martínez-Ramos y Alvarez-Buylla, E. 1998. How old are tropical rain forest trees?. Trends in plant science. 3(10):400-405.
- McKenzie, T.A. 1972. Observations on growth and a technique for estimating annual growth in *Prioria copaifera*. In: Killman W.y Hong, L.T. 1995. The periodicity of growth in tropical trees with special reference to Dipterocarpaceae- A Review. IAWA Journal, 16(4):329-335.
- Miranda, F. Y Hernández, E. (1963). Los tipos de vegetación de México y su clasificación.Bol. Soc. Bot. Méx. 28:29-1279.
- Nakamura, T., Nakai, N., Kimura, M., Ohishi, S., Hatton, Y.y Kikati, Y. 1987. Variations in ¹⁴C concentrations of tree rings (1945-1983). Geochemistry 21:7-12.

Nobuchi, T., Ogata, V y Siripatanadilok, S.1995. Seasonal characteristics of wood formation in *Hopea odorata* y *Shorea henryana*. IAWA Journal 16:361-369.

Norton, A., Palmer, J. y Ogden, J. (1987). Dendroecological studies in New Zealand. Y. An evaluation of tree age estimates based on increment cores. New Zealand. J. Bot. 25:373-383.

Nydal, R. y Lövseth, K. 1983. Tracing bomb ^{14}C in the atmosphere 1962-1980. J. Geophys. Res. 88:3621-3642.

O'Neill, R. 1986. Function minimization using a simplex procedure. In: Ricker, M. 1999. Tree age estimation with the Bertalanffy-Richards-Chapman (BRC) model. In review by Forest Science.

Ortega, F., Castillo, I. y Carmona, T. 1991. Anatomía de la madera de veintiseis especies de la Selva Lacandona, Chiapas. La Madera y su Uso. Instituto de Ecología, A.C.

Oyama, K. 1993. Are age an height correlated in palm *Chamaedorea tepejilote* (Palmae)? J.Trop.Ecol. (9):381-385.

Paliwal, G.S. y Prasad, N. 1970. Seasonal activity of cámium in some tropical trees. I. *Dalbergia sissoo*. In: Killman W.y Hong, L.T. 1995. The periodicity of growth in tropical trees with special reference to Dipterocarpaceae- A Review. IAWA Journal, 16(4):329-335.

Pennington, D. 1981. Flora Neotropica. Monograph number 28. Meliaceae. Organization for flora Neotropica. The New York Botanical Garden. New York.

Pienaar, L. V. y Turnbull J. K. 1973. The Chapman-Richards generalization of Von Bertalanffy's growth model for basal area growth and yield in evn-aged stands. In:

Ricker, M. 1999. Tree age estimation with the Bertalanffy-Richards-Chapman (BRC) model. In review by Forest Science.

Putz, F.E y Chan, T. H. 1986. Tree growth, dynamics, and productivity in a mature mangrove forest in Malaysia. For. Ecol. Manag. 17(2-3):211-230.

Rai, S.N. y Proctor, J. 1986. Ecological studies on four rainforests in Karnataka, India J. Ecol. 74(2):439-454.

Rao, S. K. and Dave, S. Y. (1981). Seasonal variations in the cambial anatomy of *Tectona grandis* (Verbenacea) Nord. J. Bot. 1:in press.

Roth, I. 1981. Structural patterns of tropical barks. Encycl. Plant Anat. Vol. IX, part 3 Gerbruder Borntraeger, Berlin 609 p.

Richards, F.J. 1959. A flexible growth function for empirical use. In: Ricker, M. 1999. Tree age estimation with the Bertalanffy-Richards-Chapman (BRC) model. In review by Forest Science.

Ricker, M. 1998. Enriching the Tropical Rain Forest with Native Fruit Trees: A Biological and Economic Analysis in Los Tuxtlas (Veracruz, México). Ph. D. Thesis School of Forestry and Environmental Studies and Graduate School, Yale University, New Haven, Connecticut, Estados Unidos.

Sass, U., Killman, W. y Eckstein, D. 1995. Wood formation in two species of Dipterocarpaceae in Peninsular Malaysia. IAWA Journal. 16(4):371-384.

Schweingruber, F. H., Eckstein, D., Serre-Bachet, F. y Bräker, U. O. 1990. Identification, presentation and interpretation of event years in dendrochronology. Dendrochronologia. 8:9-39.

Shimaji, K. y Nagatsuka, Y. 1971. Pursuit of the time sequence of annual ring formation in Japanese fir (*Abies firma* Sieb. et Zucc.) J. Jap. Wood Res. 17:122-128.

Shiokura, T. 1989. A method to measure radial increment in tropical trees. IAWA Bull n.s. 10:147-154.

Sokal, R.R. y Rohlf, F.J. 1995. Statistical Tables. W.H. Freeman and Company, New York, EUA. 199 pp.

Solis, A. P. 1992. Descripción anatómica del xilema secundario de 22 especies arbóreas de Los Tuxtlas, Veracruz. Tesis. Fac. de Ciencias. UNAM.

Tomlinson, P.B. y Craighead, C.F. 1972. Growth-ring studies on the native trees of subtropical Florida. In: Killman W.y Hong, L.T. 1995. The periodicity of growth in tropical trees with special reference to Dipterocarpaceae- A Review. IAWA Journal, 16(4):329-335.

Tschinkel, H. M. 1966. Annual growth rings in *Cordia alliodora*. In: Worbes, M. 1995. How to measure growth dynamics in tropical trees a review. IAWA Journal 16:337-351.

Venugopal, N. y Krishnamurthy, 1987. Seasonal production of secondary xylem in the twigs of certain tropical trees. IAWA Bull. n.s. 8:31-40.

Von Bertalanffy, L. 1957. Quantitative laws in metabolism and growth. In: Ricker, M. 1999. Tree age estimation with the Bertalanffy-Richards-Chapman (BRC) model. In review by Forest Science.

Williams-Linera, G. 1996. Crecimiento diamétrico de árboles caducifolios y perennifolios del bosque mesófilo de montaña en los alrededores de Xalapa. Madera y Bosques. 2(2):53-65.

- Wolter, K. E. 1968. A new method for marking xylem growth. *For. Sci.* 14:102-104.
- Worbes, M. 1985. Structural and other adaptations to long-term flooding by trees in Central Amazonia. *Amazoniana*. 9:459-484.
- Worbes, M. 1989. Growth rings, increment and age of trees in inundations forests, savannas and mountain forests in the neotropics. *IAWA Bull. n.s.* 10:109-122.
- Worbes, M. and Junk, W. J. 1989. Dating tropical trees by means of C14 from bomb tests. *Ecology* 70:503-507.
- Worbes, M. 1995. How to measure growth dynamics in tropical trees a review. *IAWA Journal* 16:337-351.
- Worbes, M. 1996. The forest ecosystems of Amazonian floodplains. Y. Floristic, structure and ecophysiology. *Ecol. Studies*. Springer. New York.
- Yoshimura, K., Hayashi, S., Itoh, T., Shimaji, K. (1981 a). Studies on the improvement of the pinning method for marking xylem growth. Y. Minute examination of pin marks in *Taeda pine* y other species. *Wood Res.* 67:1-16.
- Yoshimura, K., Itoh, T.y Shimaji, K. (1981 b). Studies on the improvement of the pinning method for marking xylem growth II. Pursuit of the time sequence of abnormal tissue formation in loblolly pine. *Mokuzai Gakkaishi* 27:755-760.
- Zeide, B. 1989. Accuracy of equations describing diameter growth. In: Ricker, M. 1999. Tree age estimation with the Bertalanffy-Richards-Chapman (BRC) model. In review by Forest Science.

XI. APENDICE

A. Cálculo del promedio obtenido del perímetro (P) y la altura (H) de los 10 árboles de *Guarea grandifolia* A. DC.

ÁRBOL #1	MEDICIÓN 1995 (cm)			PROMEDIO	MEDICIÓN 1996 (cm)			PROMEDIO	MEDICIÓN 1998 (cm)			PROMEDIO
	1 ^a .	2 ^a .	3 ^a .		1 ^a .	2 ^a .	3 ^a .		1 ^a .	2 ^a .	3 ^a .	
P=	72.2	72.0	72.0	72.1	72.5	74.0	73.2	73.2	73.0	73.0	73.1	73.0
H=				96.0				96.0				96.0
P=	75.0	74.9	75.0	74.9	75.7	76.0	75.7	75.8	76.0	76.2	76.1	76.1
H=				64.7				64.7				64.7
P=	74.6	74.4	74.6	74.5	75.4	75.0	75.6	75.3	76.3	76.1	76.0	76.1
H=				61.6				61.6				61.6
P=	75.9	75.8	76.2	76.0	77.0	77.1	77.1	77.1	77.7	77.5	77.6	77.6
H=				101.0				101.0				101.0
P=	79.0	79.8	78.8	79.2	79.5	79.5	79.4	79.3	80.4	80.3	80.4	80.4
H=				129.1				129.1				129.1
P=	84.0	83.6	83.8	83.8	84.6	84.8	84.5	84.6	85.3	85.2	85.3	85.3
H=				152.0				152.0				152.0
P=	89.6	89.2	89.2	89.3	89.9	90.2	90.6	90.2	90.9	90.6	90.7	90.7
H=				126.5				126.5				126.5
P=	100.0	100.8	101.0	100.6	101.2	101.6	101.4	101.4	101.9	101.1	101.4	101.5

ÁRBOL #2	MEDICIÓN 1995 (cm)			PROMEDIO	MEDICIÓN 1996 (cm)			PROMEDIO	MEDICIÓN 1998 (cm)			PROMEDIO
	1 ^a .	2 ^a .	3 ^a .		1 ^a .	2 ^a .	3 ^a .		1 ^a .	2 ^a .	3 ^a .	
P=	196.0	195.4	194.0	195.1	193.8	193.8	194.6	194.1	194.7	194.9	194.7	194.8
H=				150.0				150.0				150.0
P=	188.6	188.8	189.0	188.8	190.0	189.6	189.4	189.7	189.8	189.5	189.5	189.6
H=				160.0				160.0				160.0
P=	190.0	190.4	191.0	190.5	191.3	191.4	191.2	191.3	191.8	192.0	192.1	192.0
H=				165.0				165.0				165.0
P=	199.0	198.0	197.6	198.2	198.4	198.5	199.4	198.8	199.2	199.3	199.0	199.2
H=				227.0				227.0				227.0
P=	228.0	227.8	227.6	227.8	230.0	230.5	229.8	230.1	236.8	236.8	237.5	237.0

ÁRBOL # 3	MEDICIÓN 1995 (cm)			PROMEDIO	MEDICIÓN 1996 (cm)			PROMEDIO	MEDICIÓN 1998 (cm)			PROMEDIO
	1 ^a .	2 ^a .	3 ^a .		1 ^a .	2 ^a .	3 ^a .		1 ^a .	2 ^a .	3 ^a .	
P=	24.6	24.4	24.5	24.5	25.6	25.8	25.6	25.7	27.1	27.0	27.0	27.0
H=				84.0				84.0				84.0
P=	26.0	26.2	25.8	26.0	27.8	27.8	27.7	27.8	26.4	26.2	26.4	26.3
H=				73.0				73.0				73.0
P=	26.1	25.8	25.8	25.9	27.0	26.9	27.0	27.0	28.4	28.4	28.4	28.4
H=				115.0				115.0				115.0
P=	30.6	29.4	29.5	29.8	30.6	30.5	30.5	30.5	33.0	32.9	33.0	33.0
H=				127.0				127.0				127.0
P=	35.7	36.4	36.0	36.1	37.1	37.0	37.8	37.3	38.5	38.8	38.8	38.7

ÁRBOL # 4	MEDICIÓN 1995 (cm)			PROMEDIO	MEDICIÓN 1996 (cm)			PROMEDIO	MEDICIÓN 1998 (cm)			PROMEDIO
	1 ^a .	2 ^a .	3 ^a .		1 ^a .	2 ^a .	3 ^a .		1 ^a .	2 ^a .	3 ^a .	
P=	161.6	162.8	162.5	162.3	163.6	163.4	163.8	163.6	164.8	164.8	164.9	164.8
H=				195.2				195.2				195.2
P=	169.2	170.0	169.3	169.5	169.6	169.5	169.5	169.7	171.3	171.3	171.4	171.3
H=				200.0				200.0				200.0
P=	176.0	176.4	176.6	176.3	174.1	174.4	174.7	174.4	175.3	175.2	175.5	175.3
H=				152.1				152.1				152.1
P=	180.6	180.3	180.0	180.3	183.0	182.0	182.0	181.2	182.4	182.4	182.5	182.4
H=				250.0				250.0				250.0
P=	238.6	237.0	236.6	237.4	236.9	237.0	237.1	237.0	262.0	262.5	262.4	262.3

ÁRBOL # 5	MEDICIÓN 1995 (cm)			PROMEDIO	MEDICIÓN 1996 (cm)			PROMEDIO	MEDICIÓN 1998 (cm)			PROMEDIO
	1 ^a .	2 ^a .	3 ^a .		1 ^a .	2 ^a .	3 ^a .		1 ^a .	2 ^a .	3 ^a .	
P=	189.2	189.0	188.8	189.0	189.4	189.4	189.8	189.5	189.4	189.3	189.6	189.4
H=				105.0				105.0				105.0
P=	190.0	188.6	188.2	188.9	188.4	188.4	188.4	188.4	194.5	194.3	194.4	194.4
H=				115.4				115.4				115.4
P=	184.0	183.3	183.4	183.6	184.2	185.2	184.8	184.7	185.5	186.0	186.3	185.9
H=				210.0				210.0				210.0
P=	201.5	202.5	201.2	202.0	201.8	201.3		201.7	202.6	202.4	202.6	202.5
H=				267.0				267.0				267.0
P=	260.5	255.8	255.6	257.3	258.2	258.4	258.6	258.4	287.6	287.5	287.6	287.6

ÁRBOL # 6	MEDICIÓN 1995 (cm)			PROMEDIO	MEDICIÓN 1996 (cm)			PROMEDIO	MEDICIÓN 1998 (cm)			PROMEDIO
	1 ^a .	2 ^a .	3 ^a .		1 ^a .	2 ^a .	3 ^a .		1 ^a .	2 ^a .	3 ^a .	
P=	66.0	65.8	65.9	65.9	67.5	67.7	67.6	67.6	68.6	68.5	68.6	68.6
H=				93.1				93.1				93.1
P=	71.0	71.2	70.9	71.0	72.7	72.5	72.4	72.5	73.7	73.8	73.7	73.7
H=				63.0				63.0				63.0
P=	70.8	71.2	70.8	70.9	73.0	72.8	72.9	72.9	74.4	74.7	74.7	74.6
H=				140.0				140.0				140.0
P=	75.2	75.0	75.8	75.3	77.2	77.0	77.3	77.2	78.5	78.2	78.2	78.3
H=				155.5				155.5				155.5
P=	79.3	79.1	79.2	79.2	80.8	80.8	80.6	80.7	82.2	82.4	82.3	82.3
H=				131.0				131.0				131.0
P=	86.6	87.2	87.0	86.9	88.9	88.2	88.2	88.4	90.1	90.1	90.3	90.1
H=				90.0				90.0				90.0
P=	103.0	102.0	102.2	102.4	105.4	104.4	104.4	104.7	105.5	105.5	105.5	105.5

ÁRBOL # 7	MEDICIÓN 1995 (cm)			PROMEDIO	MEDICIÓN 1996 (cm)			PROMEDIO	MEDICIÓN 1998 (cm)			PROMEDIO
	1 ^a .	2 ^a .	3 ^a .		1 ^a .	2 ^a .	3 ^a .		1 ^a .	2 ^a .	3 ^a .	
P=	51.0	51.2	50.8	51.0	54.8	54.6	54.9	54.8	58.4	58.4	58.3	58.4
H=				156.1				156.1				156.1
P=	57.3	57.4	57.1	57.3	60.6	60.4	60.6	60.5	63.8	63.9	63.0	63.6
H=				143.1				143.1				143.1
P=	60.6	60.3	60.4	60.4	63.4	63.6	63.2	63.4	67.3	67.4	67.3	67.3
H=				224.2				224.2				224.2
P=	79.0	77.8	78.0	78.3	79.8	79.6	79.8	79.7	84.5	83.8	83.5	83.9

ÁRBOL # 8	MEDICIÓN 1995 (cm)			PROMEDIO	MEDICIÓN 1996 (cm)			PROMEDIO	MEDICIÓN 1998 (cm)			PROMEDIO
	1 ^a .	2 ^a .	3 ^a .		1 ^a .	2 ^a .	3 ^a .		1 ^a .	2 ^a .	3 ^a .	
P=	58.0	57.8	58.0	57.9	59.1	58.8	59.1	59.0	59.1	58.9	59.0	59.0
H=				127.1				127.1				127.1
P=	57.0	57.1	57.0	57.0	58.0	58.4	58.2	58.2	58.4	58.4	58.3	58.4
H=				130.1				130.1				130.1
P=	60.0	58.8	59.0	58.6	59.5	59.6	59.8	59.6	59.6	59.6	59.6	59.6
H=				62.2				62.2				62.2
P=	60.7	60.8	60.7	60.7	61.6	61.6	61.6	61.6	62.1	62.0	62.0	62.0
H=				114.0				114.0				114.0
P=	67.2	66.4	67.0	66.9	67.0	67.0	67.1	67.0	67.0	66.8	66.8	66.9

ÁRBOL # 9	MEDICIÓN 1995 (cm)			PROMEDIO	MEDICIÓN 1996 (cm)			PROMEDIO	MEDICIÓN 1998 (cm)			PROMEDIO
	1 ^a .	2 ^a .	3 ^a .		1 ^a .	2 ^a .	3 ^a .		1 ^a .	2 ^a .	3 ^a .	
P=	156.0	156.3	156.6	156.3	157.2	157.1	157.2	157.0	157.0	157.2	157.9	157.3
H=				232.2				232.2				232.2
P=	156.8	158.1	157.5	157.5	157.1	157.0	157.2	157.1	158.3	158.4	158.4	158.4
H=				199.9				199.9				199.9
P=	166.4	166.5	166.0	166.3	167.5	167.7	167.4	167.5	168.2	168.8	168.5	168.5
H=				174.2				174.2				174.2
P=	180.0	180.2	179.8	180.0	180.4	180.8	180.4	180.4	180.5	181.3	181.3	181.3
H=				135.1				135.1				135.1
P=	194.4	194.5	195.4	194.8	194.1	193.6	194.0	193.9	195.8	196.0	195.9	195.9
H=				174.0				174.0				174.0
P=	252.0	245.0	248.0	248.3	249.8	248.8	250.8	249.8	276.8	276.0	271.8	274.8

ÁRBOL # 10	MEDICIÓN 1995 (cm)			PROMEDIO	MEDICIÓN 1996 (cm)			PROMEDIO	MEDICIÓN 1998 (cm)			PROMEDIO
	1 ^a .	2 ^a .	3 ^a .		1 ^a .	2 ^a .	3 ^a .		1 ^a .	2 ^a .	3 ^a .	
P=	26.8	26.9	27.2	27.0	27.5	27.5	27.4	27.4	28.2	28.3	28.3	28.2
H=				126.6				126.6				126.6
P=	29.2	29.6	29.4	29.4	29.8	29.8	29.6	29.7	30.2	30.1	30.1	30.1
H=				200.6				200.6				200.6
P=	34.0	33.8	33.9	33.9	35.3	35.5	36.5	36.0	35.2	35.2	35.2	35.2
H=				129.8				129.8				129.8
P=	35.2	35.4	35.5	36.7	36.2	36.3	36.4	36.3	37.8	38.0	37.8	37.9
H=				47.6				47.6				47.6
P=	36.7	36.8	36.7	36.7	37.9	38.0	37.8	37.9	39.3	39.6	39.2	39.4
H=				50.0				50.0				50.0
P=	41.3	41.9	41.7	41.6	42.0	42.3	42.2	42.2	42.4	42.2	42.2	42.2

B. Cálculo del promedio del incremento en diámetro (D) obtenido en 10 árboles de *Guarea grandifolia*

A. DC. medidos a diferentes alturas (H).

ÁRBOL #1	ALTURA (cm)	DIÁMETRO 1995 (cm)	DIÁMETRO 1996 (cm)	INCREMENTO (367 DÍAS) 1995-1996 (cm)	DIÁMETRO 1998 (cm)	INCREMENTO (677 DÍAS) 1996-1998 (cm)	AJUSTE DE INCREMENTO (365 DÍAS 1996-1997) (cm)
D=		22.94	23.58	0.64	23.25		
H=	96.0						
D=		23.86	24.13	0.27	24.22	0.10	0.05
H=	64.7						
D=		23.72	23.98	0.25	24.23	0.25	0.14
H=	61.6						
D=		24.18	24.53	0.35	24.70	0.17	0.09
H=	101.0						
D=		25.21	25.50	0.08	25.58	0.29	0.15
H=	129.1						
D=		26.67	26.94	0.27	27.14	0.20	0.11
H=	152.0						
D=		28.44	28.72	0.29	28.88	0.16	0.09
H=	126.5						
D=		32.02	32.28	0.25	32.30	0.02	0.01
PROMEDIO		25.88	26.18	0.30	26.28	0.17	0.09

ÁRBOL #2	ALTURA (cm)	DIÁMETRO 1995 (cm)	DIÁMETRO 1996 (cm)	INCREMENTO (367 DÍAS) 1995-1996 (cm)	DIÁMETRO 1998 (cm)	INCREMENTO (677 DÍAS) 1996-1998 (cm)	AJUSTE INCREMENTO (365 DÍAS 1996-1997) (cm)
D=		62.11	61.77		62.00	0.22	0.12
H=	150.0						
D=		60.10	60.37	0.28	60.35		
H=	160.0						
D=		60.63	60.89	0.27	61.10	0.21	0.11
H=	165.0						
D=		63.09	63.27	0.18	63.40	0.13	0.07
H=	227.0						
D=		72.51	73.24	0.73	75.45	2.21	1.19
PROMEDIO		63.69	63.91	0.36	64.46	0.69	0.37

ÁRBOL #3	ALTURA (cm)	DIÁMETRO 1995 (cm)	DIÁMETRO 1996 (cm)	INCREMENTO (367 DÍAS) 1995-1996 (cm)	DIÁMETRO 1998 (cm)	INCREMENTO (677 DÍAS) 1996-1998 (cm)	AJUSTE INCREMENTO (365 DÍAS 1996-1997) (cm)
D=		7.80	8.17	0.37	8.60	0.44	0.23
H=	84.0						
D=		8.28	8.84	0.56	8.38		
H=	73.0						
D=		8.24	8.58	0.34	9.04	0.46	0.25
H=	115.0						
D=		9.50	9.72	0.22	10.49	0.77	0.42
H=	127.0						
D=		11.45	11.87	0.40	12.32	0.45	0.24
PROMEDIO		9.06	9.43	0.38	9.76	0.53	0.28

ÁRBOL #4	ALTURA (cm)	DIÁMETRO 1995 (cm)	DIÁMETRO 1996 (cm)	INCREMENTO (367 DÍAS) 1995-1996 (cm)	DIÁMETRO 1998 (cm)	INCREMENTO (677 DÍAS) 1996-1998 (cm)	AJUSTE DE INCREMENTO (365 DÍAS 1996-1997) (cm)
D=		51.66	52.08	0.41	52.47	0.39	0.21
H=	195.2						
D=		53.95	54.01	0.05	54.54	0.53	0.29
H=	200.0						
D=		56.13	55.51		55.81	0.30	0.16
H=	152.1						
D=		57.40	57.95	0.55	58.07	0.12	0.06
H=	250.0						
D=		75.57	75.44		83.49	8.05	4.34
PROMEDIO		58.94	58.99	0.34	60.47	1.87	1.01

ÁRBOL #5	ALTURA (cm)	DIÁMETRO 1995 (cm)	DIÁMETRO 1996 (cm)	INCREMENTO (367 DÍAS) 1995-1996 (cm)	DIÁMETRO 1998 (cm)	INCREMENTO (677 DÍAS) 1996-1998 (cm)	AJUSTE DE INCREMENTO (365 DÍAS 1996-1997) (cm)
D=		60.16	60.33	0.17	60.30		
H=	105.0						
D=		59.97	60.01	0.04	61.88	1.87	1.01
H=	115.4						
D=		58.43	58.80	0.37	59.18	0.38	0.21
H=	210.0						
D=		64.21	64.20		64.47	0.27	0.14
H=	267.0						
D=		81.90	82.25	0.35	91.54	9.28	5.01
PROMEDIO		64.94	65.11	0.23	67.47	2.95	1.59

ÁRBOL #6	ALTURA (cm)	DIÁMETRO 1995 (cm)	DIÁMETRO 1996 (cm)	INCREMENTO (367 DÍAS) 1995-1996 (cm)	DIÁMETRO 1998 (cm)	INCREMENTO (677 DÍAS) 1996-1998 (cm)	AJUSTE DE INCREMENTO (365 DIAS 1996-1997) (cm)
D=		20.98	21.52	0.54	21.83	0.31	0.17
H=	93.1						
D=		22.61	23.10	0.49	23.47	0.37	0.20
H=	63.0						
D=		22.58	23.20	0.63	23.75	0.54	0.29
H=	140.0						
D=		23.98	24.56	0.58	24.92	0.36	0.19
H=	155.5						
D=		25.21	25.70	0.49	26.20	0.50	0.27
H=	131.0						
D=		27.67	28.21	0.54	28.70	0.49	0.26
H=	98.0						
D=		32.59	33.24	0.74	33.58	0.24	0.13
PROMEDIO		25.09	25.66	0.57	26.06	0.40	0.22

ÁRBOL #7	ALTURA (cm)	DIÁMETRO 1995 (cm)	DIÁMETRO 1996 (cm)	INCREMENTO (367 DÍAS) 1996-1996 (cm)	DIÁMETRO 1998 (cm)	INCREMENTO (677 DÍAS) 1996-1998 (cm)	AJUSTE DE INCREMENTO (365 DIAS 1996-1997) (cm)
D=		16.23	17.43	1.20	18.58	1.15	0.62
H=	156.1						
D=		18.23	19.27	1.04	20.23	0.97	0.52
H=	143.1						
D=		19.24	20.18	0.94	21.43	1.25	0.68
H=	224.2						
D=		24.91	25.40	0.49	26.72	1.32	0.71
PROMEDIO		19.65	20.57	0.92	21.74	1.17	0.63

ÁRBOL #8	ALTURA (cm)	DIÁMETRO 1995 (cm)	DIÁMETRO 1996 (cm)	INCREMENTO (367 DÍAS) 1995-1996 (cm)	DIÁMETRO 1998 (cm)	INCREMENTO (677 DÍAS) 1996-1998 (cm)	AJUSTE DE INCREMENTO (365 DÍAS 1996-1997) (cm)
D=		18.44	18.78	0.34	18.78	0.00	0.00
H=	127.1						
D=		18.15	18.53	0.37	18.58	0.05	0.03
H=	130.1						
D=		18.78	18.98	0.20	18.97		
H=	62.2						
D=		19.33	19.61	0.28	19.75	0.14	0.07
H=	114.0						
D=		21.28	21.34	0.05	21.28		
PROMEDIO		19.20	19.49	0.25	19.47	0.09	0.03

ÁRBOL #9	ALTURA (cm)	DIÁMETRO 1995 (cm)	DIÁMETRO 1996 (cm)	INCREMENTO (367 DÍAS) 1995-1996 (cm)	DIÁMETRO 1998 (cm)	INCREMENTO (677 DÍAS) 1996-1998 (cm)	AJUSTE DE INCREMENTO (365 DÍAS 1996-1997) (cm)
D=		49.75	50.03	0.28	50.09	0.06	0.03
H=	232.2						
D=		50.12	50.01		50.41	0.40	0.22
H=	199.9						
D=		52.93	53.33	0.39	53.64	0.31	0.17
H=	174.2						
D=		57.30	57.47	0.17	57.73	0.27	0.14
H=	135.1						
D=		62.01	61.72		62.36	0.64	0.34
H=	173.6						
D=		79.05	79.51	0.47	87.49	7.98	4.30
PROMEDIO		58.53	58.67	0.33	60.28	1.61	0.87

ÁRBOL #10	ALTURA (cm)	DIÁMETRO 1995 (cm)	DIÁMETRO 1996 (cm)	INCREMENTO (367 DÍAS) 1995-1996 (cm)	DIÁMETRO 1998 (cm)	INCREMENTO (677 DÍAS) 1996-1998 (cm)	AJUSTE DE INCREMENTO (365 DÍAS 1996-1997) (cm)
D=		8.58	8.74	0.16	9.00	0.25	0.14
H=	126.6						
D=		9.36	9.46	0.11	9.59	0.13	0.07
H=	200.6						
D=		10.79	11.29	0.50	11.20		
H=	129.8						
D=		11.26	11.55	0.30	12.05	0.50	0.27
H=	47.6						
D=		11.69	12.06	0.37	12.53	0.47	0.25
H=	50.5						
D=		13.25	13.44	0.19	13.45	0.01	0.01
PROMEDIO		10.82	11.09	0.27	11.30	0.27	0.15

C. Cálculo del diámetro de vasos de 5 árboles de *Guarea grandifolia*
A. DC. con respecto a la distancia al cambium.

ÁRBOL #1	DIÁMETRO DE VASO (um)	DISTANCIA AL CAMBIUM (um)	DISTANCIA AL CAMBIUM (mm)
RAYO #1	160.50	494.00	0.49400
RAYO #2	185.25	827.47	0.82747
	160.55	1914.25	1.91425
	185.25	2939.30	2.93930
	185.25	3458.00	3.45800
	139.55	4569.50	4.56950
	111.15	5396.95	5.39695
	172.90	5977.40	5.97740
	135.85	7113.60	7.11360
	135.85	7694.05	7.69405
	191.42	8286.85	8.28685
	123.50	9274.85	9.27485
	142.02	10756.85	10.75685
	172.90	11534.90	11.53490
	172.90	11905.40	11.90540
RAYO #3	111.15	1407.90	1.40790
	222.30	2420.60	2.42060
	185.25	3816.15	3.81615
	185.25	6508.45	6.50845
	222.30	8620.30	8.62030
	123.50	9064.90	9.06490
	135.85	9731.80	9.73180
	247.00	10324.60	10.32460
	148.20	10571.60	10.57160
	185.25	11645.05	11.64505
RAYO #4	185.25	543.40	0.54340
	123.50	4149.60	4.14960
	160.55	6002.10	6.00210
	209.95	7548.85	7.54885
RAYO # 5	191.42	2136.55	2.13655
	160.55	2593.50	2.59350
	185.25	3211.00	3.21100
	135.85	4977.05	4.97705
	135.85	5384.60	5.38460

RAYO #6	148.20	1099.15	1.09915
	86.45	4124.90	4.12490
	185.25	6990.10	6.99010
	172.90	7854.60	7.85460
	185.25	9583.60	9.58360
	148.20	12016.55	12.01655
RAYO #7	188.95	370.50	0.37050
	123.50	765.20	0.76520
	160.50	8916.20	8.91620
RAYO #8	172.90	1494.35	1.49435
	185.25	2605.85	2.60585
	129.67	4520.10	4.52010
	148.20	9892.35	9.89235
	148.20	12794.60	12.79460
RAYO #9	148.20	555.75	0.55575
	123.50	741.00	0.74100
	160.55	3865.55	3.86555
	148.20	5100.55	5.10055
	142.02	5829.20	5.82920
	185.25	7224.75	7.22475
	148.20	8076.90	8.07690
	228.47	9064.90	9.06490
	180.31	11374.35	11.37435
RAYO #10	142.02	209.95	0.20995
	197.60	1333.80	1.33380
	111.15	1605.50	1.60550
	148.20	2902.25	2.90225

ÁRBOL #2	DIÁMETRO DE VASO (um)	DISTANCIA AL CAMBIUM	
		(um)	(mm)
RAYO #1	74.10	37.05	0.03705
	160.55	592.80	0.59280
	160.55	1136.20	1.13820
	135.85	1519.05	1.51905
	216.12	2667.6	2.66760
	123.50	4878.25	4.87825

	172.90	5915.65	5.91565
	155.61	7298.85	7.29885
	135.85	10583.95	10.58395
	135.85	11077.95	11.07795
RAYO #2	123.50	2346.50	2.34650
	160.55	2741.70	2.74170
	172.90	3618.55	3.61855
	154.37	4297.80	4.29780
	123.50	6137.95	6.13795
	135.85	9719.45	9.71945
	117.32	10299.9	10.29990
	135.85	10929.75	10.92975
RAYO #3	160.55	271.70	0.27170
	123.50	1457.30	1.45730
	148.20	1901.90	1.90190
	148.20	3248.05	3.24805
	135.85	4631.25	4.63125
	180.31	5434.00	5.43400
	123.50	6977.75	6.97775
	142.02	9163.70	9.16370
	86.45	10571.60	10.57160
	160.55	12646.40	12.64640
RAYO #4	209.95	1123.85	1.12385
	135.85	6631.95	6.63195
	135.85	13745.55	13.74555
RAYO #5	123.50	555.75	0.55575
	172.90	1667.25	1.66725
	135.85	3532.10	3.53210
	148.20	4952.35	4.95235
	111.15	5755.10	5.75510
	160.55	8225.10	8.22510
	148.20	9954.10	9.95410
	123.50	13609.7	13.60970
RAYO #6	123.50	469.30	0.46930
	142.02	1753.7	1.75370
	148.20	3186.3	3.18630
RAYO #7	172.90	716.3	0.71630
	172.90	2297.1	2.29710
	185.25	2902.25	2.90225

	135.85	3519.75	3.51975
	209.95	4569.5	4.56950
	81.51	6372.6	6.37260
	123.50	8163.35	8.16335
RAYO # 8	111.15	197.60	0.19760
	129.67	1642.55	1.64255
	135.85	2161.25	2.16125
	160.55	3569.15	3.56915
	209.95	5187.00	5.18700
	135.85	6718.40	6.71840
	111.15	8200.40	8.20040
	111.15	8941.40	8.94140
	123.50	11213.80	11.21380
	172.90	15079.35	15.07935
	209.95	15845.05	15.84505
RAYO # 9	160.55	370.50	0.37050
	197.60	2519.40	2.51940
	160.55	2988.70	2.98870
	129.67	5458.70	5.45870
	123.5	6125.60	6.12560
	135.85	9546.55	9.54655
	172.90	10225.8	10.22580
	117.32	12041.25	12.04125
	123.50	12597.00	12.59700
	197.60	13325.65	13.32565
	172.90	14560.65	14.56065
RAYO #10	135.85	839.80	0.83980
	148.20	1593.15	1.59315
	142.02	2531.75	2.53175
	162.55	4001.40	4.00140
	160.55	4915.30	4.91530
	166.72	5779.80	5.77980
	148.20	6681.35	6.68135
	148.20	7990.45	7.99045
	166.72	9262.50	9.26250

ÁRBOL #3	DIÁMETRO DE VASO (um)	DISTANCIA AL CAMBIOUM (um)	DISTANCIA AL CAMBIOUM (mm)
RAYO # 1	123.50	308.75	0.30875
	62.62	2124.20	2.12420

	160.55	2494.70	2.49470
	111.15	2902.25	2.90225
	111.15	3877.90	3.87790
	148.20	4273.10	4.27310
	123.50	6372.60	6.37260
	148.20	8151.00	8.15100
	115.26	10225.80	10.22580
	129.67	11781.90	11.78190
RAYO # 2	117.32	1272.05	1.27205
	111.15	3643.25	6.34325
	148.20	4038.45	4.03845
	123.50	5224.05	5.22405
	148.20	7360.60	7.36060
	148.20	9472.45	9.47245
	86.45	10929.75	10.92975
RAYO # 3	135.85	1716.65	1.71665
	135.85	3964.30	3.96430
	92.62	4001.35	4.00135
RAYO # 4	104.97	617.50	0.61750
	160.55	2581.15	2.58115
	135.85	4063.15	4.06315
	92.62	4100.20	4.10020
	160.55	4964.70	4.96470
	123.50	6483.75	6.48375
	123.50	8138.65	8.13865
RAYO # 5	98.80	1062.10	1.06210
	135.85	3779.10	3.77910
	123.50	6780.15	6.78015
RAYO # 6	148.20	753.35	0.75335
	98.80	2976.35	2.97635
	148.20	6175.00	6.17500
	123.50	6706.05	6.70605
	79.80	8830.25	8.83025
	129.67	10250.50	10.25050
	123.50	12140.05	12.14005
RAYO # 7	86.45	271.70	0.27170
	148.20	1383.20	1.38320
	135.85	3792.05	3.74205
	98.80	4532.45	4.53245

	111.15	4742.40	4.74240
	98.80	4841.20	4.84120
	111.15	8879.69	8.87969
RAYO # 8	123.50	1729.00	1.72900
	123.50	1815.45	1.81545
	148.20	2346.50	2.346.50
	160.55	5434.00	5.43400
	111.15	6360.25	6.36025
	111.15	8830.25	8.83025
	135.85	9818.25	9.81825
RAYO # 9	135.85	185.25	0.18525
	61.75	3495.05	3.49505
	111.15	4075.50	4.07550
	104.97	4199.00	4.19900
	65.45	5434.00	5.43400
	123.50	7879.30	7.87930
	148.20	8867.30	8.86730
RAYO # 10	148.20	358.15	0.35815
	111.15	506.35	0.50635
	148.20	2494.70	2.49470

ÁRBOL # 7	DIÁMETRO DE VASO (um)	DISTANCIA AL CAMBIUM (um)	(mm)
RAYO #1	197.60	494.00	0.49400
	145.11	876.85	0.87685
	86.45	2235.35	2.23535
	135.85	2988.70	2.98870
	154.37	3853.20	3.85320
	123.50	4557.15	4.55715
RAYO #2	148.20	3285.10	3.28510
	148.20	6397.30	6.39730
	123.50	7521.15	7.52115
	148.20	9423.05	9.42305
RAYO #3	142.02	2309.45	2.30945
	148.20	5409.30	5.40930
	98.80	6409.65	6.40965
	91.39	7397.65	7.39765
	135.85	7792.85	7.79285

	160.55	8435.05	8.43505
	111.55	10559.25	10.55925
RAYO #4	160.55	308.75	0.30875
	111.15	4544.80	4.54480
	98.80	5409.30	5.40930
RAYO #5	148.20	4063.15	4.06315
	160.55	8015.15	8.01515
RAYO #6	148.20	2877.55	2.87755
	135.55	3519.75	3.51975
	111.15	6631.95	6.63195
	98.80	7163.00	7.16300
RAYO #7	222.30	1309.10	1.30910
	148.20	4804.15	4.80415
RAYO #8	135.85	123.50	0.12350
	49.40	308.75	0.30875
	123.50	2507.05	2.50705
	154.37	3173.95	3.17395
RAYO #9	142.02	555.75	0.55575
	166.72	8459.75	8.45975
	172.90	9101.95	9.10195
	148.20	9781.20	9.78120
RAYO #10	148.20	1284.40	1.28440
	148.20	5619.25	5.61925
	135.85	6459.05	6.45905
	172.90	7101.25	7.10125
	148.20	7780.50	7.78050

ARBOL #8	DIAMETRO DE VASO (um)	DISTANCIA AL CAMBIUM (um)	DISTANCIA AL CAMBIUM (mm)
RAYO # 1	98.80	271.70	0.27170
	160.55	1827.80	1.82780
	160.55	2667.60	2.66760
RAYO #2	172.90	2198.30	2.19830
	148.20	5174.65	5.17465
	133.50	5446.35	5.44635

	172.90	6533.15	6.53315
	172.90	7718.75	7.71875
RAYO # 3	111.15	247.00	0.24700
	196.70	555.75	0.55575
	197.60	1444.95	1.44495
	135.85	2494.70	2.49470
	185.25	4371.90	4.37190
	172.90	7175.35	7.17535
	172.90	8360.95	8.36095
	160.55	9497.15	9.49715
	172.90	10176.40	10.17640
	111.15	10868.00	10.86800
	135.85	11115.00	11.11500
RAYO #4	172.90	4631.25	4.65125
	172.90	8645.00	8.64500
	172.90	9324.25	9.32425
RAYO #5	86.45	345.80	0.34580
	135.85	1358.50	1.35850
	148.20	2630.55	2.63055
	185.25	7200.05	7.20005
	172.90	10460.45	10.46045
RAYO #6	148.20	790.40	0.79040
	135.85	3914.95	3.91495
	160.55	6743.10	6.74310
	112.40	8953.75	8.95375
	160.55	9497.15	9.49715
RAYO #7	104.97	2185.95	2.18595
	172.90	6841.90	6.84190
	123.80	9126.65	9.12665
	160.55	10596.30	10.59630
RAYO #8	185.25	3285.10	3.28510
	135.85	4421.30	4.42130
	172.90	5434.00	5.43400
	123.50	9077.25	9.07725
	160.55	10497.50	10.49750
RAYO # 9	185.25	543.40	0.54340
	135.85	654.55	0.65455
	172.90	4791.80	4.79180

	154.37	5594.55	5.59455
	160.55	6582.55	6.58255
	109.65	7200.05	7.20005
	108.20	7706.40	7.70640
	179.07	8533.85	8.53385
RAYO #10	154.37	5359.90	5.35990
	160.55	6347.90	6.34790
	209.95	6965.40	9.96540
	148.20	7471.75	7.47175
	179.07	8299.20	8.29920

D. Resultados obtenidos por el método de gravedad específica en 10 árboles de *Guarea grandifolia* A. DC.

ÁRBOL # 1	FECHA DE COLECTA	DENSIDAD (gr / cm ³)	ÁRBOL #1	FECHA DE COLECTA	DENSIDAD (gr / cm ³)
NORTE	19-feb-96	0.66	SUR	20-jun-96	0.66
	20-jun-96	0.72		15-oct-96	0.59
	15-ago-96	0.88		15-oct-96	0.69
	19-sep-96	0.72		15-nov-96	0.90
	15-oct-96	0.88		7-dic-96	0.94
	15-nov-96	0.60			
ÁRBOL #2			ÁRBOL #2		
NORTE	15-abr-96	0.70	SUR	19-sep-96	0.56
	15-oct-96	0.60		7-dic-96	0.37
	15-nov-96	0.39			
	7-dic-96	0.65			
ÁRBOL #3			ÁRBOL #3		
NORTE	15-ago-96	0.31	SUR	15-ene-96	0.47
				20-jun-96	0.58
ÁRBOL #4			ÁRBOL #4		
NORTE	15-ene-96	0.65	SUR	20-jun-96	0.42
	7-dic-96	0.70		16-jul-96	0.52
				15-ago-96	0.80
				15-oct-96	0.60
				15-nov-96	0.21
				7-dic-96	0.26
ÁRBOL #5			ÁRBOL #5		
NORTE	15-ene-96	0.45	SUR	15-abr-96	0.72
	23-may-96	0.47		15-ago-96	0.50
	15-ago-96	0.38		15-oct-96	0.55
	19-sep-96	0.48		15-nov-96	0.47
	15-oct-96	0.48			
ÁRBOL #6			ÁRBOL #6		
NORTE	15-abr-96	0.75	SUR	15-ene-96	0.57
	19-sep-96	0.60		15-abr-96	0.85
				20-jun-96	0.43
				15-ago-96	0.69
				19-sep-96	0.62
				7-dic-96	0.57

ÁRBOL #7			ÁRBOL #7		
NORTE	15-abr-96	0.60	SUR	15-nov-96	0.09
	15-ago-96	0.57		7-dic-96	0.93
	15-nov-96	0.77			
ÁRBOL #8			ÁRBOL #8		
NORTE	19-feb-96	0.54	SUR	15-abr-96	0.57
	15-jul-96	0.50		20-jun-96	0.88
	7-dic-96	0.88		15-ago-96	0.82
				15-nov-96	0.63
				7-dic-96	0.56
ÁRBOL #9			ÁRBOL #9		
NORTE	15-ene-96	0.76	SUR	19-feb-96	0.60
	15-abr-96	0.9		15-abr-96	0.16
	15-nov-96	0.68		16-jul-96	0.65
	07-dic-96	0.65		07-dic-96	0.62
ÁRBOL #10			ÁRBOL #10		
NORTE	23-may-96	0.54	SUR	15-ene-96	0.83
	15-oct-96	0.65		15-oct-96	0.69
	15-nov-96	0.61			

E. Cálculo para obtener la edad de 10 árboles de *Guarea grandifolia* A. DC. a partir de los diámetros obtenidos a diferentes alturas en dos años.

NO. ÁRBOL	AÑO	DIÁMETRO (cm)	INC.AJUSTADO	LN CREC.REL.	LN CREC. REL.	PREDICHO			INC. (cm)	1 AÑO LN CREC.REL.	PREDICHO		
						EDAD INFERIOR (años)	EDAD (años)	EDAD SUPERIOR (años)			EDAD (años)	2 AÑOS LN CREC. REL.	EDAD (años)
3	1	8.2	0.4	-3.0910	-3.3772	21.2	30.0	33.7	0.279	-3.1964	25.0	-3.6912	41.1
3	1	8.6	0.3	-3.2301	-3.4259	22.3	31.5	35.4	0.279	-3.2450	26.3	-3.7399	43.1
3	2	8.6	0.2	-3.6025	-3.4283	22.4	31.6	35.5	0.279	-3.2475	26.3	-3.7423	43.2
10	1	8.7	0.2	-4.0061	-3.4440	22.8	32.1	36.1	0.279	-3.2632	26.8	-3.7580	43.9
3	1	8.8	0.6	-2.7547	-3.4547	23.1	32.4	36.5	0.279	-3.2739	27.0	-3.7667	44.3
10	2	9.0	0.1	-4.1826	-3.4723	23.5	33.0	37.1	0.279	-3.2915	27.5	-3.7863	45.1
3	2	9.0	0.2	-3.6042	-3.4769	23.6	33.1	37.3	0.279	-3.2961	27.6	-3.7910	45.3
10	1	9.5	0.1	-4.4909	-3.5222	24.8	34.6	39.1	0.280	-3.3414	28.9	-3.8363	47.4
10	2	9.6	0.1	-4.9397	-3.5354	25.2	35.1	39.6	0.280	-3.3546	29.3	-3.8495	48.0
3	1	9.7	0.2	-3.7755	-3.5485	25.6	35.5	40.1	0.280	-3.3676	29.7	-3.8625	48.7
3	2	10.5	0.4	-3.2240	-3.6243	27.8	38.3	43.3	0.280	-3.4435	32.0	-3.9383	52.2
10	1	11.3	0.5	-3.1198	-3.6967	30.0	41.2	46.6	0.280	-3.5159	34.4	-4.0107	56.3
10	1	11.5	0.3	-3.6608	-3.7197	30.8	42.1	47.7	0.280	-3.5389	35.1	-4.0338	57.6
3	1	11.9	0.4	-3.3826	-3.7467	31.7	43.2	49.1	0.280	-3.5659	36.1	-4.0607	59.2
10	2	12.1	0.3	-3.8029	-3.7617	32.3	43.9	49.8	0.280	-3.5809	36.6	-4.0757	60.1
10	1	12.1	0.4	-3.4808	-3.7625	32.3	43.9	49.9	0.280	-3.5817	36.7	-4.0766	60.1
3	2	12.3	0.2	-3.9371	-3.7833	33.0	44.8	50.9	0.280	-3.6025	37.4	-4.0973	61.4
10	2	12.5	0.3	-3.9077	-3.8003	33.6	45.6	51.8	0.280	-3.6194	38.0	-4.1143	62.4
10	1	13.4	0.2	-4.2540	-3.8702	36.3	48.8	55.6	0.280	-3.6894	40.8	-4.1842	66.9
7	1	17.4	1.2	-2.6769	-4.1301	48.2	63.1	72.2	0.280	-3.9492	52.6	-4.4441	86.3
8	1	18.5	0.4	-3.9097	-4.1912	51.5	67.0	76.8	0.280	-4.0104	55.9	-4.5052	91.7
7	2	18.6	0.6	-3.4036	-4.1941	51.6	67.2	77.0	0.280	-4.0133	56.1	-4.5081	91.9
8	1	18.8	0.3	-4.0130	-4.2050	52.2	67.9	77.9	0.280	-4.0241	56.7	-4.5190	92.9
8	1	19.0	0.2	-4.5450	-4.2157	52.8	68.6	78.7	0.280	-4.0349	57.3	-4.5297	93.9
7	1	19.3	1.0	-2.9194	-4.2308	53.7	69.6	79.9	0.280	-4.0500	58.1	-4.5448	95.3
8	1	19.6	0.3	-4.2638	-4.2484	54.7	70.8	81.4	0.280	-4.0676	59.1	-4.5624	97.0
8	2	19.7	0.1	-5.5817	-4.2555	55.2	71.3	81.9	0.280	-4.0747	59.5	-4.5695	97.6
7	1	20.2	0.9	-3.0620	-4.2775	56.5	72.9	83.8	0.280	-4.0967	60.8	-4.5915	99.8
7	2	20.2	0.5	-3.6602	-4.2802	56.6	73.1	84.0	0.280	-4.0993	61.0	-4.5942	100.0
8	1	21.3	0.1	-5.9969	-4.3339	60.0	77.0	88.6	0.280	-4.1530	64.3	-4.8479	105.4
7	2	21.4	0.7	-3.4579	-4.3384	60.3	77.4	89.0	0.280	-4.1576	64.8	-4.6524	105.9
6	1	21.5	0.5	-3.6830	-4.3424	60.6	77.7	89.4	0.280	-4.1616	64.8	-4.6564	106.3
6	2	21.8	0.2	-4.8795	-4.3568	61.5	78.8	90.7	0.280	-4.1760	65.7	-4.6708	107.8
6	1	23.1	0.5	-3.8571	-4.4143	65.5	83.3	96.0	0.280	-4.2335	69.5	-4.7284	114.0
6	1	23.2	0.6	-3.6127	-4.4190	65.8	83.7	96.5	0.280	-4.2382	69.8	-4.7330	114.6

6	2	23.5	0.2	-4.7641	-4.4305	66.6	84.6	97.6	0.279	-4.2497	70.6	-4.7446	115.9
1	1	23.6	0.6	-3.6118	-4.4351	66.9	85.0	98.0	0.279	-4.2543	71.0	-4.7492	116.4
6	2	23.7	0.3	-4.3993	-4.4424	67.5	85.6	98.8	0.279	-4.2616	71.5	-4.7565	117.2
1	1	24.0	0.3	-4.5451	-4.4524	68.2	86.5	99.7	0.279	-4.2716	72.2	-4.7664	118.4
1	1	24.1	0.3	-4.5104	-4.4587	68.7	87.0	100.4	0.279	-4.2779	72.6	-4.7727	119.1
1	2	24.2	0.1	-6.1538	-4.4627	69.0	87.3	100.8	0.279	-4.2819	72.8	-4.7767	119.6
1	2	24.2	0.1	-5.1734	-4.4632	69.0	87.4	100.8	0.279	-4.2823	72.9	-4.7772	119.6
1	1	24.5	0.4	-4.2494	-4.4756	69.9	88.4	102.1	0.279	-4.2948	73.8	-4.7896	121.1
6	1	24.6	0.6	-3.7398	-4.4769	70.0	88.5	102.2	0.279	-4.2961	73.9	-4.7909	121.2
1	2	24.7	0.1	-5.5980	-4.4826	70.4	89.0	102.8	0.279	-4.3018	74.3	-4.7966	121.9
6	2	24.9	0.2	-4.8532	-4.4918	71.1	89.8	103.7	0.279	-4.3109	75.0	-4.8056	123.0
1	1	25.3	0.1	-5.6971	-4.5069	72.3	91.2	105.3	0.279	-4.3260	76.1	-4.8209	124.8
7	1	25.4	0.5	-3.9521	-4.5111	72.6	91.8	105.8	0.279	-4.3303	76.4	-4.8252	125.3
1	2	25.6	0.2	-5.1097	-4.5184	73.2	92.2	106.5	0.279	-4.3375	76.9	-4.8324	126.2
6	1	25.7	0.5	-3.9637	-4.5230	73.6	92.6	107.0	0.279	-4.3422	77.3	-4.8370	126.8
6	2	26.2	0.3	-4.5792	-4.5427	75.1	94.4	109.1	0.279	-4.3619	78.8	-4.8567	129.2
7	2	26.7	0.7	-3.6287	-4.5628	76.8	96.3	111.3	0.279	-4.3820	80.3	-4.8768	131.8
1	1	26.9	0.3	-4.6206	-4.5713	77.5	97.1	112.3	0.279	-4.3905	81.0	-4.8853	132.9
1	2	27.1	0.1	-5.5203	-4.5789	78.1	97.8	113.1	0.279	-4.3981	81.6	-4.8930	133.9
6	1	28.2	0.5	-3.9539	-4.6187	81.5	101.6	117.7	0.278	-4.4379	84.8	-4.9327	139.1
6	2	28.7	0.3	-4.6920	-4.6383	83.1	103.4	119.8	0.278	-4.4555	86.3	-4.9503	141.5
1	1	28.7	0.3	-4.6078	-4.6371	83.1	103.5	119.8	0.278	-4.4563	86.4	-4.9511	141.6
1	2	28.9	0.1	-5.8188	-4.6428	83.6	104.0	120.5	0.278	-4.4819	86.8	-4.9568	142.4
1	1	32.3	0.3	-4.8422	-4.7575	94.5	116.3	135.0	0.277	-4.5767	97.0	-5.0716	159.2
6	1	33.3	0.7	-3.8041	-4.7911	98.0	120.1	139.5	0.277	-4.8103	100.2	-5.1051	164.4
6	2	33.6	0.1	-5.5422	-4.7987	98.8	121.0	140.6	0.277	-4.8178	101.0	-5.1127	165.6
9	1	50.0	0.3	-5.2004	-5.2188	153.8	181.1	211.9	0.271	-5.0390	151.1	-5.5339	247.9
9	2	50.4	0.2	-5.4463	-5.2280	155.2	182.5	213.6	0.270	-5.0472	152.3	-5.5421	249.8
4	1	52.1	0.4	-4.8351	-5.2631	160.9	188.6	220.9	0.270	-5.0823	157.4	-5.5772	258.2
4	2	52.5	0.2	-5.5130	-5.2713	162.3	190.1	222.7	0.270	-5.0904	158.6	-5.5853	260.2
9	1	53.3	0.4	-4.9115	-5.2889	165.3	193.3	226.5	0.269	-5.1080	161.3	-5.6029	264.6
9	2	53.6	0.2	-5.7788	-5.2951	166.4	194.4	227.8	0.269	-5.1143	162.3	-5.6091	266.2
4	1	54.0	0.1	-6.9256	-5.3026	167.6	195.8	229.5	0.269	-5.1218	163.4	-5.6166	268.0
4	2	54.5	0.3	-5.2506	-5.3132	169.5	197.8	231.8	0.269	-5.1324	165.1	-5.6273	270.7
4	2	55.8	0.2	-5.8535	-5.3384	174.0	202.5	237.5	0.268	-5.1575	169.0	-5.6524	277.2
9	1	57.5	0.2	-5.8245	-5.3703	179.8	208.7	244.8	0.267	-5.1895	174.2	-5.6843	285.7
9	2	57.7	0.1	-6.0006	-5.3753	180.7	209.7	246.0	0.267	-5.1945	175.0	-5.6894	287.1
4	1	58.0	0.6	-4.6543	-5.3796	181.5	210.5	247.0	0.267	-5.1987	175.7	-5.6936	288.2
4	2	58.1	0.1	-6.8275	-5.3818	181.9	211.0	247.5	0.267	-5.2009	176.1	-5.6958	288.8
5	1	58.8	0.4	-5.0648	-5.3955	184.5	213.7	250.8	0.267	-5.2147	178.4	-5.7095	292.8
5	2	59.2	0.2	-5.6608	-5.4026	185.9	215.1	252.5	0.267	-5.2216	179.6	-5.7166	294.5
5	1	60.3	0.2	-5.8732	-5.4237	190.0	219.4	257.6	0.266	-5.2429	183.1	-5.7377	300.4
2	1	60.4	0.3	-5.3884	-5.4245	190.1	219.6	257.8	0.266	-5.2437	183.3	-5.7385	300.6
2	1	60.9	0.3	-5.4362	-5.4339	192.0	221.6	260.1	0.266	-5.2531	184.9	-5.7480	303.3
2	2	61.1	0.1	-6.2806	-5.4378	192.7	222.4	261.1	0.266	-5.2570	185.6	-5.7518	304.4

5	2	61.9	1.0	-4.1184	-5.4517	195.5	225.3	264.5	0.265	-5.2709	188.0	-5.7657	308.4
2	2	62.0	0.1	-6.2463	-5.4538	195.9	225.7	265.1	0.265	-5.2729	188.4	-5.7678	309.0
9	2	62.4	0.3	-5.2022	-5.4602	197.2	227.1	266.7	0.265	-5.2794	189.5	-5.7742	310.9
2	1	63.3	0.2	-5.8601	-5.4763	200.5	230.5	270.8	0.265	-5.2955	192.4	-5.7903	315.6
2	2	63.4	0.1	-6.8282	-5.4785	201.0	231.0	271.4	0.265	-5.2977	182.8	-5.7925	316.2
5	2	64.5	0.1	-6.1110	-5.4971	204.8	235.1	276.2	0.264	-5.3163	198.2	-5.8111	321.8
2	1	73.2	0.7	-4.6056	-5.6404	237.0	268.5	316.0	0.260	-5.4595	224.1	-5.9544	387.6
2	2	75.5	1.2	-4.1496	-5.6741	245.2	277.0	326.1	0.259	-5.4933	231.2	-5.9881	379.2
9	1	79.5	0.5	-5.1377	-5.7342	260.5	292.8	344.8	0.257	-5.5534	244.3	-6.0482	400.8
5	1	82.3	0.4	-5.4592	-5.7732	270.9	303.4	357.5	0.256	-5.5924	253.2	-6.0873	415.4

F. Cálculo de la edad estimada de 90 árboles de *Guarea grandifolia* A. DC. a partir del diámetro obtenido en un año medido a una sola altura.

NO. ÁRBOL	PERI 1 (cm)	FECHA 1	PERI 2 (cm)	FECHA 2	DIA 1 (cm)	INC. (cm)	NO. DIAS	ADJ_INC (cm)	LN CREC.REL	PREDICHO	LN CREC.REL	LIMITE INFERIOR	EDAD (años)	LIMITE SUPERIOR	LN CREC.REL	EDAD (años)
1216	23.5	08-Jun-97	25.0	15-Dic-98	7.5	0.5	555	0.3	-3.1706	-3.5230	43.4	75.1	207.2	-2.7481	16.0	
1279	23.5	11-Jun-97	24.8	15-Dic-98	7.5	0.4	552	0.3	-3.3083	-3.5230	43.4	75.1	207.2	-2.7481	16.0	
1225	26.5	08-Jun-97	27.0	15-Dic-98	8.4	0.2	555	0.1	-4.3894	-3.5799	46.6	79.3	213.3	-2.8664	18.0	
1211	30.0	08-Jun-97	31.3	15-Dic-98	9.5	0.4	555	0.3	-3.5579	-3.6391	50.1	83.9	219.9	-2.9888	20.3	
1256	32.5	10-Jun-97	34.7	14-Dic-98	10.3	0.7	552	0.5	-3.1064	-3.6775	52.6	87.0	224.2	-3.0679	22.0	
1269	36.0	11-Jun-97	37.0	15-Dic-98	11.5	0.3	552	0.2	-3.9972	-3.7267	55.9	91.2	229.9	-3.1693	24.3	
1202	37.0	07-Jun-97	39.4	15-Dic-98	11.8	0.8	556	0.5	-3.1563	-3.7400	56.8	92.3	231.4	-3.1964	24.9	
1220	38.0	08-Jun-97	38.7	15-Dic-98	12.1	0.2	555	0.1	-4.4133	-3.7529	57.7	93.4	233.0	-3.2229	25.6	
1262	45.5	10-Jun-97	47.5	14-Dic-98	14.5	0.6	552	0.4	-3.5382	-3.8405	64.3	101.5	243.6	-3.4022	30.6	
1283	47.5	11-Jun-97	49.2	05-Oct-98	15.1	0.5	481	0.4	-3.6061	-3.8618	66.0	103.5	246.2	-3.4452	31.9	
1228	48.5	08-Jun-97	52.6	15-Dic-98	15.4	1.3	555	0.9	-2.8896	-3.8718	66.8	104.5	247.5	-3.4660	32.5	
1205	55.0	07-Jun-97	57.5	15-Dic-98	17.5	0.8	556	0.5	-3.5119	-3.9338	72.0	110.7	255.5	-3.5921	38.8	
1287	55.0	12-Jun-97	55.7	18-Dic-98	17.5	0.2	552	0.1	-4.7777	-3.9338	72.0	110.7	255.5	-3.5921	36.8	
1264	57.0	10-Jun-97	60.2	14-Dic-98	18.1	1.0	552	0.7	-3.2936	-3.9515	73.6	112.6	257.8	-3.6280	38.1	
1230	60.0	08-Jun-97	60.9	14-Dic-98	19.1	0.3	554	0.2	-4.6170	-3.9770	75.9	115.3	261.2	-3.6798	40.1	
1221	62.5	08-Jun-97	63.6	15-Dic-98	19.9	0.4	555	0.2	-4.4589	-3.9974	77.6	117.5	263.9	-3.7208	41.6	
1300	64.5	12-Jun-97	67.1	16-Dic-98	20.5	0.8	552	0.5	-3.6248	-4.0131	79.3	119.2	266.0	-3.7526	43.1	
1246	64.5	09-Jun-97	65.0	14-Dic-98	20.5	0.2	553	0.1	-5.2753	-4.0131	79.3	119.2	266.0	-3.7526	43.1	
1209	65.0	07-Jun-97	66.9	15-Dic-98	20.7	0.6	556	0.4	-3.9534	-4.0170	79.7	119.6	266.5	-3.7604	43.4	
1265	66.0	10-Jun-97	71.0	14-Dic-98	21.0	1.6	552	1.1	-2.9939	-4.0247	80.4	120.5	267.6	-3.7759	44.1	
1214	66.5	08-Jun-97	67.7	15-Dic-98	21.2	0.4	555	0.3	-4.4340	-4.0284	80.8	120.9	268.1	-3.7835	44.4	
1277	68.0	11-Jun-97	71.3	15-Dic-98	21.6	1.1	552	0.7	-3.4392	-4.0396	81.9	122.2	269.6	-3.8061	45.4	
1263	68.5	10-Jun-97	76.4	14-Dic-98	22.1	2.2	552	1.5	-2.7235	-4.0506	83.0	123.4	271.1	-3.8282	46.4	
1222	70.0	08-Jun-97	75.3	15-Dic-98	22.3	1.7	555	1.1	-2.9999	-4.0542	83.3	123.8	271.6	-3.8355	46.7	
1248	72.0	09-Jun-97	73.0	14-Dic-98	22.9	0.3	553	0.2	-4.6921	-4.0684	84.8	125.4	273.6	-3.8641	48.1	
1274	72.0	11-Jun-97	73.2	05-Oct-98	22.9	0.4	481	0.3	-4.3703	-4.0684	84.8	125.4	273.6	-3.8641	48.1	
1203	78.0	07-Jun-97	80.6	15-Dic-98	24.8	0.8	556	0.5	-3.6221	-4.1089	89.0	130.2	279.3	-3.9456	52.0	
1249	80.5	09-Jun-97	81.8	14-Dic-98	25.8	0.4	553	0.3	-4.5414	-4.1249	90.7	132.2	281.6	-3.9778	53.7	
1244	82.0	09-Jun-97	84.6	14-Dic-98	26.1	0.8	553	0.5	-3.8667	-4.1343	91.7	133.3	282.9	-3.9967	54.7	
1235	82.0	09-Jun-97	82.5	14-Dic-98	26.1	0.2	553	0.1	-5.5153	-4.1343	91.7	133.3	282.9	-3.9967	54.7	
1286	85.0	12-Jun-97	86.3	16-Dic-98	27.1	0.4	552	0.3	-4.5939	-4.1527	93.8	135.6	285.6	-4.0335	56.7	
1266	86.0	10-Jun-97	89.0	14-Dic-98	27.4	1.0	552	0.6	-3.7694	-4.1587	94.4	136.3	286.5	-4.0455	57.3	
1227	86.0	08-Jun-97	87.9	15-Dic-98	27.4	0.6	555	0.4	-4.2316	-4.1587	94.4	136.3	286.5	-4.0455	57.3	
1204	90.0	07-Jun-97	95.6	15-Dic-98	28.6	1.8	556	1.2	-3.1979	-4.1820	97.1	139.3	289.9	-4.0922	60.0	
1294	91.5	12-Jun-97	92.1	16-Dic-98	29.1	0.2	552	0.1	-5.4408	-4.1904	98.1	140.3	291.1	-4.1092	61.0	

1223	92.5	08-Jun-97	95.0	15-Dic-98	29.4	0.8	555	0.5	-4.0300	-4.1960	98.7	141.1	291.9	-4.1204	61.7
1231	92.5	09-Jun-97	93.9	14-Dic-98	29.4	0.4	553	0.3	-4.6062	-4.1960	98.7	141.1	291.9	-4.1204	61.7
1298	93.5	12-Jun-97	94.5	16-Dic-98	29.8	0.3	552	0.2	-4.9516	-4.2016	99.4	141.8	292.8	-4.1314	62.3
1278	95.0	11-Jun-97	99.8	15-Dic-98	30.2	1.5	552	1.0	-3.3989	-4.2098	100.3	142.8	294.0	-4.1479	63.3
1236	101.0	09-Jun-97	104.4	14-Dic-98	32.1	1.1	553	0.7	-3.8068	-4.2415	104.2	147.0	298.8	-4.2112	67.3
1267	101.5	10-Jun-97	106.2	14-Dic-98	32.3	1.5	552	1.0	-3.4861	-4.2440	104.5	147.4	299.1	-4.2163	67.7
1270	101.5	11-Jun-97	103.7	15-Dic-98	32.3	0.7	552	0.5	-4.2453	-4.2440	104.5	147.4	299.1	-4.2163	67.7
1206	104.0	07-Jun-97	105.5	15-Dic-98	33.1	0.5	556	0.3	-4.6598	-4.2567	106.1	149.1	301.1	-4.2415	69.3
1212	106.5	08-Jun-97	110.6	15-Dic-98	33.9	1.3	555	0.9	-3.6762	-4.2690	107.6	150.8	303.0	-4.2662	71.0
1218	106.5	08-Jun-97	107.7	15-Dic-98	33.9	0.4	556	0.3	-4.9049	-4.2690	107.6	150.8	303.0	-4.2662	71.0
1241	107.0	09-Jun-97	108.5	14-Dic-98	34.1	0.5	553	0.3	-4.6828	-4.2715	107.9	151.1	303.3	-4.2711	71.3
1292	108.0	12-Jun-97	110.2	16-Dic-98	34.4	0.7	552	0.5	-4.3073	-4.2763	108.8	151.8	304.1	-4.2808	72.0
1213	108.0	08-Jun-97	111.1	15-Dic-98	34.4	1.0	555	0.6	-3.9698	-4.2763	108.6	151.8	304.1	-4.2808	72.0
1271	109.5	11-Jun-97	113.0	15-Dic-98	34.9	1.1	552	0.7	-3.8568	-4.2835	109.5	152.8	305.2	-4.2951	73.0
1210	116.0	07-Jun-97	117.1	15-Dic-98	36.9	0.4	556	0.2	-5.0792	-4.3137	113.4	157.0	309.9	-4.3554	77.4
1296	118.0	12-Jun-97	119.4	16-Dic-98	37.6	0.4	552	0.3	-4.8479	-4.3227	114.6	158.3	311.3	-4.3733	78.7
1280	126.0	11-Jun-97	127.5	15-Dic-98	40.1	0.5	552	0.3	-4.8445	-4.3573	119.4	163.3	316.8	-4.4422	84.1
1208	127.0	07-Jun-97	128.0	15-Dic-98	40.4	0.3	556	0.2	-5.2651	-4.3615	120.0	164.0	317.5	-4.4506	84.8
1275	129.5	11-Jun-97	133.2	05-Oct-98	41.2	1.2	481	0.9	-3.8313	-4.3719	121.4	165.5	319.2	-4.4711	86.5
1273	132.0	11-Jun-97	133.3	05-Oct-98	42.0	0.4	481	0.3	-4.8964	-4.3820	122.9	167.0	320.8	-4.4913	88.2
1293	134.0	12-Jun-97	135.9	16-Dic-98	42.7	0.6	552	0.4	-4.6696	-4.3900	124.0	168.2	322.1	-4.5073	89.5
1276	135.5	11-Jun-97	136.5	15-Dic-98	43.1	0.3	552	0.2	-5.3226	-4.3960	124.9	169.1	323.1	-4.5191	90.5
1234	141.0	09-Jun-97	146.6	14-Dic-98	44.9	1.6	553	1.2	-3.8415	-4.4172	128.0	172.4	326.6	-4.5614	94.3
1268	142.5	11-Jun-97	143.4	14-Dic-98	45.4	0.3	551	0.2	-5.4765	-4.4229	128.6	173.3	327.5	-4.5726	95.3
1284	144.0	11-Jun-97	144.8	05-Oct-98	45.8	0.3	481	0.2	-5.4689	-4.4285	129.7	174.1	328.4	-4.5838	96.3
1289	144.0	12-Jun-97	144.7	16-Dic-98	45.8	0.2	552	0.1	-5.7401	-4.4285	129.7	174.1	328.4	-4.5838	96.3
1291	145.0	12-Jun-97	149.8	16-Dic-98	46.2	1.5	552	1.0	-3.8218	-4.4322	130.2	174.7	329.1	-4.5912	97.0
1243	145.0	09-Jun-97	147.6	14-Dic-98	46.2	0.8	553	0.5	-4.4367	-4.4322	130.2	174.7	329.1	-4.5912	97.0
1240	150.5	09-Jun-97	154.3	14-Dic-98	47.9	1.2	553	0.8	-4.0944	-4.4523	133.3	177.9	332.4	-4.6310	100.7
1229	152.5	08-Jun-97	156.8	14-Dic-98	48.5	1.4	554	0.9	-3.9858	-4.4594	134.4	179.0	333.6	-4.6452	102.1
1237	153.0	09-Jun-97	157.3	14-Dic-98	48.7	1.4	553	0.9	-3.9873	-4.4612	134.7	179.3	333.9	-4.6487	102.4
1299	152.0	12-Jun-97	164.0	16-Dic-98	51.6	0.6	552	0.4	-4.8081	-4.4922	139.6	184.3	339.2	-4.7103	108.6
1290	165.0	12-Jun-97	169.0	16-Dic-98	52.5	1.3	552	0.8	-4.1333	-4.5022	141.2	186.0	340.9	-4.7301	110.6
1255	166.5	10-Jun-97	169.2	16-Dic-98	53.0	0.9	554	0.6	-4.5390	-4.5071	142.0	186.8	341.7	-4.7399	111.7
1260	168.5	10-Jun-97	171.0	14-Dic-98	53.6	0.8	552	0.5	-4.6243	-4.5136	143.0	187.9	342.8	-4.7529	113.0
1217	169.0	08-Jun-97	174.5	15-Dic-98	53.8	1.8	555	1.2	-3.8442	-4.5152	143.3	188.1	343.1	-4.7561	113.4
1242	175.0	09-Jun-97	176.5	14-Dic-98	55.7	0.5	553	0.3	-5.1748	-4.5344	146.5	191.4	348.4	-4.7940	117.5
1281	182.5	11-Jun-97	190.0	05-Oct-98	58.1	2.4	481	1.8	-3.4678	-4.5574	150.4	195.3	350.5	-4.8399	122.7
1239	185.0	09-Jun-97	190.2	14-Dic-98	58.9	1.7	553	1.1	-3.9872	-4.5650	151.7	196.6	351.8	-4.8548	124.4
1272	186.5	11-Jun-97	189.2	15-Dic-98	59.4	0.9	552	0.8	-4.6488	-4.5694	152.5	197.4	352.6	-4.8637	125.5
1247	187.0	09-Jun-97	188.5	14-Dic-98	59.5	0.5	553	0.3	-5.2411	-4.5709	152.7	197.7	352.9	-4.8667	125.8
1238	196.0	09-Jun-97	200.0	14-Dic-98	62.4	1.3	553	0.8	-4.3073	-4.5970	157.3	202.3	357.5	-4.9185	132.1
1257	196.5	10-Jun-97	204.6	14-Dic-98	62.5	2.6	552	1.7	-3.6024	-4.5984	157.6	202.5	357.8	-4.9213	132.5
1250	198.0	09-Jun-97	199.4	14-Dic-98	63.0	0.4	553	0.3	-5.3673	-4.6026	158.3	203.3	358.5	-4.9297	133.5

1226	207.5	08-Jun-97	210.3	15-Dic-98	66.0	0.9	555	0.6	-4.7246	-4.6288	163.1	208.0	363.3	-4.9818	140.2
1215	211.0	08-Jun-97	215.5	15-Dic-98	67.2	1.4	555	0.9	-4.2669	-4.6382	164.8	209.7	365.0	-5.0005	142.6
1288	217.5	12-Jun-97	225.3	16-Dic-98	69.2	2.5	552	1.6	-3.7417	-4.6553	168.0	212.9	368.1	-5.0345	147.2
1201	218.0	07-Jun-97	224.7	15-Dic-98	69.4	2.1	556	1.4	-3.9033	-4.6566	168.3	213.1	368.3	-5.0371	147.5
1281	219.0	10-Jun-97	224.6	14-Dic-98	69.7	1.8	552	1.2	-4.0800	-4.6592	168.8		368.8	-5.0423	148.3
1282	232.0	11-Jun-97	244.5	15-Dic-98	73.8	4.0	552	2.6	-3.3347	-4.6919	175.1		374.9	-5.1074	157.5
1219	233.5	08-Jun-97	237.3	15-Dic-98	74.3	1.2	555	0.8	-4.5373	-4.6956	175.8		375.6	-5.1146	158.6
1297	247.5	12-Jun-97	250.5	16-Dic-98	78.8	1.0	552	0.6	-4.8264	-4.7289	182.5		381.9	-5.1813	168.6
1224	255.0	08-Jun-97	258.1	15-Dic-98	81.2	1.0	555	0.6	-4.8289	-4.7461	186.0		385.2	-5.2157	174.0